

**PERILAKU KOMPRESIBILITAS TANAH GAMBUT  
AKIBAT SIKLUS PEMBASAHAAN DAN  
PENGERINGAN SETELAH DIPADATKAN**

**SKRIPSI**

**Oleh**

**FEBRI YENNI  
04 05 21 018 2**



**DEPARTEMEN TEKNIK SIPIL  
FAKULTAS TEKNIK UNIVERSITAS INDONESIA  
GENAP 2007/2008**

**BEHAVIOR OF PEAT SOIL COMPRESSIBILITY  
BECAUSE OF WET AND DRY CYCLE  
AFTER COMPACTION**

**BACHELOR THESIS**



**CIVIL ENGINEERING DEPARTMENT  
FACULTY OF ENGINEERING UNIVERSITY OF INDONESIA  
ACADEMIC YEARS 2007/2008**

087/FT.EKS.01/SKRIP/06/2008

**PERILAKU KOMPRESIBILITAS TANAH GAMBUT  
AKIBAT SIKLUS PEMBASAHAAN DAN  
PENGERINGAN SETELAH DIPADATKAN**

**SKRIPSI**

Oleh

**FEBRI YENNI**  
**04 05 21 018 2**



**SKRIPSIINI DIAJUKAN UNTUK MELENGKAPI SEBAGIAN  
PERSYARATAN MENJADI SARJANA TEKNIK**

**DEPARTEMEN TEKNIK SIPIL  
FAKULTAS TEKNIK UNIVERSITAS INDONESIA  
GENAP 2007/2008**

087/FT.EKS.01/SKRIP/06/2008

**BEHAVIOR OF PEAT SOIL COMPRESSIBILITY  
BECAUSE OF WET AND DRY CYCLE  
AFTER COMPACTION**

**BACHELOR THESIS**



**CIVIL ENGINEERING DEPARTMENT  
FACULTY OF ENGINEERING UNIVERSITY OF INDONESIA  
ACADEMIC YEARS 2007/2008**

## **PERNYATAAN KEASLIAN SKRIPSI**

Saya menyatakan dengan sesungguhnya bahwa skripsi dengan judul :

### **PERILAKU KOMPRESIBILITAS TANAH GAMBUT AKIBAT SIKLUS PEMBASAHAAN DAN PENGERINGAN SETELAH DIPADATKAN**

yang dibuat untuk melengkapi sebagian persyaratan menjadi Sarjana Teknik pada Program Studi Teknik Sipil Departemen Teknik Sipil Fakultas Teknik Universitas Indonesia, sejauh yang saya ketahui merupakan ide dari Dosen Pembina Skripsi dan bukan merupakan tiruan atau duplikasi dari skripsi yang sudah dipublikasikan dan atau pernah dipakai untuk mendapatkan gelar kesarjanaan di lingkungan Universitas Indonesia maupun di Perguruan Tinggi atau Instansi manapun, kecuali bagian yang sumber informasinya dicantumkan sebagaimana mestinya.

Depok, 11 Juli 2008

Febri Yenni  
NPM 04 05 21 018 2

## **AUTHENTICATION**

I state truly that this bachelor thesis titled :

### **BEHAVIOR OF PEAT SOIL COMPRESSIBILITY BECAUSE OF WET AND DRY CYCLE AFTER COMPACTION**

is made to complete certain requirements to get a Bachelor Degree in Engineering majoring in Civil Engineering from the Department of Civil Engineering, Faculty of Engineering University of Indonesia. As far as I know, it is the idea of my supervisor and not a copy or duplication from other bachelor thesis which has ever been published or used to get a bachelor degree either at the University of Indonesia or other College and Institution ever, except some parts of the information is stated as its function.

Depok, July 11<sup>th</sup>, 2008

Febri Yenni  
NPM 04 05 21 018 2

## **PENGESAHAN**

Skripsi dengan judul :

### **PERILAKU KOMPRESIBILITAS TANAH GAMBUT AKIBAT SIKLUS PEMBASAHAAN DAN PENGERINGAN SETELAH DIPADATKAN**

dibuat untuk melengkapi sebagian persyaratan menjadi Sarjana Teknik pada Program Studi Teknik Sipil Departemen Teknik Sipil Fakultas Teknik Universitas Indonesia. Skripsi ini telah diujikan pada sidang ujian skripsi pada tanggal 13 Juni 2008 dan dinyatakan memenuhi syarat atau sah sebagai skripsi pada Departemen Teknik Sipil Fakultas Teknik Universitas Indonesia.

Depok, 11 Juli 2008

Dosen Pembimbing



Dr. Ir. Wiwik Rahayu  
NIP 132 095 545

## **AUTHORIZATION**

This bachelor thesis titled :

### **BEHAVIOR OF PEAT SOIL COMPRESSIBILITY BECAUSE OF WET AND DRY CYCLE AFTER COMPRESSION**

is made to complete certain requirements to get a Bachelor Degree majoring in Civil Engineering from the Department of Civil Engineering, Faculty of Engineering University of Indonesia. This bachelor thesis has been examined in the bachelor thesis session in June 13<sup>th</sup>, 2008 and authorized as a bachelor thesis in Department of Civil Engineering, Faculty of Engineering University of Indonesia.

Depok, July 11<sup>th</sup> 2008

Counsellor



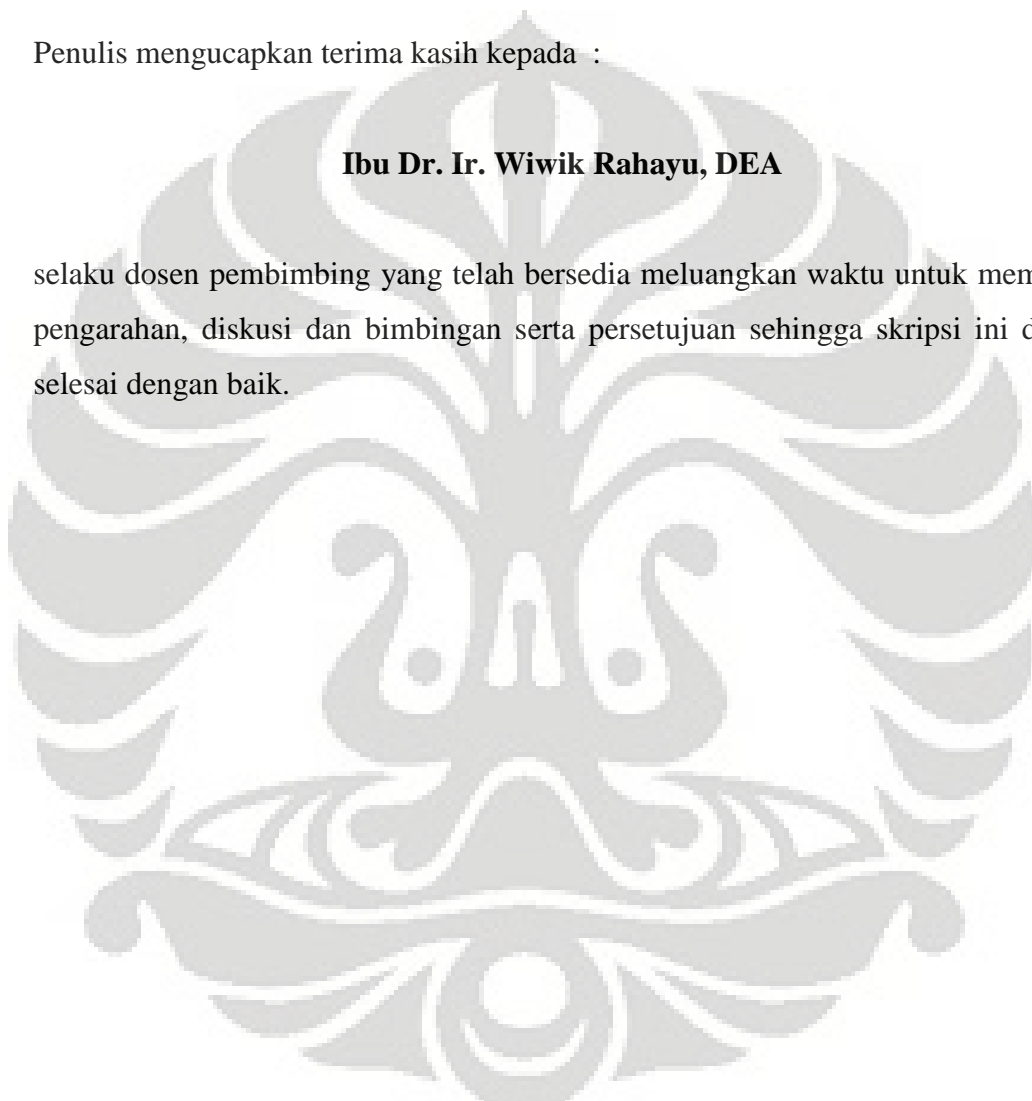
Dr. Ir. Wiwik Rahayu  
NIP 132 095 545

## **UCAPAN TERIMA KASIH**

Penulis mengucapkan terima kasih kepada :

**Ibu Dr. Ir. Wiwik Rahayu, DEA**

selaku dosen pembimbing yang telah bersedia meluangkan waktu untuk memberi pengarahan, diskusi dan bimbingan serta persetujuan sehingga skripsi ini dapat selesai dengan baik.



*Persembahan terindah untuk Amak dan Abak (Alm)*  
Terima Kasih atas segala hal yang semuanya tak dapat terbalaskan.....

*Dedicated to my best big family  
with gratitude for pray, supported and expectation*

*To soul whom achieve dream of future  
Yeni ☺*

*Depok, Juli '2008*

## KATA PENGANTAR

*Bismillahirrohmanirrohim..... Allahu Akbar, Allahu Akbar.*

Skripsi ini untuk melengkapi persyaratan menyelesaikan pendidikan S1 di Departemen Sipil Fakultas Teknik Universitas Indonesia. Permasalahan yang diangkat adalah mengenai **“Perilaku Kompresibilitas Tanah Gambut Akibat Siklus Pembasahan Dan Pengeringan Setelah Dipadatkan”**. Skripsi ini dapat diselesaikan atas bantuan semua pihak.

Terima kasih ya Allah atas kehendak-Mu semua dapat terjadi. Atas kehebatan usaha dan doa, semoga berakhir dengan perwujudan dari harapan *insyaAllah*..... dan terima kasih kepada nabi besar Muhammad atas teladan hidup yang indah.

Terima kasih kepada Ibu Dr. Ir. Wiwik Rahayu DEA, selaku dosen pembimbing, yang telah rela mencerahkan waktu, pikiran, dan tenaga untuk berdiskusi dengan penulis. Dan seluruh dosen pengajar di departemen sipil FTUI yang telah menambahkan ilmu serta membuka cakrawala berfikir penulis.

Terima kasih kepada para staf Laboratorium MekTan Departemen Sipil FTUI, terima kasih semua bantuan, dukungan dan saran-sarannya maaf selalu *ngerepoti*. Juga para staf administrasi terima kasih telah memberikan kemudahan dalam mengurus semua “sistem” dan memberikan aura yang nyaman di departemen tercinta.

Sahabat<sup>2</sup> Sipil tercinta, terima kasih atas *support, share* dan *friendship* yang luar biasa. “dengan kalian ku pelajari banyak hal, bersama kalian kusadari indahnya persahabatan dan karena kalian ku iklaskan hati untuk tuhan”.

Untuk segerombolan Cewek<sup>2</sup> paling keren sekutek penghuni pondok giani, makasi ya..... dengan kalian, ku mendapatkan warna baru dalam hidup. Thank guys..... semuanya takkan pernah terlupakan.

Terima kasih penuh cinta buat makhluk2 paling iklas sedunia: teman kencanku setiap malam minggu *siflat* yang dahsyat banget, komputer paling canggih sedunia. si hitam, siputih dan si ijo (laptop evi, lena dan dila) yang pada saat-saat paling genting selalu ada, mau dan rela. Komot, walau dah tua dan lemot tapi pernah sebagai juru penyelamat. Rekan2 komputer di student corner lobi, selama 6 bulan jadi tempat mencerahkan ide dan lirik2 FS, sahabat2 komputer di puskom S2 dan komputer lab. Terakhir FM 98.70 thanks muterin lagu2 keren ampe pagi.

Teramat Special Keluarga besar Bintaro. uni, ajo terima kasih telah membuka jalan untuk menuju masa depan. “Anak<sup>2</sup>ku (ajo gumma, byqo, abin, tita) cepat gede ya.....”. dan untuk penghuni lain GB 9 No.1 nini dan Icha.

Hal yang membantu penulis selalu bersemangat dalam menyelesaikan tulisan ini adalah renungan hati yang menyatakan “*apa yang kau inginkan dalam hidup terus genggam dalam hatimu, jangan pernah dilepaskan hingga suatu saat hidupmu berubah seperti yang kau inginkan*”.

Skripsi ini sangat jauh dari kesempurnaan, untuk itu penulis berharap penelitian yang telah dilakukan dapat dikembangkan lagi dan semoga skripsi ini dapat bermanfaat bagi masyarakat dan perkembangan ilmu pengetahuan.

Depok, 11 Juli 2008

Febri Yenni  
0405210182

|  |  |
|--|--|
| Febri Yenni<br>NPM 04 05 21 018 2<br>Departemen Teknik Sipil | Dosen Pembimbing<br>Dr. Ir. Wiwik Rahayu, DEA<br>NIP 132 095 545 |
|--|--|

**PERILAKU KOMPRESIBILITAS TANAH GAMBUT  
AKIBAT SIKLUS PEMBASAHAAN DAN PENGERINGAN  
SETELAH DIPADATKAN**

**ABSTRAK**

Gambut merupakan tanah yang mempunyai karakteristik yang unik, dengan daya rembes yang tinggi, kadar air yang tinggi, serta kandungan organik yang tinggi, menyebabkan gambut memiliki daya dukung yang rendah. Dan salah satu sifat gambut yang cukup dominan adalah perilaku kompresibilitasnya. Sehingga diperlukan suatu penelitian untuk mempelajari sifat kompresibilitas tersebut.

Gambut yang digunakan adalah gambut yang berasal dari desa Duri-Riau Sifat kompresibilitas gambut pada penelitian ini diketahui dengan mempelajari nilai Indek Kompresi ( $C_c$ ) dari uji konsolidasi dengan menggunakan alat *Oedometer* pada gambut yang telah dipadatkan. Pemadatan dilakukan dengan alat uji standar *Proctor*. Gambut yang dipadatkan akan diuji dengan variasi kadar air 140%, 160%, 180%. Pada tiap kadar dilakukan suatu proses pembasaahan dan pengeringan setelah di padatkan selama 4 hingga 7 hari yang merupakan simulasi keadaan hujan dan sesudah hujan dilapangan. Dan juga pada kondisi siklus dilakukan variasi periode waktu pembebahan 72 jam untuk melihat perilaku konsolidasi sekunder.

Analisa yang dilakukan merupakan kurva konsolidasi regangan terhadap log waktu untuk mengetahui batasan konsolidasi primer dan konsolidasi sekunder dari hasil pembebahan uji konsolidasi. Sedangkan nilai  $C_c$  dianalisa berdasarkan kemiringan pada bagian linier kurva hubungan angka pori ( $e$ ) dan tegangan ( $\sigma'$ ), kurva kompresi.

**Kata Kunci : Tanah Gambut, Kompresibilitas, Indeks Kompresi ( $C_c$ )**

Febri Yenni  
NPM 04 05 21 018 2  
Civil Engineering Department

Counselor  
Dr. Ir. Wiwik Rahayu, DEA  
NIP 132 095 545

## **BEHAVIOR OF PEAT SOIL COMPRESSIBILITY BECAUSE OF WET AND DRY CYCLE AFTER COMPACTION**

### **ABSTRACT**

Peat soil has unique characteristics such as high permeability, high water content, and high organic content that cause its low bearing capacity. The most dominant characteristic in peat soil is the compressibility behavior. Then, it is needed to do the experiment to learn the compressibility itself.

The peat soil used comes from Duri-Riau. The compressibility characteristic of this peat soil in this experiment can be known by learning the Compression Index value ( $C_c$ ) from the consolidation test using the Oedometer to the peat soil that has been compacted before. The compaction is done by using the Proctor standard test tool. The peat soil compacted will be tested using some variations of water content which are 140%, 160%, 180%. On each of water content is done a wet and dry process after the peat soil is compacted for about 4 to 7 days which is the simulation of the actual rain condition and the after rain condition. In this cycle is also done the time loading variation 72 hours to get the secondary consolidation behavior.

The analysis taken results the strain consolidation curve to the time logarithmic, used to know the limit of the primary consolidation and the secondary consolidation from the loading of the consolidation test. The  $C_c$  value is analyzed base on the gradient of the linier curve of the void ratio ( $e$ ) and stress ( $\sigma'$ ) of the compression curve.

**Keywords : Peat Soil, Compressibility, Compression Index ( $C_c$ )**

## DAFTAR ISI

Halaman

### COVER

|   |       |
|---|-------|
| PERNYATAAN KEASLIAN SKRIPSI.....          | i     |
| AUTHENTICATION.....                       | ii    |
| PENGESAHAN.....                           | iii   |
| AUTHORIZATION.....                        | iv    |
| UCAPAN TERIMA KASIH.....                  | v     |
| PERSEMBERAHAN.....                        | vi    |
| KATA PENGANTAR.....                       | vii   |
| ABSTRAK.....                              | ix    |
| ABSTRACT.....                             | x     |
| DAFTAR ISI.....                           | xi    |
| DAFTAR GAMBAR.....                        | xiv   |
| DAFTAR TABEL.....                         | xviii |
| DAFTAR LAMPIRAN.....                      | xx    |
| <b>BAB I PENDAHULUAN.....</b>             | 1     |
| I.1 LATAR BELAKANG.....                   | 1     |
| I.2 TUJUAN PENELITIAN.....                | 2     |
| I.3 RUANG LINGKUP PENELITIAN.....         | 2     |
| I.4 METODOLOGI PENELITIAN.....            | 2     |
| I.5 SISTEMATIKA PENULISAN.....            | 2     |
| <b>BAB II TINJAUAN PUSTAKA.....</b>       | 4     |
| II.1 DESKRIPSI TANAH GAMBUT.....          | 4     |
| II.2 PROSES PEMBENTUKAN TANAH GAMBUT..... | 7     |

|   | Halaman   |
|---|-----------|
| II.3 KARAKTERISTIK TANAH GAMBUT DI INDONESIA.....   | 8         |
| II.4 PERILAKU PEMADATAN TANAH GAMBUT.....   | 12        |
| II.5 KOMPRESIBILITAS TANAH GAMBUT.....  | 16        |
| II.6 KOMPRESIBILITAS TANAH GAMBUT INDONESIA.....  | 18        |
| <b>BAB III METODE PENELITIAN.....</b>   | <b>23</b> |
| III.1 PENDAHULUAN.....  | 23        |
| III.2 PROGRAM KERJA PENELITIAN.....   | 23        |
| III.3 PERSIAPAN CONTOH TANAH UJI.....   | 24        |
| III.3.1 Pembuatan Contoh Tanah Uji.....   | 25        |
| III.3.2 Pengujian <i>Index Properties</i> .....   | 26        |
| III.3.2.1 <i>Kadar Air (w)</i> .....  | 26        |
| III.3.2.2 <i>Spesifig Garafity (Gs)</i> .....   | 27        |
| III.4 PEMADATAN TANAH.....  | 29        |
| III.5 PENGUJIAN KONSOLIDASI TANAH.....  | 31        |
| <b>BAB IV HASIL DAN ANALISA.....</b>  | <b>32</b> |
| IV.1 PENDAHULUAN.....   | 32        |
| IV.2 PENGARUH PEMBEBANAN TERHADAP PENURUNAN DAN REGANGAN (STRAIN) DARI HASIL UJI KONSOLIDASI (KURVA KONSOLIDASI)..... | 33        |
| IV.2.1 Pengaruh Pembebanan Terhadap Penurunan.....  | 33        |
| IV.2.1.1 <i>Penurunan dan kurva konsolidasi (penurunan terhadap log waktu) pada kadar air 140%</i> .....              | 33        |
| IV.2.1.2 <i>Penurunan dan kurva konsolidasi (penurunan terhadap log waktu) pada kadar air 160%</i> .....              | 36        |
| IV.2.1.3 <i>Penurunan dan kurva konsolidasi (penurunan terhadap log waktu) pada kadar air 180%</i> .....              | 37        |
| IV.2.2 Pengaruh Pembebanan Terhadap Regangan.....   | 38        |
| IV.2.2.1 <i>Regangan dan kurva konsolidasi (regangan terhadap log waktu) pada kadar air 140%</i> .....                | 38        |
| IV.2.2.2 <i>Regangan dan kurva konsolidasi (regangan terhadap log waktu) pada kadar air 160%</i> .....                | 41        |

|  |           |
|--|-----------|
| <i>IV.2.2.3 Regangan dan kurva konsolidasi (regangan terhadap log waktu) pada kadar air 180%.....</i>            | 43        |
| <b>IV.3 PERILAKU KOMPRESIBILITAS (KURVA KOMPRESI).....</b>   | <b>45</b> |
| IV.3.1 Kurva Kompresi Tanah Gambut desa Duri-Riau Pada Kondisi Kadar Air Pemadatan 140%.....                     | 45        |
| IV.3.2 Kurva Kompresi Tanah Gambut desa Duri-Riau Pada Kondisi Kadar Air Pemadatan 160%.....                     | 48        |
| IV.3.3 Kurva Kompresi Tanah Gambut desa Duri-Riau Pada Kondisi Kadar Air Pemadatan 180%.....                     | 51        |
| <b>IV.4 PERILAKU KOMPRESIBILITAS (KURVA KOMPRESI) TANAH GAMBUT DURI RIAU PADA PERIODE PEMBEBANAN 72 JAM.....</b> | <b>53</b> |
| IV.4.1 Kurva Kompresi Pada Periode Waktu Pembebanan 72 Jam Kondisi Kadar Air 140 %.....                          | 53        |
| IV.4.2 Kurva Kompresi Pada Periode Waktu Pembebanan 72 Jam Kondisi Kadar Air 160 %.....                          | 54        |
| IV.4.3 Kurva Kompresi Pada Periode Waktu Pembebanan 72 Jam Kondisi Kadar Air 180 %.....                          | 55        |
| <b>IV.5 PERILAKU KOMPRESIBILITAS (KURVA KOMPRESI) TANAH GAMBUT DURI RIAU PADA VARIASI KADAR AIR.....</b>         | <b>57</b> |
| <b>BAB V PENUTUP.....</b>  | <b>59</b> |
| V.1 KESIMPULAN.....  | 59        |
| V.2 SARAN.....   | 60        |
| <b>DAFTAR PUSTAKA</b>  |           |
| <b>LAMPIRAN.....</b>   | <b>62</b> |

## DAFTAR GAMBAR

|             | Halaman  |
|-------------|--|
| Gambar 2.1  | 5  |
| Gambar 2.2  | 7  |
| Gambar 2.3  | 8  |
| Gambar 2.4  | Hubungan Antara Kadar Air Dengan Kadar Abu Tanah<br>Gambut.....  |
|             | 12   |
| Gambar 2.5  | Hubungan Antara Kerapatan Kering Maksimum Dengan<br>Kadar Organik.....                                     |
|             | 13   |
| Gambar 2.8  | Kurva Pemadatan Akibat Proses Pengeringan Contoh<br>Tanah Gambut desa Tampan-Riau.....                     |
|             | 14   |
| Gambar 2.7  | Kurva Pemadatan Akibat Proses Pengeringan Contoh<br>Tanah Gambut Palangkaraya-Kalimantan Tengah.....       |
|             | 14   |
| Gambar 2.8  | Kurva Pemadatan Akibat Proses Pembasahan Kembali<br>Contoh Tanah Gambut desa Tampan-Riau.....              |
|             | 15   |
| Gambar 2.9  | Kurva Pemadatan Akibat Proses Pembasahan Kembali<br>Contoh Tanah Gambut Palangkaraya-Kalimantan Tengah.... |
|             | 15   |
| Gambar 2.10 | Kurva Hubungan Antara Regangan dan Waktu.....  |
|             | 16   |
| Gambar 2.11 | Kurva hubungan antara angka pori dengan tekanan.....   |
|             | 19   |
| Gambar 2.12 | Kurva kompresi dengan Rowe Cell periode 24 jam.....  |
|             | 20   |
| Gambar 2.13 | Kurva kompresi dengan Oedometer periode 24 jam.....  |
|             | 20   |
| Gambar 2.14 | Kurva Kompresi Tanah Gambut w 140%.....  |
|             | 21   |
| Gambar 2.15 | Kurva Kompresi Tanah Gambut w 180%.....  |
|             | 21   |
| Gambar 3.1  | Bagan Alir Kegiatan dilaboratorium.....  |
|             | 24   |
| Gambar 3.2  | Proses penjemuran tanah uji.....   |
|             | 25   |
| Gambar 3.3  | Proses penyaringan contoh tanah dengan saringan no. 4.....   |
|             | 26   |

Halaman

|             |  |    |
|-------------|--|----|
| Gambar 3.4  | Contoh tanah uji yang telah disaring.....  | 26 |
| Gambar 3.5  | Oven dengan suhu 105°C.....  | 27 |
| Gambar 3.6  | Contoh tanah gambut dalam proses pengujian Pengujian <i>specific gravity</i> .....   | 28 |
| Gambar 3.7  | Alat uji proctor.....  | 29 |
| Gambar 3.8  | Tanah gambut yang telah dipadatkan.....  | 29 |
| Gambar 3.9  | Proses pembasahan tanah gambut setelah dipadatkan.....   | 30 |
| Gambar 3.10 | Proses pengeringan tanah gambut.....   | 30 |
| Gambar 3.11 | Tanah gambut setelah mengalami proses pengeringan 4 hingga 7 hari.....   | 30 |
| Gambar 3.12 | Alat Oedometar.....  | 31 |
| Gambar 4.1  | Kurva konsolidasi dengan kadar air pemasatan 140 % kondisi tanpa siklus setelah dipadatkan periode pembebahan 24 jam.....  | 35 |
| Gambar 4.2  | Kurva konsolidasi dengan kadar air pemasatan 140 % kondisi siklus pembasahan dan pengeringan setelah dipadatkan periode pembebahan 24 jam.....                     | 35 |
| Gambar 4.3  | Kurva konsolidasi dengan kadar air pemasatan 140 % kondisi siklus pembasahan dan pengeringan setelah dipadatkan periode pembebahan 72 jam.....                     | 35 |
| Gambar 4.4  | Kurva konsolidasi (regangan terhadap log waktu) dengan kadar air 140 % kondisi tanpa siklus setelah dipadatkan periode pembebahan 24 jam.....                      | 40 |
| Gambar 4.5  | Kurva konsolidasi (regangan terhadap log waktu) dengan kadar air 140% kondisi siklus pembasahan dan pengeringan setelah dipadatkan periode pembebahan 24 jam.....  | 40 |
| Gambar 4.6  | Kurva konsolidasi (regangan terhadap log waktu) dengan kadar air 140 % kondisi siklus pembasahan dan pengeringan setelah dipadatkan periode pembebahan 72 jam..... | 40 |

|             |   |    |
|-------------|---|----|
| Gambar 4.7  | Kurva konsolidasi (regangan terhadap log waktu) dengan kadar air 160 % kondisi tanpa siklus setelah dipadatkan periode pembebahan 24 jam.....                     | 42 |
| Gambar 4.8  | Kurva konsolidasi (regangan terhadap log waktu) dengan kadar air 160% kondisi siklus pembasahan dan pengeringan setelah dipadatkan periode pembebahan 24 jam..... | 42 |
| Gambar 4.9  | Kurva konsolidasi (regangan terhadap log waktu) dengan kadar air 160 % kondisi siklus pembasahan-pengeringan-pembasahan kembali periode pembebahan 24 jam.....    | 42 |
| Gambar 4.10 | Kurva konsolidasi (regangan terhadap log waktu) dengan kadar air 160% kondisi siklus pembasahan dan pengeringan setelah dipadatkan periode pembebahan 72 jam..... | 42 |
| Gambar 4.11 | Kurva konsolidasi (regangan terhadap log waktu) dengan kadar air 180% kondisi tanpa siklus setelah dipadatkan periode pembebahan 24 jam.....                      | 44 |
| Gambar 4.12 | Kurva konsolidasi (regangan terhadap log waktu) dengan kadar air 180% kondisi siklus pembasahan dan pengeringan setelah dipadatkan periode pembebahan 24 jam..... | 44 |
| Gambar 4.13 | Kurva konsolidasi (regangan terhadap log waktu) dengan kadar air 180% kondisi siklus pembasahan dan pengeringan setelah dipadatkan periode pembebahan 72 jam..... | 44 |
| Gambar 4.14 | Kurva kompresi kadar air pemanatan 140 % kondisi tanpa siklus setelah dipadatkan.....   | 47 |
| Gambar 4.15 | Kurva kompresi dengan kadar air pemanatan 140 % kondisi siklus pembasahan dan pengeringan setelah dipadatkan, periode pembebahan 24 jam.....                      | 47 |
| Gambar 4.16 | Kurva kompresi contoh tanah gambut desa Duri-Riau dengan kadar air pemanatan 140 %.....   | 47 |
| Gambar 4.17 | Kurva kompresi dengan kadar air pemanatan 160% kondisi tanpa siklus setelah dipadatkan.....   | 50 |

|             |   |    |
|-------------|---|----|
| Gambar 4.18 | Kurva kompresi dengan kadar air pemedatan 160% kondisi siklus pembasahan dan pengeringan setelah dipadatkan, periode pembebahan 24 jam..... | 50 |
| Gambar 4.19 | Kurva kompresi kadar air pemedatan 160% kondisi siklus B-K-B kembali setelah dipadatkan, periode pembebahan 24 jam.....                     | 50 |
| Gambar 4.20 | Kurva kompresi contoh tanah gambut desa Duri Riau dengan kadar air pemedatan 160%.....  | 50 |
| Gambar 4.21 | Kurva kompresi kadar air pemedatan 180% kondisi tanpa siklus setelah dipadatkan.....  | 52 |
| Gambar 4.22 | Kurva kadar air pemedatan 180% kondisi siklus pembasahan dan pengeringan setelah dipadatkan, periode pembebahan 24 jam.....                 | 52 |
| Gambar 4.23 | Kurva kompresi contoh tanah gambut desa Duri-Riau dengan kadar air pemedatan 180 %.....   | 52 |
| Gambar 4.24 | Kurva kompresi kadar air pemedatan 140% kondisi siklus pembasahan dan pengeringan setelah dipadatkan, periode pembebahan 72 jam.....        | 56 |
| Gambar 4.25 | Kurva kompresi kadar air pemedatan 160% kondisi siklus pembasahan dan pengeringan setelah dipadatkan, periode pembebahan 72 jam.....        | 56 |
| Gambar 4.26 | Kurva kompresi kadar air pemedatan 180 % kondisi siklus pembasahan dan pengeringan setelah dipadatkan, periode pembebahan 72 jam.....       | 56 |
| Gambar 4.27 | kurva kompresi pada variasi perbedaan kadar air – kondisi tanpa siklus .....  | 58 |
| Gambar 4.28 | kurva kompresi pada variasi perbedaan kadar air – kondisi siklus siklus 24 jam .....  | 58 |

## DAFTAR TABEL

|   | Halaman |
|---|---------|
| Tabel II.1 Luas Lahan Gambut di Beberapa Propinsi di Indonesia.....                                     | 9       |
| Tabel II.2 Sifat-Sifat Fisik Tanah Gambut Indonesia.....  | 10      |
| Tabel II.3 Gs untuk berbagai jenis tanah.....   | 11      |
| Tabel IV.1 Persentase Penurunan akhir konsolidasi tanah gambut pada kadar air 140 %.....                | 34      |
| Tabel IV.2 Persentase Penurunan akhir konsolidasi tanah gambut pada kadar air 160 %.....                | 37      |
| Tabel IV.3 Persentase Penurunan akhir konsolidasi tanah gambut pada kadar air 180 %.....                | 38      |
| Tabel IV.4 Regangan akhir tanah gambut pada kadar air pemandatan 140%.....                              | 39      |
| Tabel IV.5 Regangan akhir tanah gambut pada kadar air pemandatan 160%.....                              | 41      |
| Tabel IV.6 Regangan akhir tanah gambut pada kadar air pemandatan 180%.....                              | 43      |
| Tabel IV.7 Angka pori akhir tanah gambut pada kadar air pemandatan 140 %.....                           | 46      |
| Tabel IV.8 Angka pori akhir tanah gambut pada kadar air pemandatan 160% periode pembebangan 24 jam..... | 48      |
| Tabel IV.9 Angka pori akhir tanah gambut pada kadar air pemandatan 180 %.....                           | 51      |
| Tabel IV.10 Angka pori akhir konsolidasi primer pada kadar air pemandatan 140 %.....                    | 53      |

Halaman

|             |   |    |
|-------------|---|----|
| Tabel IV.11 | Angka pori akhir konsolidasi primer pada kadar air pemedatan 160 %..... | 54 |
| Tabel IV.12 | Angka pori akhir konsolidasi primer pada kadar air pemedatan 180 %..... | 55 |
| Tabel IV.13 | Indek kompresi (Cc) tanah gambut pada variasi kadar air.....            | 57 |
| Tabel IV.14 | Indek <i>swelling</i> (Cs) tanah gambut pada variasi kadar air.....     | 57 |



## **DAFTAR LAMPIRAN**

|   | Halaman |
|---|---------|
| Lampiran 1 Hasil Uji Kompresi Tanah Gambut $w = 140\%$  |         |
| 1.1 Hasil uji kompresi tanah gambut kadar air 140% pada kondisi tanpa siklus periode waktu pembebahan 24 jam.....   | 62      |
| 1.2 Hasil uji kompresi tanah gambut kadar air 140 % pada kondisi siklus pembasahan dan pengeringan dengan periode waktu pembebahan 24 jam .....             | 66      |
| 1.3 Hasil uji kompresi tanah gambut kadar air 140 % pada kondisi siklus pembasahan dan pengeringan dengan periode waktu pembebahan 72 jam.....              | 70      |
| Lampiran 2 Hasil Uji Kompresi Tanah Gambut $w = 160\%$  |         |
| 2.1 Hasil uji kompresi tanah gambut kadar air 160% pada kondisi tanpa siklus periode waktu pembebahan 24 jam.....   | 76      |
| 2.2 Hasil uji kompresi tanah gambut kadar air 160 % pada kondisi siklus pembasahan dan pengeringan dengan periode waktu pembebahan 24 jam .....             | 80      |
| 2.3 Hasil uji kompresi tanah gambut kadar air 160 % pada kondisi siklus pembasahan – pengeringan – pengeringan dengan periode waktu pembebahan 24 jam ..... | 84      |
| 2.4 Hasil uji kompresi tanah gambut kadar air 160 % pada kondisi siklus pembasahan dan pengeringan dengan periode waktu pembebahan 72 jam.....              | 88      |

Lampiran 3 Hasil Uji Kompresi Tanah Gambut  $w = 180\%$

|     |  |     |
|-----|--|-----|
| 3.1 | Hasil uji kompresi tanah gambut kadar air 180 % pada kondisi tanpa siklus periode waktu pembebahan 24 jam.....                             | 94  |
| 3.2 | Hasil uji kompresi tanah gambut kadar air 180 % pada kondisi siklus pembasahan dan pengeringan dengan periode waktu pembebahan 24 jam..... | 98  |
| 3.3 | Hasil uji kompresi tanah gambut kadar air 180 % pada kondisi siklus pembasahan dan pengeringan dengan periode waktu pembebahan 72 jam..... | 102 |



---

**BAB I**

**PENDAHULUAN**

---

# **BAB I**

## **PENDAHULUAN**

### **I.1 LATAR BELAKANG**

Indonesia adalah negara terbesar ke lima dalam persentase luas lahan gambut dan pulau Sumatera merupakan wilayah terbesar nomor dua dalam hal potensi lahan gambutnya. Dan dari penyebaran tanah gambut di Indonesia, dapat diketahui bahwa Indonesia memiliki tanah gambut yang sangat luas sekitar 19 juta hingga 27 juta hektar yang banyak tersebar pada daerah Kalimantan dan Sumatera. Dan pada umumnya tanah gambut tersebut belum dimanfaatkan secara maksimal.

Hal yang tidak menguntungkan dalam pembangunan di atas tanah gambut adalah kondisi aktual tanah gambut yang mudah mengalami penurunan akibat pemampatan tanah yang tinggi. Masih kurangnya Ilmu Pengetahuan dan Informasi terhadap perilaku tanah dasar ini menyebabkan mahalnya konstruksi penanganan, bahkan beberapa konstruksi mengalami kegagalan. Dan seiring dengan perkembangan pembangunan di Indonesia, maka sangat perlu diadakan penelitian tentang karakteristik dan teknik tanah gambut yang nantinya akan digunakan dalam rencana pembangunan suatu kawasan.

Salah satu karakteristik teknik tanah gambut adalah perilaku pemampatan atau kompresibilitas tanah gambut yang berbeda dengan tanah lempung. Perbedaan tersebut terletak pada kandungan tanah gambut yang lebih banyak didominasi oleh serat tumbuh-tumbuhan, kadar airnya yang tinggi, daya dukung yang rendah, serta kompresibilitas yang tinggi.

Pada lokasi dan kondisi yang berbeda tanah gambut mempunyai sifat dan karakteristik yang berbeda, maka diperlukannya penelitian terus menerus terhadap tanah gambut.

## **I.2. TUJUAN PENELITIAN**

Tujuan dari penelitian ini adalah:

1. Untuk mengamati, menganalisa serta menyimpulkan perilaku kompresibilitas tanah gambut desa Duri-Riau akibat siklus pembasahan dan pengeringan setelah dilakukannya pemasatan.
2. Membandingkan perilaku kompresibilitas tanah gambut tersebut dengan kondisi aktualnya.

## **I.3 RUANG LINGKUP PENELITIAN**

Penelitian dilakukan dengan menggunakan contoh tanah gambut yang berasal dari desa Duri-Riau. Kadar air yang digunakan adalah 140%, 160% dan 180 %. Pada setiap kadar air yang berbeda, contoh tanah uji dibuat dengan tiga kondisi yaitu kondisi tanpa siklus setelah dipadatkan dengan periode pembebasan 24 jam, kondisi dengan siklus pembasahan-pengeringan setelah dipadatkan dengan periode pembebasan 24 jam serta kondisi siklus pembasahan-pengeringan setelah dipadatkan dengan periode waktu pembebasan 72 jam. Pemasatan dilakukan dengan menggunakan alat uji *proctor* sedangkan uji kompresi menggunakan alat Oedometer.

## **I.4 METODOLOGI PENELITIAN**

Metodologi penelitian perilaku kompresibilitas tanah gambut meliputi : Studi pustaka, rangkaian uji dilaboratorium mekanika tanah UI yang meliputi pemasatan tanah gambut dengan alat uji *proctor*, kompresi tanah yang merupakan uji konsolidasi dengan dan tanpa siklus serta variasi periode waktu pembebasan 24 jam dan 72 jam.

## **I.5 SISTEMATIKA PENULISAN**

Penelitian ini ditulis dengan sistematika penulisan, yang dibagi atas beberapa bagian sebagai berikut :

BAB I : Pendahuluan

Pada Bab Pendahuluan diuraikan menjadi lima sub bab yang terdiri dari latar belakang, tujuan penelitian, ruang lingkup penelitian,

metodologi penelitian dan sistematika penulisan dari penelitian mengenai contoh tanah gambut yang berasal dari Duri-Riau.

## BAB II : Tinjauan Pustaka

Bab Tinjauan Pustaka menjelaskan mengenai teori-teori dasar yang terkait dengan tujuan penelitian tanah gambut, yang meliputi : deskripsi umum, proses pembentukan, karakteristik dari tanah gambut yang merupakan contoh tanah yang dipergunakan dalam penelitian ini, serta penyebaran tanah gambut di Indonesia. Kemudian juga terdapat kajian pustaka tentang tentang pemadatan dan perilaku kompresibilitas tanah gambut di Indonesia.

## BAB III : Metode Penelitian

Bab ini menjelaskan peralatan, material uji, metode penelitian yang akan digunakan, dan prosedur penelitian dilaboratorium.

## BAB IV : Hasil dan Analisa

Hasil penelitian dan perhitungan laboratorium akan dianalisis dalam bab ini dan analisis tersebut mengacu pada referensi yang ada.

## BAB V : Kesimpulan

Pada bab yang terakhir ini, memberikan kesimpulan dari hasil penelitian yang dilakukan serta saran untuk penelitian selanjutnya.



---

**BAB II**

**TINJAUAN PUSTAKA**

---

## **BAB II**

### **TINJAUAN PUSTAKA**

#### **II.1 DESKRIPSI TANAH GAMBUT**

Menurut Bowles (1989) sistem klasifikasi tanah yang paling terkenal dikalangan para ahli teknik tanah dan pondasi adalah klasifikasi tanah sistem *Unified (Unified Soil Classification System)*. Sistem *Unified* membagi tanah atas tiga kelompok utama:

1. Tanah berbutir kasar : tanah yang lebih dari 50 % bahannya tertahan pada ayakan No. 200 (0,075 mm) yang dibagi atas kerikil dan pasir.
2. Tanah berbutir halus : tanah yang lebih dari 50 % bahannya lewat ayakan No. 200 yang dibagi menjadi lanau, lempung, serta lanau dan lempung organik.
3. Tanah sangat organik : tanah gambut.

Dari sistem *Unified* tanah gambut termasuk dalam kelompok tanah sangat organik. Tanah gambut adalah suatu bahan organik setengah lapuk berserat atau suatu tanah yang mengandung bahan organik berserat dalam jumlah yang besar (Bowles, 1989). Pada sumber lain dinyatakan bahwa tanah gambut merupakan timbunan zat organik sebagai hasil pelapukan tumbuh-tumbuhan, dengan tingkat pembusukan yang bervariasi berubah menjadi fosil (Ahmad, 2000).

Menurut Mac Farlene (1958), tanah gambut merupakan salah satu dari sekian banyak jenis tanah yang mempunyai perilaku dan karakteristik yang sangat unik dan komplek karena mempunyai kadar air yang tinggi, kompresibilitas yang tinggi, serta daya dukung yang rendah.

Tanah gambut dapat diidentifikasi secara visual. Kondisi tanah gambut didominasi oleh bahan-bahan organik (>20 %) dapat dikenal dari baunya, warna gelap, tekstur berserat, dan berat volumenya rendah. Ciri-ciri tanah gambut yang mudah dikenali adalah strukturnya yang mudah di hancurkan pada keadaan

kering, berat isi tanah gambut sangat rendah jika dibandingkan dengan tanah mineral yaitu  $0,2$  hingga  $0,3 \text{ kN/m}^3$ . (Asyiah,2006)

Beberapa peneliti mengaitkan tanah gambut dengan daerah rawa, karena pada umumnya tanah gambut memang banyak ditemukan pada daerah rawa, yang pada bagian atasnya banyak terdapat tumbuhan-tumbuhan hidup yang mempunyai akar-akar kecil, akar-akar ini akan mempengaruhi sistem drainase dari tanah gambut itu sendiri. Deskripsi tanah gambut dapat dilihat pada gambar 2.1 dibawah ini.



Gambar 2.1 Deskripsi tanah tanah gambut (*sumber [www.lkpp.gov.my](http://www.lkpp.gov.my)*)

Colley (1950), kemampuan dalam merembeskan air sangat tergantung pada kandungan bahan mineral di dalam tanah, derajat konsolidasi dan derajat dekomposisinya. Untuk itu dikenal harga koefisien rembesan dari tanah gambut berkisar antara  $10^{-3}$  cm/dt hingga  $10^{-6}$  cm/dt, pendapat ini didukung oleh Miyakawa (1960). Tetapi disamping kemampuannya menahan air, tanah gambut memiliki kemampuan menyusut yang sangat besar pada waktu kering. Itu sebabnya berat kering tanah gambut sangat kecil. Kemampuan untuk menyusut dapat mencapai 50% dari volume mula-mula. Tetapi setelah mengalami penyusutan, kemampuan tanah gambut untuk kembali menyerap air hanya berkisar antara 33 % dan 55 % dari volume mula-mula (Asyiah, 2006).

Akroyd (1957) menyatakan tingkat keasaman tanah gambut tergantung pada musim dan cuaca. Air tanah gambut mempunyai pH antara 4 hingga 7 dan bersifat korosif terhadap beton baja (Asyiah, 2006).

Menurut N.B Hobbs (1986), deskripsi tanah gambut dapat dijabarkan sebagai berikut (Ahmad, 2000):

1. Warna

Dalam keadaan biasa, tanah gambut dapat dibedakan dari warna. Hal ini disebabkan karena tanah gambut berwarna gelap dari coklat sampai kehitaman. Warna ini dapat berubah karena faktor udara, pencatatan mengenai warna sebaiknya langsung dilakukan dilapangan.

2. Tingkat dekomposisi atau humifikasi.

3. Tingkat kebasahan (kadar air)

Kadar air dapat diukur secara akurat dilaboratorium, tetapi untuk keperluan praktis dipakai kategori *dry, wet, very wet, extremely wet..*

4. Unsur utama

Ada beberapa unsur utama (dominan) tanah gambut, yaitu : *fibre, fine, coarse, amorphous granular material, woody material*, dan sebagainya.

5. Tanah mineral

Pengidentifikasiannya dilapangan sangat sulit, kecuali bila terlihat sangat jelas.

6. Bau

Bila terditeksi oleh penciuman manusia, bau tanah gambut akan terbagi menjadi : tidak terlalu bau, agak bau, dan berbau keras. Misalnya bau H<sub>2</sub>S dapat tercium secara vertikal maupun horizontal, sedangkan bau metana hanya dapat terditeksi dengan menggunakan detektor.

7. Komposisi kimiawi

Pada tanah gambut dekomposisi bahan-bahan organik yang terakumulasi dalam tanah akan meningkatkan keasaman tanah gambut, sehingga tanah gambut cenderung lebih asam daripada tanah mineral dengan tingkat keasaman yang sama.

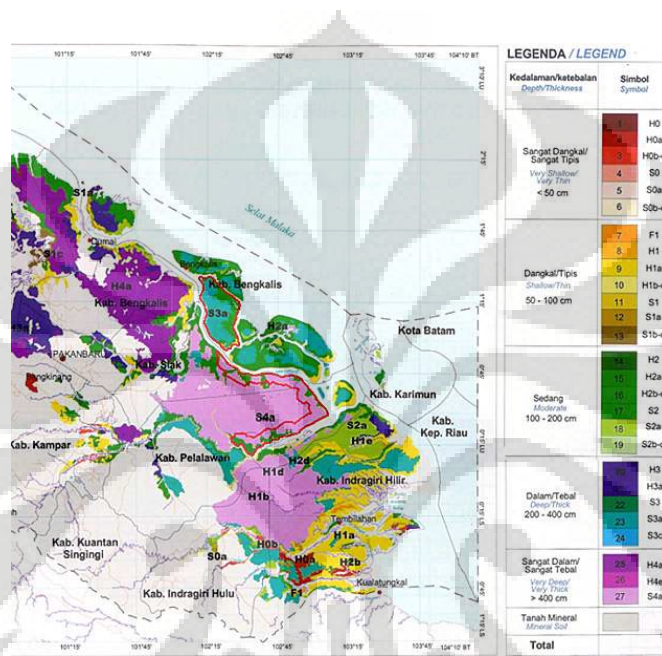
8. Kekuatan tarik (daya tahan)

9. Batas plastis yang dapat diuji atau tidak

Merupakan petunjuk lapangan yang berguna dalam penentuan morfologi tanah gambut.

## II.2 PROSES PEMBENTUKAN TANAH GAMBUT

Menurut Soepandji (1994), proses permulaan hingga terbentuknya tanah gambut dinamakan paludifikasi, yaitu merupakan proses geoteknik yang terbentuk dari akumulasi bahan-bahan organik hingga mencapai ketebalan lebih dari 40 cm. Pada tanah gambut Riau berdasarkan peta *Wetlands Int. & CIDA 2003* tebal tanah gambut di provinsi Riau lebih dari 4 m.



Gambar 2.2 Peta ketebalan tanah gambut di Riau daratan. Yang dengan garis merah. tebalnya melebihi 4 meter. Berdasarkan peta *Wetlands Int. & CIDA 2003*.

(Sumber [www.ingres.com](http://www.ingres.com))

Akumulasi bahan organik tersebut dapat dianggap sebagai suatu proses pembentukan bahan induk dari tanah gambut. Dalam proses pembentukan dan perkembangan gambut selanjutnya dipengaruhi oleh beberapa faktor, yaitu : kelembaban, susunan bahan organik, keasaman, aktivitas jasad remik, dan waktu.

Ahmad (2000) menyatakan berdasarkan cara pembentukannya, endapan gambut dapat dibedakan atas :

### 1. Gambut daratan (*Topogeneous Peat*)

Endapan gambut ini dibentuk dari tumbuhan yang menyerap bahan makanan dari lapisan mineral tanah, bahan makanan yang terbawa air limpasan sungai akibat pasang surut sungai dan hasil dekomposisi tumbuhan didaerah lembah antar pengunungan. Umumnya endapan gambut ini disebut juga *Eutropic Peat* atau gambut yang terbentuk oleh tumbuhan yang kaya nutrisi.

## 2. Gambut perairan (*Ombrogenous Peat*)

Endapan gambut ini dibentuk oleh tumbuhan yang menyerap zat makanan hasil dekomposisi material organik/gambut itu sendiri dan tergantung dari air hujan pada daerah tergenang air. Karena posisinya jauh dari sungai maka endapan gambut tidak dipengaruhi oleh air sungai atau pasang surutnya. Endapan ini disebut juga *Oligotrophic Peat* atau gambut yang terbentuk dari tumbuhan yang kekurangan zat makanan atau kandungan nutrisinya rendah.

Menurut Hobb (1986), BPPT (1993) dan Hermawan (1994) dalam Wardana (1997) bahwa proses pembentukan sangat dipengaruhi oleh iklim, hujan, pasang surut air laut, jenis vegetasi rawa, topografi dan beberapa aspek geologi serta hidrologi daerah setempat. Tingkat pertambahan tinggi rata-rata tanah gambut 1 m dalam 2000 tahun, dengan rentang 20 cm hingga 80 cm/ 1000 tahun. Tingkat pertambahan ini dapat dikatakan terjadi pada setiap tanah gambut tanpa memandang jenis tanah tersebut.

Soebijanto (1988) menyatakan bahwa tanah gambut Indonesia tergolong gambut tropika yang terbentuk atau terakumulasi kira-kira 5000 tahun yang lampau. Tanah gambut tropika terbentuk dari sisa-sisa bahan organik yang terdekomposisi pada kondisi anaerob dimana laju pertumbuhan bahan lebih besar dari pada laju dekomposisinya.

## II.3 KARAKTERISTIK TANAH GAMBUT DI INDONESIA

Penyebaran tanah gambut Indonesia sangat luas sekitar 19 juta hingga 27 juta hektar yang banyak tersebar pada daerah Kalimantan dan Sumatera.



Gambar 2.3 Peta penyebaran distribusi gambut di Indonesia  
(sumber [www.pu.go.id/.../webba](http://www.pu.go.id/.../webba))

Sedangkan menurut Soekardi dan Hidayat (1988) lahan gambut di Indonesia diperkirakan seluas 18,48 juta hektar yang terbagi atas 4,5 juta ha di pulau Sumatera, 9,3 juta ha di pulau Kalimantan, dan sekitar 4,6 juta ha di pulau Irian Jaya, dan dipulau - pulau lainnya hanya menempati lembah pedalaman dengan luas yang sedikit. Tabel II.1 di bawah ini menyajikan secara detail jumlah area gambut di beberapa propinsi di Indonesia :

Tabel II.1 Luas Lahan Gambut di Beberapa Propinsi di Indonesia  
(Asyiah, 2006)

| Propinsi         | Areal ( $\times 1000\text{ ha}$ ) | Propinsi           | Areal ( $\times 1000\text{ ha}$ ) |
|------------------|-----------------------------------|--------------------|-----------------------------------|
| Jawa Barat       | 25                                | Kalimantan Barat   | 4610                              |
| Aceh             | 270                               | Kalimantan Tengah  | 2162                              |
| Sumatera Barat   | 31                                | Kalimantan Selatan | 1484                              |
| Sumatera Utara   | 335                               | Kalimantan Timur   | 1053                              |
| Riau             | 1704                              | Sulawesi Tengah    | 15                                |
| Jambi            | 900                               | Sulawesi Selatan   | 1                                 |
| Sumatera Selatan | 990                               | Sulawesi Tenggara  | 18                                |
| Bengkulu         | 22                                | Maluku & Lainnya   | 20                                |
| Lampung          | 24                                | Irian Jaya         | 4600                              |

Penelitian mengenai karakteristik dari tanah gambut di Indonesia telah banyak dilakukan, karakteristik yang diuji untuk menggambarkan sifat fisik tanah gambut di Indonesia antara lain yaitu kadar air, batas cair, batas plastis, batas susut, *specific gravity*, pH, kadar abu, kadar organik, kadar serat, berat jenis dan angka pori.

Karakteristik tanah gambut tersebut disajikan dalam tabel II.2 yang merupakan hasil penelitian yang dilakukan oleh Noor Endah (1991) Dirgantara (1996), Pandita (1996), Olivia (1997), Nelwida (1999), dan yang masing-masing meneliti terhadap tanah gambut didaerah desa Duri-Riau, desa Tampan-Riau, Palembang, Pontianak, Banjarmasin dan Palangkaraya.

Tabel II.2 Sifat-Sifat Fisik Tanah Gambut Indonesia

| Parameter                        | Duri   | Tampan   | Palembang | Pontianak | Banjarmasin | Palangkaraya |
|----------------------------------|--------|----------|-----------|-----------|-------------|--------------|
| Kadar air (%)                    | 621.26 | 372.7    | 235.36    | 631.74    | 449.83      | 536.32       |
| Batas cair (%)                   | 440.53 | 309      | 274       | 259.66    | 182         | 227.8        |
| Batas plastis (%)                | 377.35 | 235.9    | 194.21    | 196.37    | 147.6       | 134.4        |
| Batas susut (%)                  | -      | 59.46    | -         | -         | 28.02       | 44.62        |
| Specifig gravity                 | 1.6    | 1.55     | 1.82      | 1.42      | 1.47        | 1.39         |
| Berat jenis (kN/m <sup>3</sup> ) | -      | -        | 11.23     | -         | 9.64        | 10           |
| Kadar pH                         |        |          |           |           |             |              |
| Dalam air suling                 | 3.99   | 3.61     | 3.38      | 4.8       | 6.47        | 4.5-5.5      |
| Dalam CaCl <sub>2</sub>          | 3.91   | 3.06     | 3.28      | -         | 6.38        | -            |
| Kadar abu (%)                    | 21.96  | 3.5-12.7 | 50.74     | 1.2       | 4.26        | 0.69-0.74    |
| Kadar serat (%)                  | 74.08  | 23-43    | 71.89     | 79.45     | 61.33       | 93.1         |

Sumber : Napitupulu, 1999 dalam Hadijah, 2006

Berdasarkan tabel II.2 diatas dapat disimpulkan mengenai karakteristik dari tanah gambut di Indonesia, yaitu :

### 1. Kadar Air

Tanah gambut memiliki kemampuan yang tinggi untuk menyerap dan menyimpan air. Kadar air pada tanah gambut dapat bervariasi dalam rentang yang besar, yaitu dapat lebih besar dari 600 % (Mochtar, 1996). Faktor-faktor yang dapat mempengaruhi besarnya kadar air ini yaitu jenis-jenis tumbuhan yang hidup dalam komunitas tersebut serta proses dekomposisi dari tanah gambut. Kadar air tanah gambut akan menurun sejalan dengan meningkatnya derajat humifikasi dan adanya unsur mineral tanah (Rinaldo, 1995).

Tanah gambut yang berasal dari daerah Palembang menunjukkan bahwa pada tanah gambut tersebut telah terjadi proses humifikasi yang cukup tinggi dimana harga kadar airnya tergolong lebih kecil yaitu sebesar 236,36 % dibandingkan dengan kadar air tanah gambut yang berasal dari wilayah lain. Sedangkan tanah gambut yang berasal dari wilayah Pontianak memiliki kadar air yaitu sebesar 631,74 %, hal ini memperlihatkan bahwa proses dekomposisi yang terjadi pada tanah tersebut tergolong rendah.

## 2. Berat jenis (*Specific Gravity*)

Menurut Joseph E.Bowles harga *Gs* tergantung dari jenis tanahnya, besarnya harga *Gs* untuk masing-masing jenis tanah ditunjukkan pada tabel II.3 dibawah ini:

Tabel II.3 *Gs* untuk berbagai jenis tanah  
(*Joseph E.Bowles, 1978*)

| Tipe Tanah   | <i>Gs</i>   |
|--|-------------|
| Pasir ( <i>Sand</i> )  | 2.65 – 2.67 |
| Pasir Kelanauan ( <i>Silty Sand</i> )                                    | 2.67 – 2.70 |
| Lempung Anorganik ( <i>Inorganic Clay</i> )                              | 2.70 – 2.80 |
| Tanah dengan kandungan Mica atau Besi ( <i>Soil with Micas ar Iron</i> ) | 2.75 – 2.80 |
| Tanah Organik ( <i>Organic Soil</i> )                                    | $\leq 2.00$ |

Menurut Mac Farlane (1969) harga *specific gravity* rata-rata tanah gambut adalah 1,5 atau 1,6. Dan Noor Endah (1996) juga menyatakan *Specific Gravity* untuk tanah gambut yaitu lebih besar dari 1,0. Untuk harga *Specific Gravity* dari setiap daerah asal gambut di Indonesia bervariasi antara 1,4 sampai 1,8 dan berdasarkan tabel II.3 diatas dapat dikatakan bahwa tanah gambut tergolong tanah organik dengan harga *specific gravity*  $\leq 2.00$ .

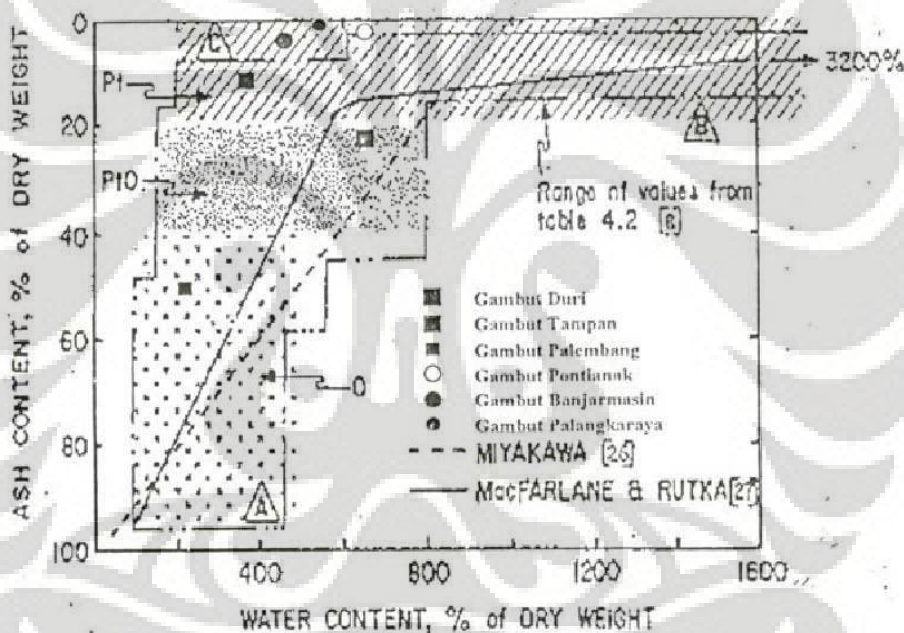
## 3. Keasaman

Tanah gambut mempunyai sifat “*acidic reaction*” yang disebabkan oleh adanya karbondioksida dan *humic acid* yang dihasilkan dari proses pembusukan. Sehingga sifat ini penting untuk diketahui karena tanah dan air gambut sangat korosif terhadap beton dan baja. Menurut Lucas dan Davis (1961) nilai pH untuk tanah gambut yang ideal adalah sekitar 5,5. Sedangkan untuk air gambut (*peaty water*) yang pada umumnya bebas dari air laut, mempunyai pH berkisar antara 4 sampai 7 (Lea, 1956). Secara umum derajat keasaman (pH) dari tanah gambut di Indonesia berkisar antara 3 sampai 5 kecuali pada tanah gambut Banjarmasin yang mencapai pH diatas 6.

#### 4. Kadar Abu dan Kadar Organik

Kemurnian tanah gambut dapat diketahui dengan mengukur kadar organik murni, bebas dari abu dan sisa-sisa tumbuhan, sisa bahan organik tersebut berasal dari proses dekomposisi. Dimana untuk mengetahui kadar organik murni ini harus diketahui terlebih dahulu kadar abunya.

Berdasarkan dari hasil plot nilai-nilai kadar air dan kadar abu tanah gambut Indonesia pada gambar 2.4 dibawah ini, dapat terlihat bahwa tanah gambut Indonesia termasuk kedalam tanah gambut murni, kecuali tanah gambut Duri termasuk gambut organik dan gambut Palembang yang lebih menyerupai tanah organik.

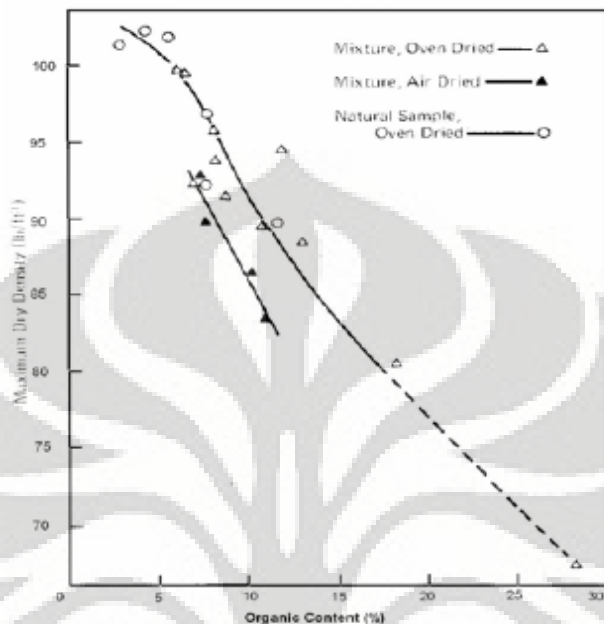


Gambar 2.4 Hubungan Antara Kadar Air Dengan Kadar Abu Tanah Gambut  
(Asyiah, 2006)

#### II.4 PERILAKU PEMADATAN TANAH GAMBUT

Tanah gambut merupakan tanah dengan kandungan utamanya adalah material organik. Dimana kandungan material organik ini dapat mempengaruhi perilaku yang terjadi, baik pada kekuatan maupun pematatan tanah. Menurut Franklin, Orozco dan Semrau (1973) semakin meningkatnya kandungan material organik maka akan mengurangi kerapatan kering tanah, dan sejalan dengan meningkatnya kandungan material organik maka kadar air optimum yang dicapai

akan semakin besar. Pada gambar 2.5 dibawah ini dapat memperlihatkan karakteristik pemasukan terhadap campuran tanah anorganik dan tanah gambut serta perbandingan dengan tanah aslinya.



Gambar 2.5 Hubungan Antara Kerapatan Kering Maksimum Dengan Kadar Organik  
(Franklin, Orozco dan Semrau, 1973)

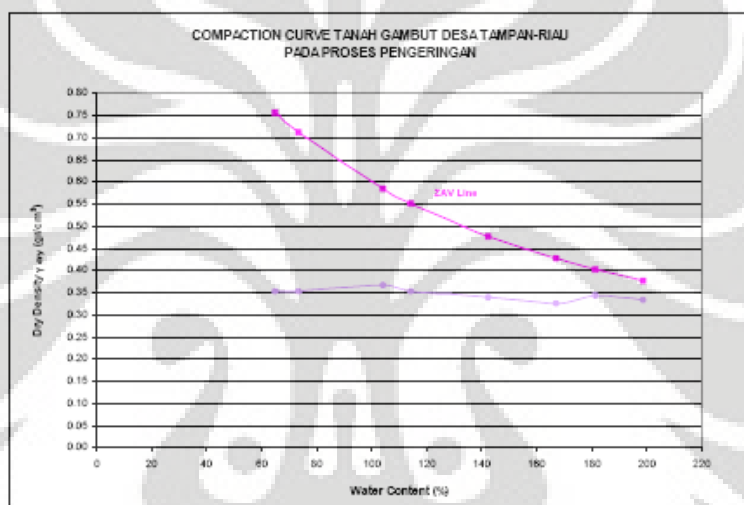
Menurut Endah dan Wardana (1998) dalam Waruwu (2002) menyatakan nilai parameter fisik tanah gambut diantaranya berat volume ( $\gamma$ ), berat kering ( $\gamma_d$ ), *Spesific Gravity* dan indek plastis tanah (IP) makin menurun dengan makin meningkatnya kandungan bahan organik, tetapi angka pori ( $e$ ) dan kadar air ( $w$ ) meningkat dengan bertambahnya kandungan bahan organik. Hal ini menunjukkan bahwa meningkatnya kandungan bahan organik menyebabkan makin berkurangnya kepadatan tanah dan plastisitas tanah.

Penelitian yang menerapkan metode dan perilaku pemasukan terhadap tanah gambut di Indonesia telah banyak dilakukan oleh Grup Riset Geoteknik FTUI [Subagio (1995), Vincentia Endah S (1997), Boy Irwandi (1999), Siti Hadijah (2006)].

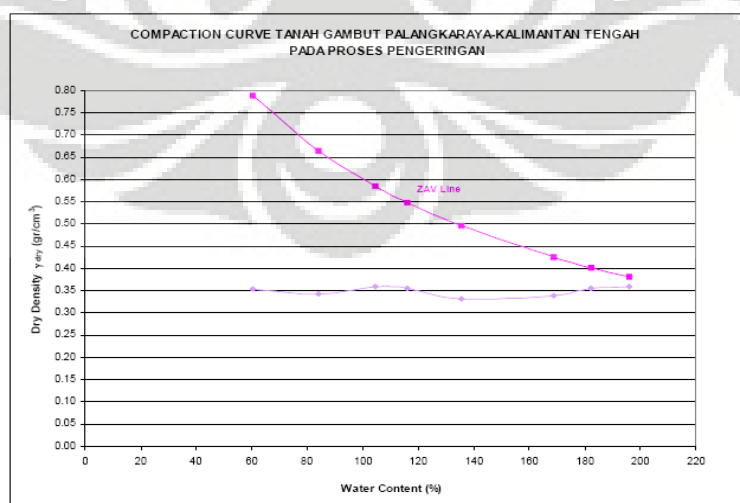
Dari penelitian Hadijah (2006) dari uji pemasukan contoh tanah gambut desa Tampan-Riau dan Palangkaraya-Kalimantan Tengah pada proses pengeringan dan pembasahan kembali. Kurva pemasukan dari contoh tanah gambut yang diperoleh menampilkan suatu keunikan yang berbeda dengan jenis tanah pada umumnya.

kurva pemedatan untuk contoh tanah gambut dalam penelitian ini terlihat adanya kecenderungan memiliki dua titik puncak.

Nilai kerapatan tanah yang diperoleh pada proses pengeringan (gambar 2.6-2.7) mendekati seragam yaitu sekitar  $0,33 \text{ gr/cm}^3$  hingga  $0,37 \text{ gr/cm}^3$  untuk kedua contoh tanah gambut tersebut. Kadar air optimum untuk contoh tanah gambut Palangkaraya mencapai sekitar 105 % pada kerapatan kering maksimum  $0,36 \text{ gr/cm}^3$ , sedangkan pada contoh tanah gambut desa Tampan-Riau kadar air optimum yang diperoleh yaitu sekitar 104 % dengan kerapatan kering maksimum sebesar  $0,37 \text{ gr/cm}^3$ .

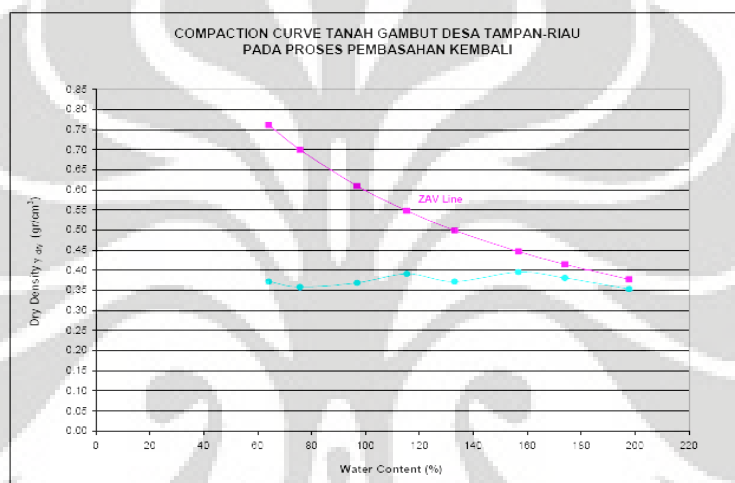


Gambar 2.6 Kurva Pemedatan Akibat Proses Pengeringan Contoh Tanah Gambut desa Tampan-Riau (*sumber : Hadijah, 2006*)

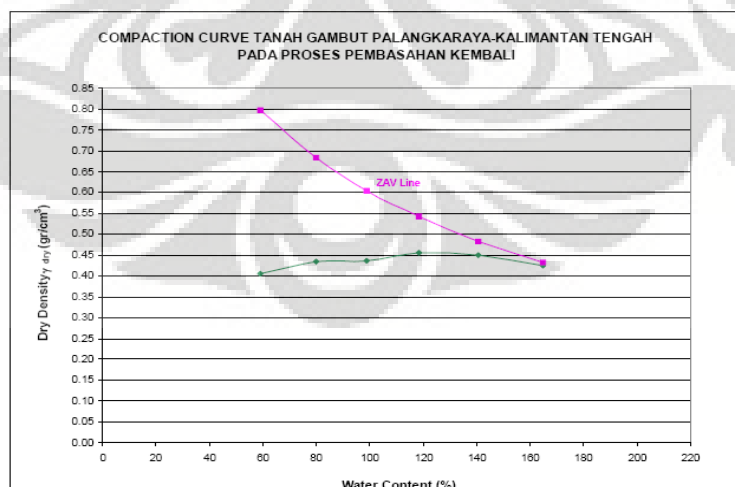


Gambar 2.7 Kurva Pemedatan Akibat Proses Pengeringan Contoh Tanah Gambut Palangkaraya-Kalimantan Tengah (*sumber : Hadijah, 2006*)

Nilai kerapatan tanah dari proses pembasahan kembali (gambar 2.8-2.9) untuk contoh tanah gambut desa Tampan-Riau kerapatan kering maksimum yang diperoleh yaitu sekitar  $0,40 \text{ gr/cm}^3$  pada kadar air optimum sekitar 157 %, sedangkan pada contoh tanah gambut Palangkaraya kerapatan kering maksimum yang diperoleh sebesar  $0,46 \text{ gr/cm}^3$  dengan kadar air optimum sekitar 118 %. Seperti halnya dengan proses pengeringan, akibat proses pembasahan kembali menunjukkan bahwa kadar air optimum yang dicapai pada kedua contoh tanah gambut relatif tinggi dengan kepadatan tanah yang sangat rendah (Hadijah,2006).



Gambar 2.8 Kurva Pemadatan Akibat Proses Pembasahan Kembali Contoh Tanah Gambut desa Tampan-Riau (*sumber : Hadijah, 2006*)



Gambar 2.9 Kurva Pemadatan Akibat Proses Pembasahan Kembali Contoh Tanah Gambut Palangkaraya-Kalimantan Tengah (*sumber : Hadijah, 2006*)

Dari beberapa penelitian terhadap pematatan tanah gambut Asyiah (2006) menyebutkan bahwa tingginya kadar air optimum pada tanah gambut dapat disebabkan karena faktor tingkat humifikasi tanah. Pada tanah gambut dengan tingkat humifikasi rendah dimana masih terdapat serat-serat sisa tumbuhan sehingga memiliki pori-pori yang lebih besar yang memungkinkan untuk dapat menyerap air lebih banyak. Walaupun sudah dilakukan stabilisasi terhadap tanah gambut dengan menggunakan berbagai bahan tambahan, tetapi kadar air optimum yang dapat dicapai masih cukup tinggi dan berat isi kering tanah yang diperoleh pun tergolong masih kecil apabila dibandingkan dengan jenis tanah yang lain.

## II.5 KOMPRESIBILITAS TANAH GAMBUT

Tanah gambut mempunyai kadar air dan daya serap air yang tinggi disertai proses dekomposisi serat-serat tumbuhan, sehingga perilaku tanah gambut berbeda dengan tanah lempung. Oleh karena itu ada dua alasan mendasar yang menjelaskan teori konsolidasi Terzaghi tidak dapat digunakan untuk mempekirakan pemampatan pada tanah gambut, yaitu : (Wardana ,1997)

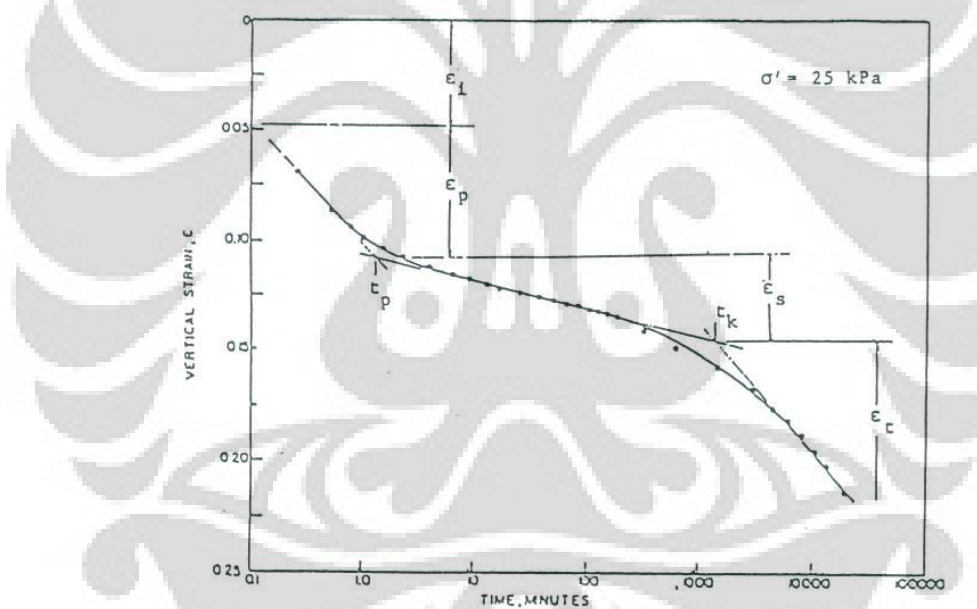
1. Daya rembesnya yang berkurang secara cepat (sedangkan teori konsolidasi Terzaghi selama masa konsolidasi adalah konstan). Tanah gambut jenis Fibrous mempunyai porositas yang tinggi, oleh karena itu pemampatan awal berlangsung sangat cepat, sehingga daya rembesnya juga berkurang secara cepat.
2. Daya mampatnya yang tinggi, pada teori konsolidasi Terzaghi dinyatakan bahwa kerangka butiran tanah adalah bahan yang tidak dapat termampatkan, sedangkan pada gambut terjadi dekomposisi pada serat.

Menurut Mac Farlene (1959) daya rembes awal yang tinggi menyebabkan pemampatan awal terjadi dengan cepat. Pemampatan primer terjadi setelah tanah gambut dibebani dan berlangsung cepat pada sepuluh menit pertama. Hal ini didukung oleh Christiansen dan Wu (1964) yang menyatakan bahwa ikatan yang lemah dan selaput air yang tebal antara partikel akan menyebabkan deformasi plastik awal, yang selanjutnya diikuti oleh rangkak. Proses deformasi yang terjadi pada serat-serat yang ada pada tanah gambut menyebabkan perilaku

pemampatannya lebih rumit. Hal ini disebabkan oleh hancurnya struktur serat yang ada, serta terbentuknya gas akibat proses dekomposisi.

Sedangkan menurut Dhowian dan Edil (1980), selama proses pemampatan, daya rembes tanah yang bersangkutan berkurang dengan cepat sehingga menyebabkan berkurangnya kecepatan pemampatan tanah tersebut. Hal ini disebabkan tanah gambut mempunyai kadar air dan daya rembes yang tinggi serta adanya pengaruh proses dekompresi yang terjadi pada serat-serat organik oleh kegiatan mikrobiologi, sehingga perilakunya lebih mengacu pada besaran tegangan yang terjadi (Soepandi, 1997).

Perilaku kompresi tanah gambut dapat diamati dengan melihat kurva regangan terhadap waktu gambar 2.10 dibawah ini yang dilakukan oleh Dhowian dan Edil (1980).



Gambar 2.10 Kurva Hubungan Antara Regangan dan Waktu (Edil dan Dhowian, 1980)

Pada gambar 2.10 menunjukkan bahwa komponen pemampatan tanah gambut terdiri dari empat komponen (Soepandi, 1997 ):

1. Regangan langsung (*Instantaneous Strain,  $\epsilon_i$* )

Terjadi dengan segera setelah diberi peningkatan beban, kemungkinan akibat tertekannya rongga udara dan tekanan elastik dari gambut.

2. Regangan primer (*Primary Strain*,  $\epsilon_p$ )

Terjadi untuk waktu yang relatif singkat dengan kecepatan pemampatan yang tinggi dan berlangsung dengan waktu  $t_\alpha$ .

3. Regangan sekunder (*Secondary Strain*,  $\epsilon_s$ )

Terjadi akibat bertambahnya regangan terhadap log waktu secara linier sampai waktu  $t_k$ , selanjutnya kecepatan pemampatan akan meningkat sampai regangan tersier terjadi.

4. Regangan tersier (*Tertiary Strain*,  $\epsilon_t$ )

Terjadi secara terus menerus sampai seluruh proses pemampatan berakhir.

Pertambahan beban pada tanah, pertama kali akan diterima oleh air sehingga menimbulkan kenaikan air pori. Pada konsolidasi primer tekanan air pori akan berkurang akibat keluarnya air pori dari pori-pori tanah, kemudian dilanjutkan dengan dilanjutkan dengan konsolidasi sekunder dengan tekanan air pori konstan.

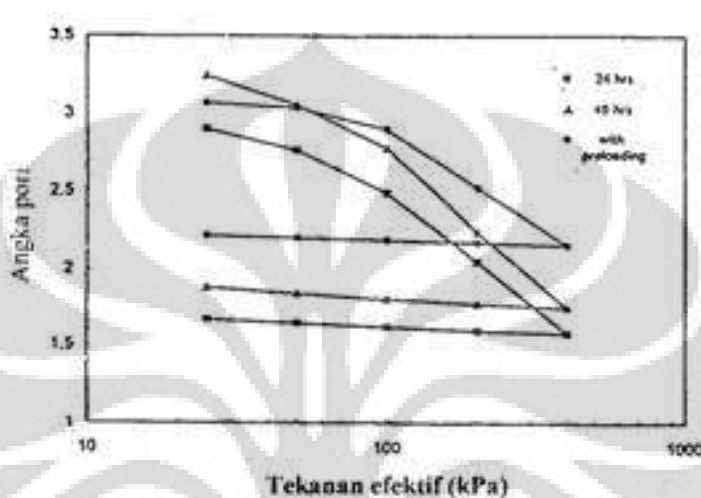
Dan menurut Furstenberg (1981,1983) akibat pemampatan yang besar pada keadaan awal proses konsolidasi menyebabkan perubahan yang berarti dari karakteristik konsolidasi, akibatnya diperlukan suatu modifikasi cara analisa konsolidasi. Kerangka tanah gambut terdiri dari partikel-partikel koloid tumbuh-tumbuhan, dengan ikatan antara partikel yang kuat pada bidang kontak (Wardana, 1997).

## II.6 KOMPRESIBILITAS TANAH GAMBUT INDONESIA

Bila dibandingkan dengan hasil yang didapat oleh Dhowian dan Edil, menurut Soepanji dan Bhrata (1996) beban yang relatif kecil (25 kPa dan 50 kPa) terlihat fenomena yang sama, yaitu sulit untuk memisahkan pemampatan primer dan sekunder, sedangkan pada beban yang relatif besar 100 kPa hingga 400 kPa terlihat jelas ada perbedaan antara kedua pemampatan tersebut, kecepatan pemampatan sekunder yang dihasilkan adalah linier terhadap waktu (Waruwu, 2002).

Sifat mudah termampatkan pada tanah gambut dapat diketahui dari kurva kompresi (hubungan antara angka pori dengan tekanan [ $e$  ;  $\log \sigma'$ ]). Dari kurva kompresi yang dihasilkan oleh Soepanji dan Bhrata (1996) terlihat bahwa gambut Palembang mempunyai bentuk kurva yang mulus seperti pada tanah inorganik

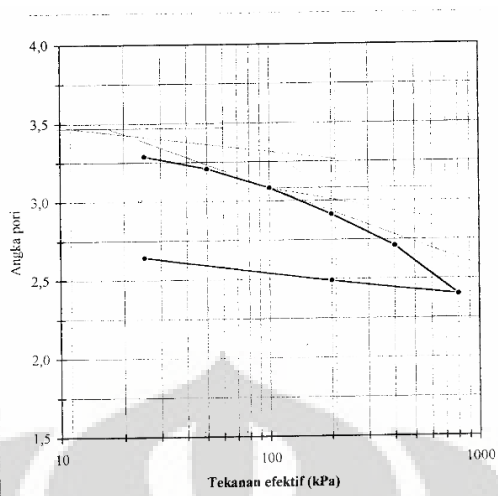
(gambar 2.11) kurva ini menunjukkan makin besar pembebanan yang diberikan maka makin besar perubahan angka pori yang terjadi. Hasil yang sama juga didapatkan dari penelitian yang dilakukan oleh Waruwu (2002) untuk tanah gambut Lampung dan Asyiah untuk tanah gambut desa Berengbengkel Palangkaraya.



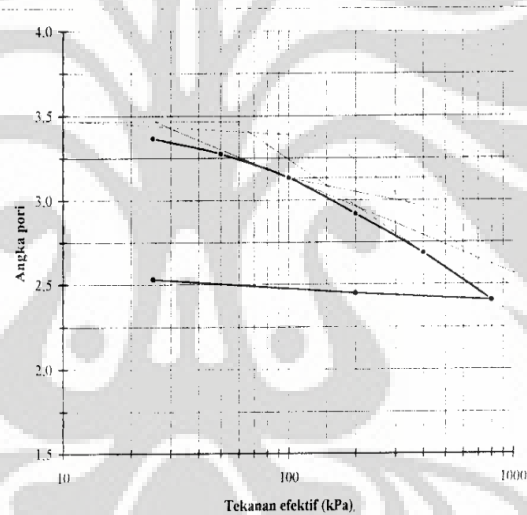
Gambar 2.11 kurva hubungan antara angka pori dengan tekanan Soepanji dan Bhrata (1996) (sumber : Waruwu, 2002)

Besar tekanan sangat mempengaruhi kecepatan air pori untuk mengalir keluar, kecepatan pemampatan juga akan makin besar, tetapi jika tekanan diberikan lebih besar lagi dimana pemampatan yang terjadi sudah cukup berarti, maka proses keluarnya air pori semakin berkurang disebabkan ruang pori yang semakin mengecil, konsekuensinya kecepatan pemampatan akan semakin kecil.

Penelitian tanah gambut Lampung yang dilakukan oleh Waruwu (2002) adalah membandingkan perilaku tanah gambut yang ditinjau dari alat uji *Rowe Cell* dan *Oedometer* dengan periode pembebanan yang berbeda yaitu 24 jam dan 48 jam untuk tanah asli. Hasil indek kompresi (*Cc*) yang didapat dengan kadar air asli 152.8 % adalah 1,207 untuk *Rowe Cell* dengan periode pembebanan 24 jam dan 2.238 dengan periode pembebanan 48 jam. Sedangkan dengan kadar air yang sama untuk *Oedometer* didapatkan nilai *Cc* 1.089 pada periode pembebanan 24 jam dan 1.053 untuk periode pembebanan 48 jam. Untuk periode 24 jam kurva kompresi dapat dilihat pada gambar 2.12 dan 2.13 dibawah ini.



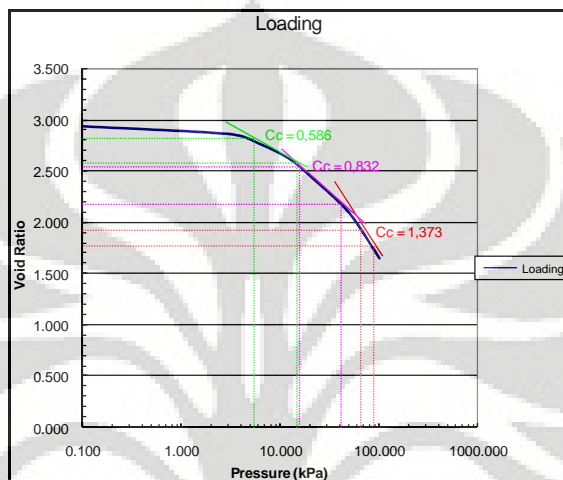
Gambar 2.12 kurva kompresi dengan Rowe Cell periode 24 jam  
(sumber : Waruwu, 2002)



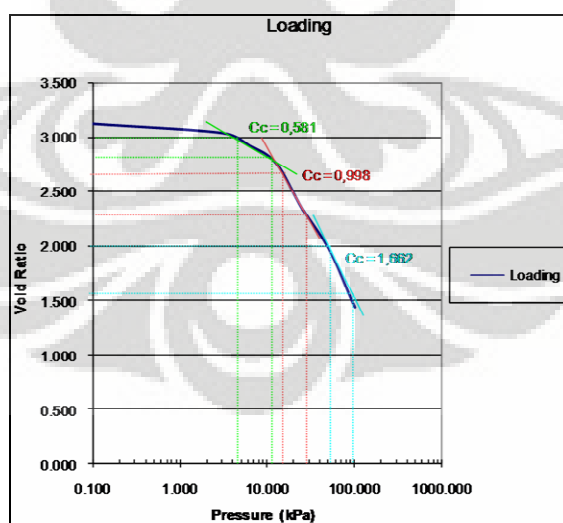
Gambar 2.13 kurva kompresi dengan Oedometer periode 24 jam  
(sumber : Waruwu, 2002)

Besarnya tekanan, angka pori dan periode pembebahan sangat mempengaruhi perilaku pemampatannya. Hal ini disebabkan bahwa semakin besar tekanan efektif, proses perpindahan keluarnya air dari makropori berlangsung lebih cepat yang menyebabkan pemampatan akan lebih besar dan akibatnya perubahan angka pori semakin besar, sehingga dapat dinyatakan bahwa untuk pembebahan yang lebih besar akan mengakibatkan perubahan angka pori yang lebih besar.

Asyiah (2006) juga melakukan pengujian konsolidasi tanah gambut yang sudah dipadatkan tanpa penambahan bahan stabilisator dengan kadar air 140% dan 180% , pembacaan alat 24 jam dengan alat oedometer. Dari hasil uji tersebut terlihat bahwa jika tanah diberikan beban semakin besar maka angka pori mengecil. (gambar 2.14-2.15).



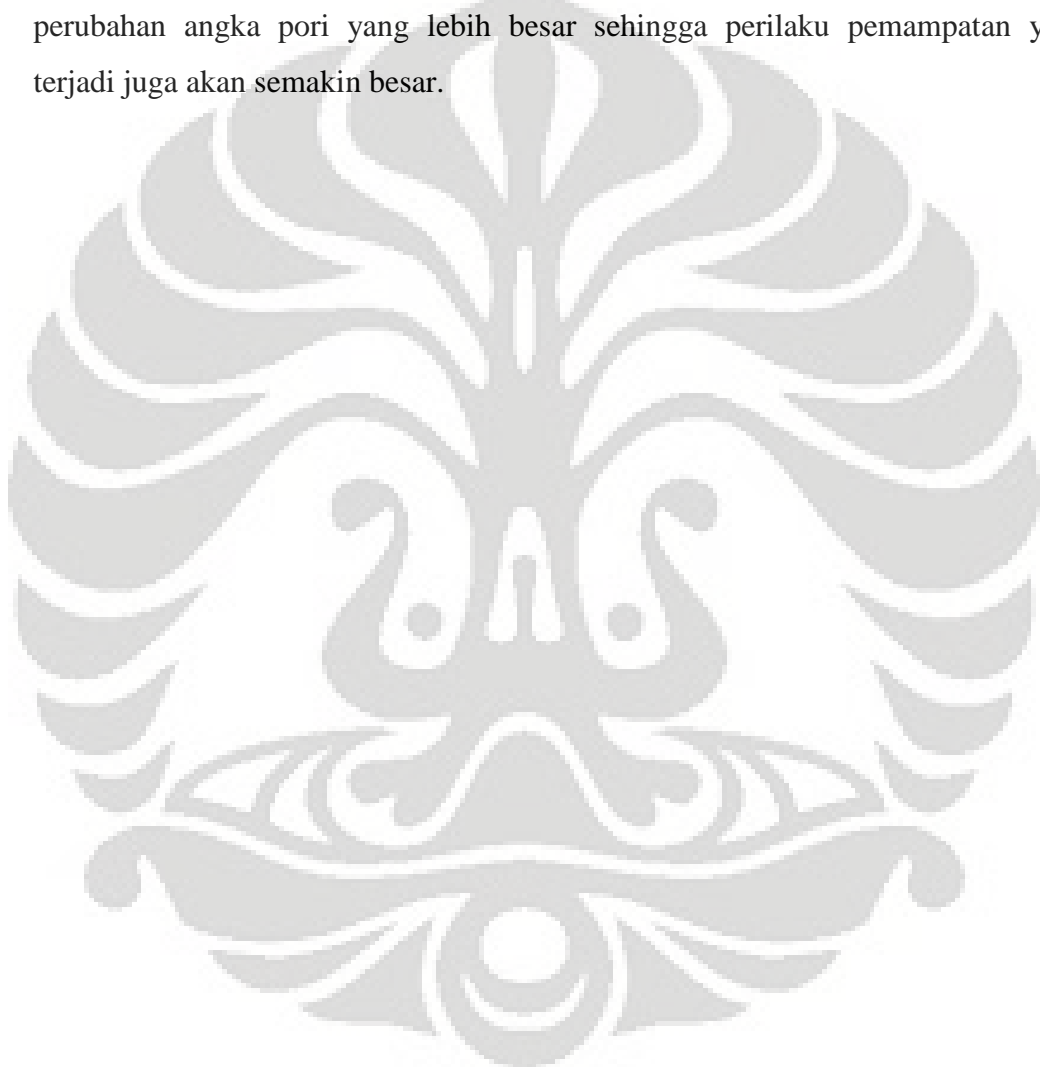
Gambar 2.14 Kurva Kompresi Tanah Gambut w 140%  
(Sumber : Asyiah, 2006)



Gambar 2.15 Kurva Kompresi Tanah Gambut w 180%  
(Sumber : Asyiah, 2006)

Dari kurva tersebut didapatkan nilai  $C_c$  (*Compression Index*) pada tiap kemiringan kurva. Nilai  $C_c$  yang dihasilkan semakin besar jika pembebanan yang

dilakukan juga bertambah. Yaitu bernilai antara 0,586 hingga 1,373 pada tanah gambut dengan kadar air ( $w$ ) 140% dan bernilai antara 0,581 hingga 1,662 pada tanah gambut dengan kadar air ( $w$ ) 180%. Hal ini menunjukkan bahwa kemampuan memampat tanah juga semakin besar karena beban yang diberikan semakin besar yang besarnya adalah dua kali lipat dari beban sebelumnya (*multiple*). Nilai  $Cc$  yang dihasilkan tergantung dari pemberian beban atau tekanan, semakin besar beban yang diberikan maka akan mengakibatkan perubahan angka pori yang lebih besar sehingga perilaku pemampatan yang terjadi juga akan semakin besar.





---

**BAB III**

**METODE PENELITIAN**

---

## **BAB III**

### **METODE PENELITIAN**

#### **III.1 PENDAHULUAN**

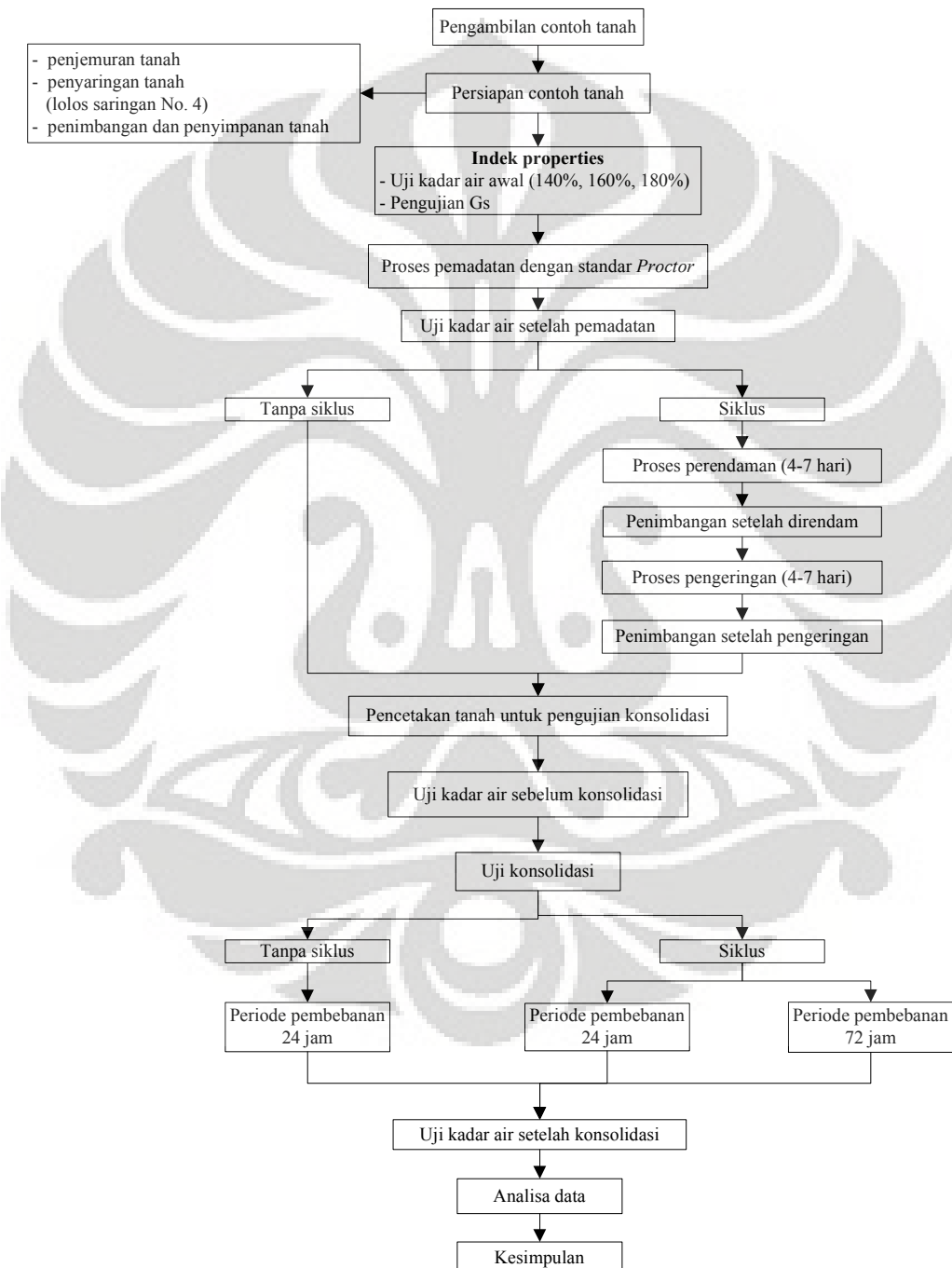
Penelitian yang dilakukan meliputi penelitian dilaboratorium dan studi pustaka terhadap beberapa penelitian yang berkaitan dengan kompresibilitas tanah gambut yang telah dilakukan oleh peneliti sebelumnya, yang telah dibahas pada bab II. Kegiatan penelitian laboratorium yang dilakukan meliputi pemasatan dengan alat uji *proctor*, pengujian *index properties* serta uji kompresibilitas (konsolidasi) terhadap contoh tanah gambut yang berasal dari Duri-Riau. Penelitian kompresibilitas tanah gambut akibat siklus pembasahan dan pengeringan setelah dipadatkan dilaksanakan dilaboratorium Mekanika Tanah, Departemen Teknik Sipil FTUI selama kurang lebih 1 tahun.

Penelitian kompresi tanah gambut ini dilakukan pada kadar air pemasatan 140 %, 160 %, dan 180 %. Pada tiap kadar air yang berbeda dilakukan dua jenis kondisi tanah gambut, kondisi tanpa siklus yaitu tanah gambut setelah dipadatkan langsung dilakukan pengujian konsolidasi dan kondisi siklus pembasahan dan pengeringan setelah dipadatkan dimana tanah gambut setelah dipadatkan dilakukan proses perendaman dan pengeringan kemudian dilakukan uji konsolidasi. Dan juga dilakukan variasi terhadap periode waktu pembebahan 24 jam dan 72 jam. Kegiatan penelitian ini dilakukan untuk mengetahui perilaku kompresibilitas tanah gambut akibat siklus pembasahan dan pengeringan setelah dipadatkan yang terdiri dari tiga metode utama yang berpengaruh besar terhadap hasil penelitian yaitu persiapan tanah uji, proses pemasatan dan uji konsolidasi.

#### **III.2 PROGRAM KERJA PENELITIAN**

Suatu kegiatan penelitian harus dilakukan dengan prosedur dan metode yang tepat. Pada penelitian ini prosedur utama yang dilakukan adalah persiapan benda

uji yang terdiri dari proses penjemuran, poses penyaringan untuk memisahkan antara tanah dan serat tumbuhan, serta pengujian kadar air. Pemadatan dilakukan dengan alat uji *proctor* dan pengujian kompresi dengan menggunakan alat konsolidasi *Oedometer*. Selain langkah-langkah utama yang dilakukan juga ada penelitian atau pengujian indek *properties* dari tanah yang di teliti. Diagram alir program kerja yang dilakukan dapat dilihat dari bagan di bawah ini :



Gambar 3.1 Bagan Alir Kegiatan dilaboratorium

### **III.3 PERSIAPAN CONTOH TANAH UJI**

Contoh tanah uji harus dipersiapkan dengan baik, karena proses persiapan tanah uji sangat mempengaruhi pengujian dan hasil yang diperoleh. Contoh tanah yang digunakan dalam penelitian ini yaitu contoh tanah gambut yang berasal dari daerah Duri-Riau. Tanah gambut yang digunakan ini merupakan contoh tanah terganggu (*disturbed samples*). Contoh tanah dikatakan terganggu apabila struktur asli dari tanah tersebut sebagian atau seluruhnya termodifikasi. Dengan penyimpanan yang baik maka kadar air tanah gambut asli dapat dipertahankan.

#### **III.3.1 Pembuatan Contoh Tanah Uji**

Sebelum dilakukan penelitian, maka contoh tanah dijemur dengan cara dihamparkan mencapai kondisi kering udara, hal ini dilakukan karena tanah gambut mempunyai kadar air yang tinggi dan terdapat banyak serat-serat tumbuhan, kadar air diperkirakan sekitar 140%, 160% dan 180%. Lamanya pelaksanaan proses ini tergantung pada kondisi cuaca. Apabila cuaca cukup cerah maka penghamparan benda uji hanya berkisar antara 4-5 hari, tetapi apabila kondisi cuaca lembab maka penghamparan benda uji bisa dilakukan lebih dari 6 hari (1 minggu).

Setelah tanah uji kering udara maka dapat dilakukan penyaringan dengan menggunakan saringan No.4, penyaringan ini dilakukan untuk memisahkan antara serat tumbuhan dan tanah gambut. Tanah yang telah disaring dimasukkan kedalam kantong plastik dan diikat sedemikian rupa agar tidak terjadi penguapan untuk menjaga kadar air tanah gambut tersebut. Karena kadar air dapat berubah-ubah berdasarkan kondisi cuaca.



Gambar 3.2 proses penjemuran tanah uji



Gambar 3.3 Proses penyaringa contoh tanah dengan saringan no.4



Gambar 3.4 contoh tanah uji yang telah disaring

### **III.3.2 Pengujian *Index Properties***

#### *III.3.2.1 Kadar Air*

Kadar air kelembaban (*moisture content*) adalah perbandingan antara massa air dengan massa partikel tanah. Kadar air tanah gambut dapat ditentukan berdasarkan ASTM D 2974-87 dimana contoh tanah dikeringkan didalam oven dengan temperatur 105°C kurang lebih 16 jam atau sampai tidak terjadi lagi perubahan massa dari contoh tanah gambut. Beberapa peneliti telah melakukan pengeringan dengan suhu 60°C dengan waktu pengeringan 16 jam. Karena suhu 60°C dianggap suhu yang sangat ideal dalam menentukan kadar air tanah gambut. Dan juga ada beberapa peneliti yang menggunakan suhu 110 °C, dimana pada suhu ini biasanya menyebabkan material organik contoh tanah menjadi hangus atau akan terjadi oksidasi.



Gambar 3.5 Oven dengan suhu 105°C

Kadar air dapat dihitung dengan menggunakan rumus :

w = kadar air

$w_1$  = berat can + tanah belum dioven

$w_2$  = berat can + tanah kering oven

$w_c$       = berat can

### *III.3.2.2 Specific gravity*

*Specific Gravity* (Gs) dari suatu tanah adalah perbandingan antara berat isi tanah dengan berat isi air pada suhu 4°C. Pengujian *specific gravity* yang dilakukan mengacu pada ASTM D 854-83 dengan menggunakan botol piknometer, contoh tanah yang digunakan adalah contoh tanah yang lolos saringan No. 40 yang telah dilakukan pengeringan oven pada suhu 105°C.

Pada pengujian *Specific Gravity* ini tidak menggunakan air suling melainkan dengan kerosin, karena berat jenis tanah gambut lebih kecil daripada berat jenis air. Sehingga pada saat dilakukan pengujian dengan air suling terdapat kesulitan yaitu contoh tanah tidak dapat tercampur sempurna dengan air (mengapung), dan setelah dipanaskan contoh tanah tidak mengendap pada dasar botol piknometer sehingga sulit untuk dilakukan pengujian.



Gambar 3.6 contoh tanah gambut dalam proses pengujian *specific gravity*

Oleh karena itu, digunakan kerosin dimana berat jenis kerosin lebih rendah dibandingkan dengan berat jenis tanah gambut, sehingga contoh tanah dapat mengendap pada dasar botol piknometer. Sehingga nilai *specific gravity* yang diperoleh harus dikalikan dengan perbandingan antara berat jenis kerosin dengan berat jenis air.

*Specific Gravity* ( $G_s$ ) dapat dihitung dengan menggunakan rumus :

$$w_k = w_s + w_{bk} - w_{bks}$$

*Gs* = nilai *Specific Gravity*

$\alpha$  = faktor koreksi suhu pada saat pengujian dilakukan

$w_s$       ≡ berat tanah kering

$w_k$  = berat korosin yang di pindahkan

$w_{bk}$  = berat botol piknometer + korosine

$w_{bks}$  = berat piknometer + korosin + tan

$\rho_{\text{kerosine}}$  = berat jenis korosine ( $0,8 \text{ gr/cm}^3$ )

$\rho_{\text{air}}$       ≡    berat jenis air (1 gr/cm<sup>3</sup>)

### III.4 PEMADATAN TANAH

Pemadatan contoh tanah gambut yang dilakukan dalam penelitian ini mengacu pada standar AASHTO T 99 (ASTM D 698), yaitu menggunakan pengujian *Standard Proctor*.

Alat yang digunakan untuk pemadatan adalah alat uji *proctor* yang terdiri dari mol dan penumbuk (gambar 3.7). sebelum dilakukan pengujian mol terlebih dahulu dibersihkan dan diolesi dengan oli. Kemudian dimensi diukur dengan menggunakan jangka sorong, pengukuran dilakukan sebanyak tiga kali dan diambil rata-rata. Kemudian timbang mold dan catat. Sampel tanah yang kadar airnya telah di tetapkan di masukkan kedalam mold, dan di padatkan dengan cara menjatuhkan palu sebanyak 25 kali. Dilakukan sebanyak 3 lapisan. Timbang kembali tanah dan mol.



Gambar 3.7 alat uji proctor



Gambar 3.8 tanah gambut yang telah dipadatkan

Untuk penelitian dengan kondisi tanpa siklus, setelah dilakukan pemadatan langsung dilakukan persiapan untuk uji konsolidasi. Sedangkan untuk kondisi siklus dilakukan proses pembasahan (gambar 3.9) yaitu dengan cara direndam selama kurang lebih 6 hari dan pengeringan selama 4 hingga 7 hari (gambar 3.10 - 3.11).



Gambar 3.9 Proses pembasahan tanah gambut setelah dipadatkan



Gambar 3.10 Proses pengeringan tanah gambut



Gambar 3.11 Tanah gambut setelah mengalami proses pengeringan 4 hingga 7 hari

### III.5 PENGUJIAN KONSOLIDASI TANAH

Pengujian konsolidasi dilakukan pada contoh tanah gambut yang telah mengalami pemanasan, pengujian konsolidasi dilakukan pada dua kondisi yang berbeda yaitu kondisi tanpa silkus setelah dipadatkan dan kondisi siklus pembasahan dan pengeringan setelah dipadatkan serta variasi terhadap lamanya periode waktu pembebahan yang dibagi atas dua yaitu periode waktu pembebahan 24 jam dan 72 jam.

Sebelum dilakukannya pengujian konsolidasi tanah yang akan diuji baik dengan atau tanpa siklus harus dilakukan pengecekan terhadap kadar air. Pengecekan kadar air dilakukan pada tiga lapisan tanah yang telah di padatkan. Dan tanah yang akan di cetak untuk uji konsolidasi adalah tanah pada lapisan tengah. Pengujian konsolidasi dilakukan dengan alat *Oedometer* dengan diameter ring rata-rata 6 cm. Setiap periode waktu pembebahan dilakukan penambahan beban (loading) yang dimulai dari beban 0.333 kg atau 1 kPa, 3 kPa, 6 kPa, 13 kPa, 25 kPa, 50 kPa, dan 101 kPa. Kemudian dilakukan penurunan beban (unloading) dari 101 kPa hingga 3 kPa. Setelah dilakukannya *unloading*, tanah gambut di keluarkan dari alat Oedometer kemudian dicari kadar air setelah dilakukannya proses konsolidasi. Untuk satu benda uji proses pengujian konsolidasi membutuhkan waktu minimal 15 hari.



Gambar 3.12 alat Oedometer



---

**BAB IV**

**METODE PENELITIAN**

---

## **BAB IV**

### **HASIL DAN ANALISA**

#### **IV.1 PENDAHULUAN**

Hasil pengujian kompresibilitas tanah gambut desa Duri-Riau akibat siklus pembasahan dan pengeringan setelah dipadatkan akan diberikan dibawah ini. Pemadatan (*compaction*) dilakukan dengan uji *Proctor* dan untuk kompresi dilakukan dengan uji Konsolidasi standar dengan alat *Oedometer*. Pengujian kompresi ini dilakukan pada kadar air pemasatan 140 %, 160 %, dan 180 %. Pada tiap kadar air pemasatan yang berbeda, dilakukan tiga kondisi pengujian kompresi tanah gambut. Yaitu kondisi tanpa siklus pembasahan dan pengeringan setelah di padatkan dengan periode pembebahan 24 jam, kondisi dengan siklus pembasahan dan pengeringan dengan periode pembebahan 24 jam, serta kondisi dengan siklus pembasahan dan pengeringan dengan periode pembebahan 72 jam. Proses pembasahan dilakukan dengan cara merendam tanah dalam cetakan *compaction* kedalam air selama beberapa hari, dari pengujian yang telah dilakukan perendaman dilakukan selama 4 hingga 7 hari. Sedangkan proses pengeringan dilakukan dengan cara membiarkan hasil tanah *compact* yang telah dilakukan perendaman pada suhu ruang selama beberapa hari (4 hingga 7 hari). Pembebahan (*loading*) yang diberikan pada tegangan 1 kPa, 3 kPa, 6 kPa, 13 kPa, 25 kPa, 50 kPa dan 101 kPa dan periode pembebahan yang dilakukan selama 24 jam dan 72 jam pada setiap kadar air pemasatan.

## **IV.2 PENGARUH PEMBEBANAN TERHADAP PENURUNAN DAN REGANGAN (STRAIN) DARI HASIL UJI KONSOLIDASI (KURVA KONSOLIDASI).**

### **IV.2.1 Pengaruh Pembebanan Terhadap Penurunan**

Besar penurunan yang terjadi berdasarkan pada pembacaan akhir pada masing-masing periode pembebangan (24 jam dan 72 jam) dan juga berdasarkan pada kondisi tanah pengujian yang berbeda-beda (tanpa siklus dan dengan siklus) setelah dilakukan pemanatan. Pembebangan dilakukan secara bertahap sesuai dengan penambahan pembebangan dalam tiap periode waktu pembebanannya.

Pembacaan penurunan yang dihasilkan dari uji konsolidasi digambarkan dalam hubungan penurunan dengan log waktu. Ditinjau dari besarnya penurunan untuk masing-masing pembebangan, maka pembebangan yang kecil akan memberikan penurunan yang kecil, demikian juga untuk pembebangan yang besar akan memberikan penurunan yang besar.

#### ***IV.2.1.1 Penurunan dan kurva konsolidasi (penurunan terhadap log waktu) pada kadar air 140 %***

Hasil uji konsolidasi dengan variasi tanpa dan dengan siklus pembasahan dan pengeringan setelah dipadatkan serta dengan variasi periode waktu pembebangan diberikan pada tabel IV.1 menampilkan persentase penurunan yang terjadi pada kondisi tanpa dan dengan siklus untuk periode pembebangan 24 jam pada tegangan 1 kPa hingga 50 kPa memberikan persentase penurunan yang tidak jauh berbeda, sedangkan pada pembebangan yang besar 101 kPa persentase penurunan yang terjadi lebih besar. Jika ditinjau dari kondisi siklus dengan variasi periode pembebangan 24 jam dan 72 jam, maka pada tegangan 6kPa hingga 101 kPa perbedaan persentase penurunan telah cukup signifikan.

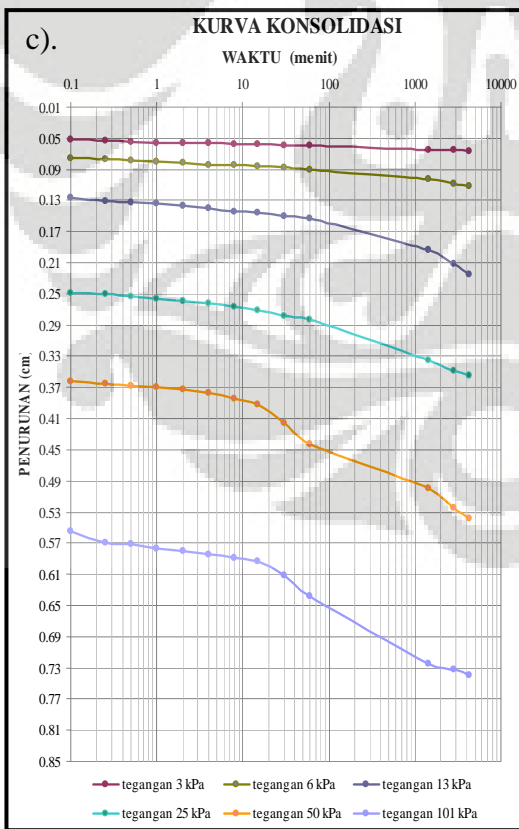
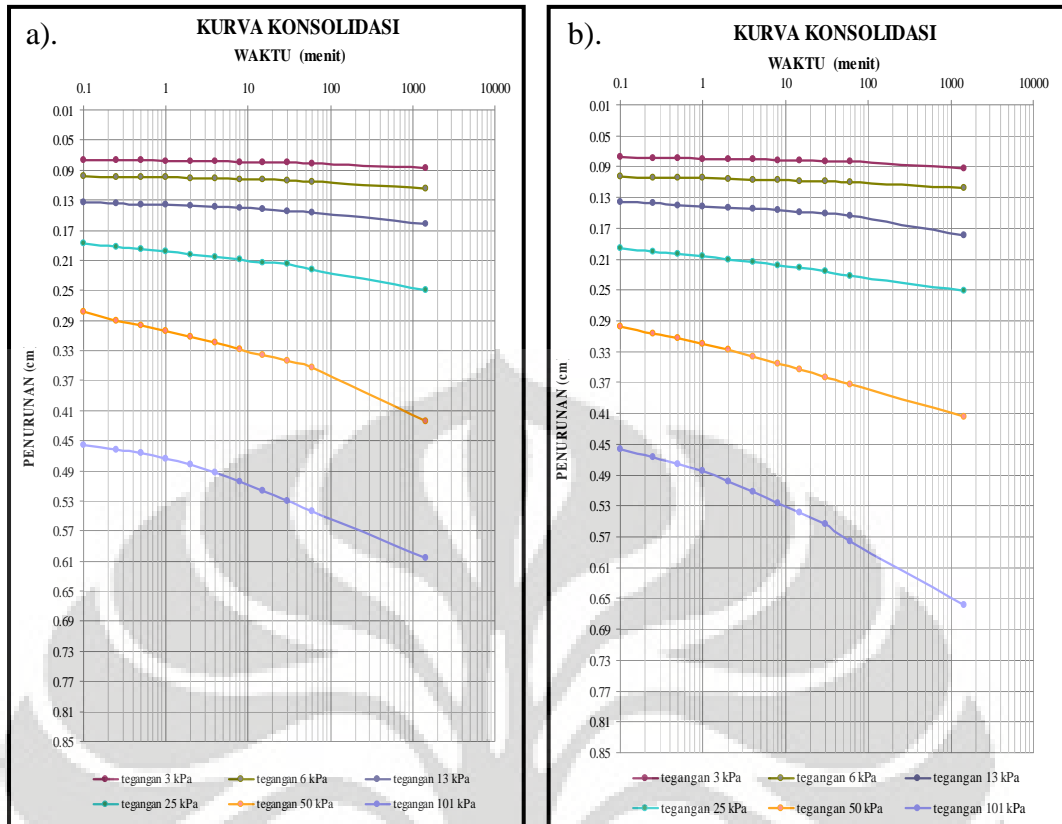
Penurunan yang dihasilkan pada kondisi tanpa dan dengan siklus akan berbeda. Pada kondisi tanpa siklus penurunan yang terjadi lebih kecil dari pada penurunan yang terjadi pada kondisi siklus, hal ini terjadi karena pada kondisi siklus terjadi pemambahan air pori (kadar air) sehingga proses pengeluaran air pori akan lebih besar, sehingga penurunannya juga akan semakin besar. Hal tersebut menunjukkan bahwa semakin besar pembebangan yang diberikan maka semakin besar penurunan yang terjadi.

Tabel IV.1 Persentase penurunan akhir konsolidasi tanah gambut pada kadar air 140 %

| Tegangan (kPa)                        | Tanpa siklus - 24 jam | Siklus - 24 jam | Siklus - 72 jam |
|---------------------------------------|-----------------------|-----------------|-----------------|
|                                       | Tinggi Awal (cm)      |                 |                 |
|                                       | 1,96                  | 1,96            | 2               |
| Penurunan tiap periode pembebahan (%) |                       |                 |                 |
| 1                                     | 1,061                 | 0,929           | 0,730           |
| 3                                     | 1,143                 | 1,327           | 1,030           |
| 6                                     | 1,403                 | 1,306           | 2,238           |
| 13                                    | 2,403                 | 3,107           | 5,663           |
| 25                                    | 4,469                 | 3,684           | 6,510           |
| 50                                    | 8,867                 | 8,306           | 9,125           |
| 101                                   | 9,291                 | 12,515          | 10,060          |
| Penurunan total ( % )                 | 28,64                 | 31,17           | 35,36           |
| Penurunan total ( cm )                | 0,56                  | 0,61            | 0,71            |

Ditinjau dari periode pembebanannya, pada periode pembebanan 72 jam penurunan yang terjadi lebih besar dari pada penurunan yang terjadi pada periode pembebanan 24 jam, dapat dinyatakan bahwa semakin lama periode pembebanan maka semakin besar penurunan yang terjadi. Akibat pembebanan yang diberikan lebih lama maka ruang pori didalam tanah semakin termampatkan, sehingga penurunan yang terjadi semakin besar.

Kurva konsolidasi (penurunan terhadap log waktu) untuk pembebanan dari 1 kPa hingga 101 kPa pada contoh tanah gambut desa Duri-Riau pada kadar air pemasatan 140% untuk kondisi tanpa siklus pembasahan dan pengeringan (gambar 4.1) menunjukkan bahwa pada saat pembebanan kecil antara 1 kPa hingga 6 kPa maka kurva konsolidasi relatif landai, untuk beban antara 13 kPa dan 25 kPa bentuk kurva mulai meningkat (terjadi peningkatan penurunan) sedangkan pada pembebanan yang besar (antara 50 kPa dan 101 kPa), penurunan yang terjadi menjadi lebih besar. Begitu juga kurva yang dihasilkan pada kondisi siklus dengan variasi periode waktu pembebanan 24 jam dan 72 jam (gambar 4.2 dan 4.3), yang membedakan hanya pada besarnya penurunan yang terjadi.



- Gambar 4.1 Kurva konsolidasi dengan kadar air pemasatan 140 % kondisi tanpa siklus setelah dipadatkan periode pembebasan 24 jam.
- Gambar 4.2 Kurva konsolidasi dengan kadar air pemasatan 140 % kondisi siklus pembasahan dan pengeringan setelah dipadatkan periode pembebasan 24 jam.
- Gambar 4.3 Kurva konsolidasi dengan kadar air pemasatan 140 % kondisi siklus pembasahan dan pengeringan setelah dipadatkan periode pembebasan 72 jam.

Kurva konsolidasi tanah gambut desa Duri-Riau dengan kadar air pemandatan 140 % dengan pembebangan dan durasi pembebangan yang sama dapat dinyatakan bahwa bentuk kurva yang terjadi relatif sama. Perbedaan yang terjadi dapat terlihat dari total penurunan, pada kondisi tanpa siklus total penurunan adalah 0,56 cm atau 28,64% dari tinggi awal 1,96 cm, sedangkan kondisi siklus pembasahan dan pengeringan setelah dipadatkan penurunan yang terjadi tidak jauh berbeda yaitu 0,61 cm atau 31,17 % dari tinggi benda uji 1,96 cm. Untuk pembebangan 72 jam penurunan total adalah 35,36% dari tinggi total 2 cm.

Dari total persentase penurunan yang terjadi, untuk kondisi siklus pembasahan dan pengeringan persentase penurunan yang terjadi lebih besar dibandingkan dengan kondisi tanpa siklus, hal ini terjadi karena pada kondisi siklus pembasahan dan pengeringan telah terjadi penambahan kadar air (158,77 % dan 164,25 %) yaitu dari kondisi awalnya 140 %, pada saat diberikan pembebangan yang sama maka kondisi dengan siklus pembasahan dan pengeringan akan terjadi pengeluaran air pori yang lebih banyak sehingga penurunan yang terjadi lebih besar.

#### ***IV.2.1.2 Penurunan dan kurva konsolidasi (penurunan terhadap log waktu) pada kadar air 160 %***

Akibat dari pembebangan akan memberikan dampak terhadap besaran penurunan yang terjadi, semakin besar pembebangan dan periode pembebangan maka semakin besar penurunan yang terjadi. Hal ini dapat dilihat dari tabel pembacaan akhir dari tiap periode pembebangan dibawah ini.

Untuk kondisi tanpa siklus persentase total penurunan yang terjadi adalah 31,3 % sedangkan rata-rata persentase total penurunan yang terjadi dengan kondisi siklus pembasahan dan pengeringan akibat pembebangan 1 kPa hingga 101 kPa adalah 36,8 %. Jika dilihat pada persentase penurunan kondisi siklus pembasahan dan pengeringan setelah dipadatkan dengan kondisi kadar air pemandatan yang sama persentase penurunan yang terjadi lebih besar dibandingkan dengan persentase penurunan pada kondisi tanpa siklus.

Tabel IV.2 Persentase penurunan akhir konsolidasi tanah gambut pada kadar air 160 %

| Tegangan (kPa)                        | Tanpa siklus     | Siklus - 24 jam | Siklus B-K-B* - 24 jam | Siklus - 72 jam |
|---------------------------------------|------------------|-----------------|------------------------|-----------------|
|                                       | Tinggi Awal (cm) |                 |                        |                 |
|                                       | 2                | 1,932           | 1,95                   | 2               |
| Penurunan tiap periode pembebahan (%) |                  |                 |                        |                 |
| 1                                     | 0,070            | 0,331           | 0,841                  | 0,73            |
| 3                                     | 0,830            | 1,610           | 1,451                  | 1,915           |
| 6                                     | 1,850            | 2,262           | 2,349                  | 1,805           |
| 13                                    | 4,095            | 3,954           | 4,046                  | 3,11            |
| 25                                    | 4,805            | 7,847           | 5,946                  | 6,64            |
| 50                                    | 9,580            | 9,513           | 10,326                 | 10,72           |
| 101                                   | 10,070           | 11,957          | 11,344                 | 11,69           |
| Penurunan total ( % )                 | 31,30            | 37,47           | 36,30                  | 36,61           |
| Penurunan total ( cm )                | 0,63             | 0,72            | 0,71                   | 0,73            |

Ket : B-K-B\* basah-kering-basah

Bentuk kurva konsolidasi penurunan terhadap waktu yang dihasilkan tanah gambut desa Duri-Riau pada kadar air pemanjatan 160 % sama dengan bentuk kurva yang dihasilkan pada kadar air pemanjatan 140 % sebelumnya (gambar 4.1 ; 4.2 ; 4.3) yang membedakan hanya pada besarnya penurunan yang terjadi. (kurva terlampir). Dari kurva konsolidasi tersebut (terlampir) dapat dinyatakan bahwa kurva yang dihasilkan pada empat kondisi yang berbeda memberikan bentuk kurva yang sama. Tetapi mempunyai nilai penurunan yang berbeda.

#### ***IV.2.1.3 Penurunan dan Kurva Konsolidasi (penurunan terhadap log waktu) pada kadar air 180 %***

Sama dengan dua kondisi diatas untuk kadar air pemanjatan 180 % bentuk kurva (terlampir) yang dihasilkan adalah sama. Yaitu pada pembebahan yang kecil maka penurunan akan kecil sehingga bentuk kurva yang dihasilkan relatif landai, seiring dengan peningkatan beban (loading) maka penurunan yang dihasilkan mulai meningkat sehingga kurva yang dihasilkan juga semakin curam dan pada pembebahan yang besar ( 50 kPa hingga 101 kPa) terlihat kurva akan

semakin menurun tajam (penurunan yang terjadi menjadi lebih besar). Besarnya persentase penurunan yang terjadi akan diberikan pada tabel dibawah ini.

Tabel IV.3 Persentase Penurunan akhir konsolidasi tanah gambut pada kadar air 180 %

| Tegangan (kPa)                        | Tanpa siklus     | Siklus - 24 jam | Siklus - 72 jam |
|---------------------------------------|------------------|-----------------|-----------------|
|                                       | Tinggi Awal (cm) |                 |                 |
|                                       | 2,045            | 1,955           | 2,075           |
| Penurunan tiap periode pembebatan (%) |                  |                 |                 |
| 1                                     | 0,411            | 1,095           | 1,041           |
| 3                                     | 1,076            | 2,332           | 1,905           |
| 6                                     | 2,430            | 1,437           | 2,394           |
| 13                                    | 4,171            | 3,913           | 5,872           |
| 25                                    | 6,122            | 6,465           | 6,176           |
| 50                                    | 10,156           | 11,555          | 11,846          |
| 101                                   | 10,039           | 10,757          | 9,457           |
| Penurunan total ( % )                 | 34,41            | 37,55           | 38,69           |
| Penurunan total ( cm )                | 0,70             | 0,73            | 0,80            |

#### IV.2.2 Pengaruh Pembebaan Terhadap Regangan (*Strain*)

Dari perubahan tebal contoh tanah ( $\Delta H$ ) per tebal contoh tanah awal ( $H_0$ ), dapat dihitung besarnya regangan yang terjadi ( $\epsilon$ ) pada masing-masing pembebaan baik pada kondisi tanpa siklus maupun kondisi siklus pembasahan dan pengeringan setelah dipadatkan pada periode pembebaan 24 jam maupun 72 jam. Regangan yang terjadi pada tanah gambut yang dibebani identik dengan settlement (penurunan) dari tanah gambut tersebut.

##### IV.2.2.1 Regangan dan kurva konsolidasi (regangan terhadap log waktu) pada kadar air 140 %

Dari hasil pembacaan penurunan konsolidasi dapat ditentukan regangan yang terjadi. Pada tabel IV.4 dapat dilihat pengaruh tegangan terhadap besarnya regangan yang terjadi. Disini dapat dilihat bahwa pada kondisi tanpa ataupun dengan siklus pada periode waktu pembebaan 24 jam pada tegangan 1 kPa hingga 50 kPa selisih regangan yang dihasilkan relatif sama, terjadi sedikit perbedaan pada tegangan yang lebih besar (101 kPa), regangan yang dihasilkan

pada kondisi siklus lebih besar. Untuk kondisi siklus pada variasi waktu pembebahan 24 jam dan 72 jam, regangan yang dihasilkan pada periode waktu pembebahan 72 jam lebih besar dari pada regangan yang terjadi pada kondisi periode waktu pembebahan 24 jam. Hal ini dapat di lihat dari tabel dibawah ini.

Tabel IV.4 Regangan akhir tanah gambut pada kadar air pemandatan 140 %

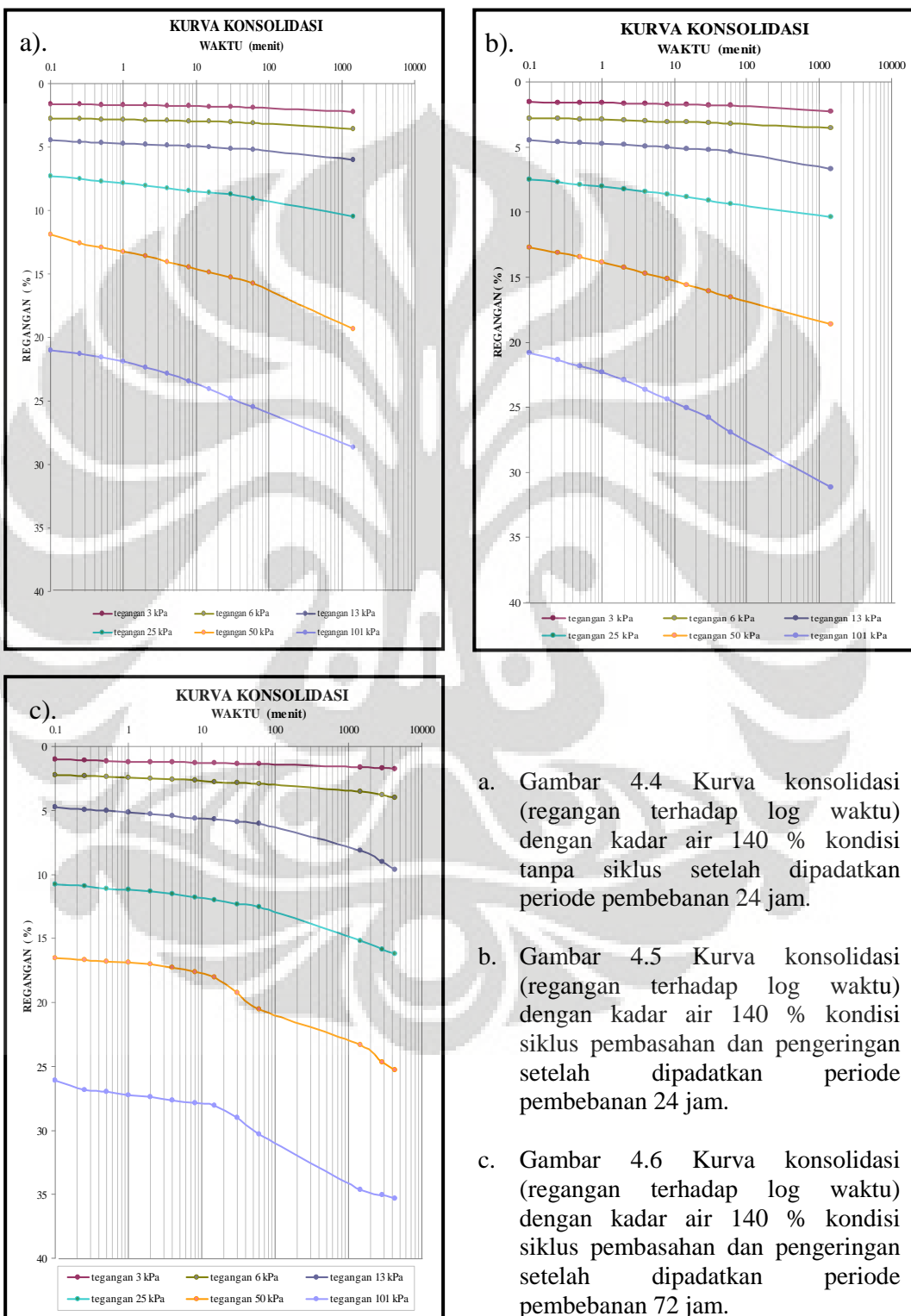
| Tegangan (kPa) | Regangan, $\epsilon$ (%) |                |                |
|----------------|--------------------------|----------------|----------------|
|                | Tanpa Siklus             | Siklus -24 jam | Siklus- 72 jam |
| 1              | 1.06                     | 0.9            | 0.73           |
| 3              | 2.20                     | 2.3            | 1.76           |
| 6              | 3.61                     | 3.6            | 4.00           |
| 13             | 6.01                     | 6.7            | 9.66           |
| 25             | 10.48                    | 10.4           | 16.17          |
| 51             | 19.35                    | 18.7           | 25.30          |
| 101            | 28.64                    | 31.2           | 35.36          |

Kurva konsolidasi hubungan regangan dan log waktu, dari pembebahan yang dilakukan memberikan bentuk kurva yang sama dengan kurva hubungan penurunan dan log waktu. Pada pembebahan kecil kurva relatif landai, seiring dengan peningkatan pembebahan maka regangan yang dihasilkan juga semakin meningkat. Dari grafik hubungan antara regangan terhadap log waktu dapat diketahui pemampatannya. Kurva konsolidasi hubungan regangan (*strain*) dan log waktu kondisi tanpa siklus dan siklus pembasahan dan pengeringan setelah di padatkan mempunyai perilaku yang sama.

Pada umumnya kurva regangan berubah membentuk garis lengkung pada menit-menit awal pembebahan dan kemudian regangan berubah berlahan-lahan sampai konstan. Ini menunjukkan bahwa pada umumnya tanah gambut begitu mengalami pembebahan, maka langsung terpengaruh pada pemampatannya dan setelah beberapa lama kemudian pemampatannya menjadi konstan.

Pada gambar 4.4 dan 4.5 dapat dilihat bahwa pada tegangan yang diberikan 3 kPa hingga 101 kPa mempunyai kecendrungan yang sama yaitu berubah secara linier yang merupakan garis lurus dan sulit dipisahkan batas pemampatan primer dan pemampatan skunder. Disebabkan beban yang diberikan relatif rendah belum melampaui kekuatan dari serat yang ada sehingga mekanisme pengeluaran air pori

belum berlangsung sempurna. Periode pembebanan 72 jam dilakukan untuk melihat kecenderungan kurva konsolidasi sekunder yang diperoleh dari pemberian beban. Pada gambar 4.6 kurva konsolidasi sekunder baru terlihat pada tegangan 50 Kpa. Sedangkan kurva konsolidasi tersier belum terlihat.



- Gambar 4.4 Kurva konsolidasi (regangan terhadap log waktu) dengan kadar air 140 % kondisi tanpa siklus setelah dipadatkan periode pembebanan 24 jam.
- Gambar 4.5 Kurva konsolidasi (regangan terhadap log waktu) dengan kadar air 140 % kondisi siklus pembasahan dan pengeringan setelah dipadatkan periode pembebanan 24 jam.
- Gambar 4.6 Kurva konsolidasi (regangan terhadap log waktu) dengan kadar air 140 % kondisi siklus pembasahan dan pengeringan setelah dipadatkan periode pembebanan 72 jam.

#### **IV.2.2.2 Regangan dan kurva konsolidasi (regangan terhadap log waktu) pada kadar air 160 %**

Pada kadar air 160 % dilakukan empat kondisi yaitu kondisi tanpa siklus periode 24 jam, kondisi siklus setelah dipadatkan dengan periode waktu pembebahan 24 jam, kondisi siklus pembasahan – pengeringan – pembasahan kembali dengan periode waktu pembebahan 24 jam dan yang terakhir kondisi siklus setelah dipadatkan dengan periode waktu pembebahan 72 jam.

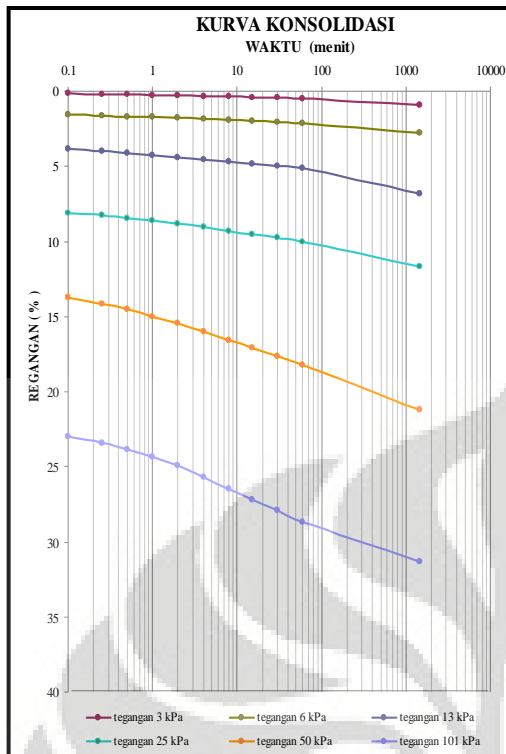
Hasil pembacaan pembebahan 1 kPa hingga 101 kPa akan memberikan suatu perubahan tinggi contoh tanah terhadap tinggi mula-mula, hal ini dinyatakan sebagai regangan. Dari hasil uji konsolidasi regangan akhir tiap periode waktu pembebahan dengan berbagai kondisi yang telah disebutkan diatas akan disajikan dalam tabel dibawah ini.

Tabel IV.5 Regangan akhir tanah gambut pada kadar air pemandatan 160 %

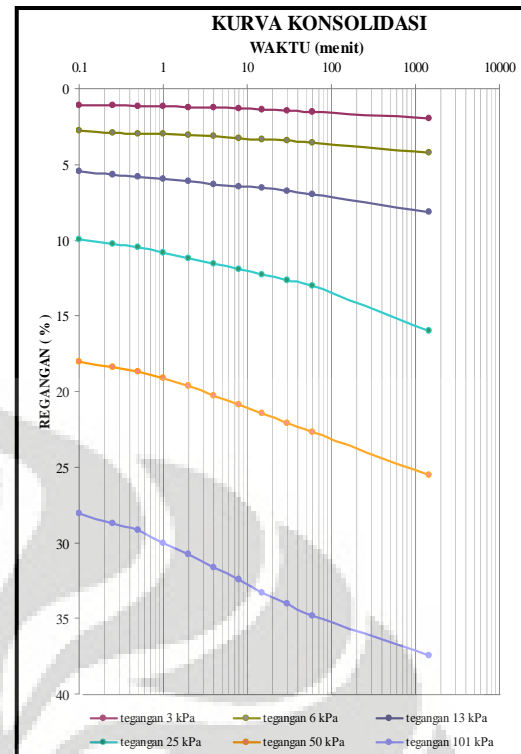
| Tegangan (kPa) | Regangan, $\epsilon$ ( % ) |                |                       |                |
|----------------|----------------------------|----------------|-----------------------|----------------|
|                | Tanpa Siklus               | Siklus -24 jam | Siklus B-K-B*- 24 jam | Siklus -72 jam |
| 1              | 0.07                       | 0.33           | 0.84                  | 0.73           |
| 3              | 0.90                       | 1.94           | 2.29                  | 2.65           |
| 6              | 2.75                       | 4.20           | 4.64                  | 4.45           |
| 13             | 6.85                       | 8.16           | 8.69                  | 7.56           |
| 25             | 11.65                      | 16.00          | 14.63                 | 14.20          |
| 51             | 21.23                      | 25.52          | 24.96                 | 24.92          |
| 101            | 31.30                      | 37.47          | 36.30                 | 36.61          |

\* Basah-kering-Basah

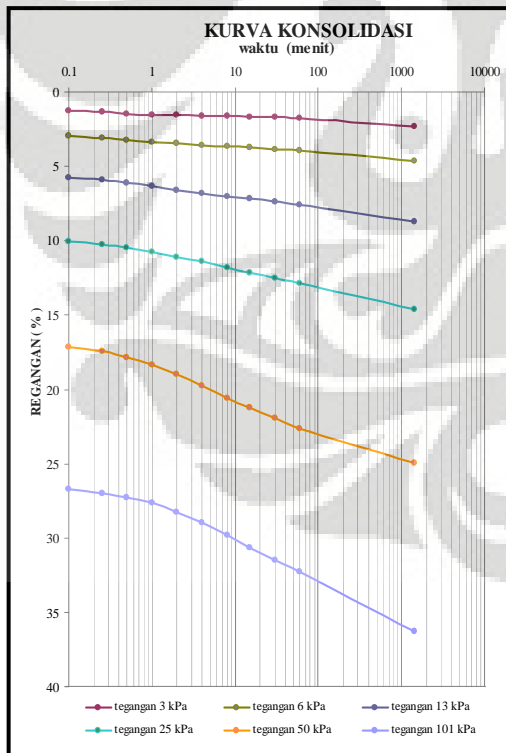
Dari tabel IV.5 di atas dapat diketahui bahwa regangan akhir ( tegangan 101 kPa) yang terjadi untuk kondisi tanpa siklus lebih kecil jika dibandingkan dengan kondisi siklus pada periode pembebahan 24 jam. Sedangkan pada kondisi siklus pada periode 24 jam regangan yang terjadi lebih besar dibandingkan regangan yang terjadi pada 72 jam. Hal ini dikarenakan pada kondisi 72 jam penurunan yang terjadi tidak terlalu besar, rongga-rongga yang terisi oleh udara maupun air telah cukup termampatkan pada periode pembebahan 24 jam. Kurva konsolidasi hubungan regangan dan log waktu akan diberikan dibawah ini.



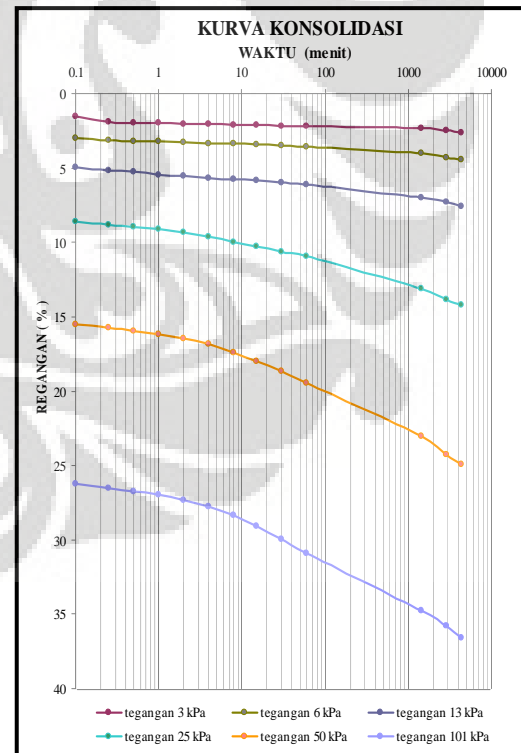
Gambar 4.7 Kurva konsolidasi (regangan terhadap log waktu) dengan kadar air 160 % kondisi tanpa siklus setelah dipadatkan periode pembebahan 24 jam.



Gambar 4.8 Kurva konsolidasi (regangan terhadap log waktu) dengan kadar air 160 % kondisi siklus pembasahan dan pengeringan setelah dipadatkan periode pembebahan 24 jam.



Gambar 4.9 Kurva konsolidasi (regangan terhadap log waktu) dengan kadar air 160 % kondisi siklus pembasahan-pengeringan-pembasahan kembali periode pembebahan 24 jam.



Gambar 4.10 Kurva konsolidasi (regangan terhadap log waktu) dengan kadar air 160 % kondisi siklus pembasahan dan pengeringan setelah dipadatkan periode pembebahan 72 jam.

Pada kurva regangan terhadap log waktu yang disajikan pada gambar 4.7 hingga gambar 4.8 memberikan suatu fenomena yang sama yaitu pada tegangan 3 kPa hingga 50 kPa kurva yang terbentuk berupa garis lurus atau perubahan regangan yang terjadi akibat pembebahan adalah linier. Kondisi ini menyebabkan tidak terlihatnya suatu batasan antara pemampatan primer dan sekunder. Dimulai dari tegangan 101 kPa bentuk kurva mulai menunjukkan perubahan bentuk garis lengkung.

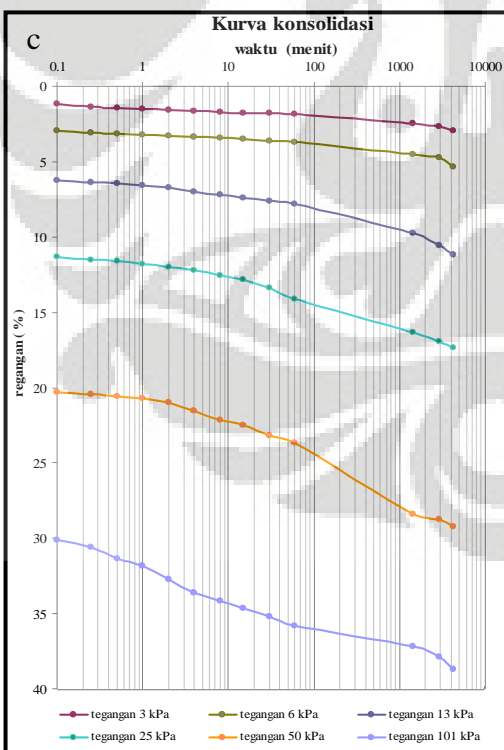
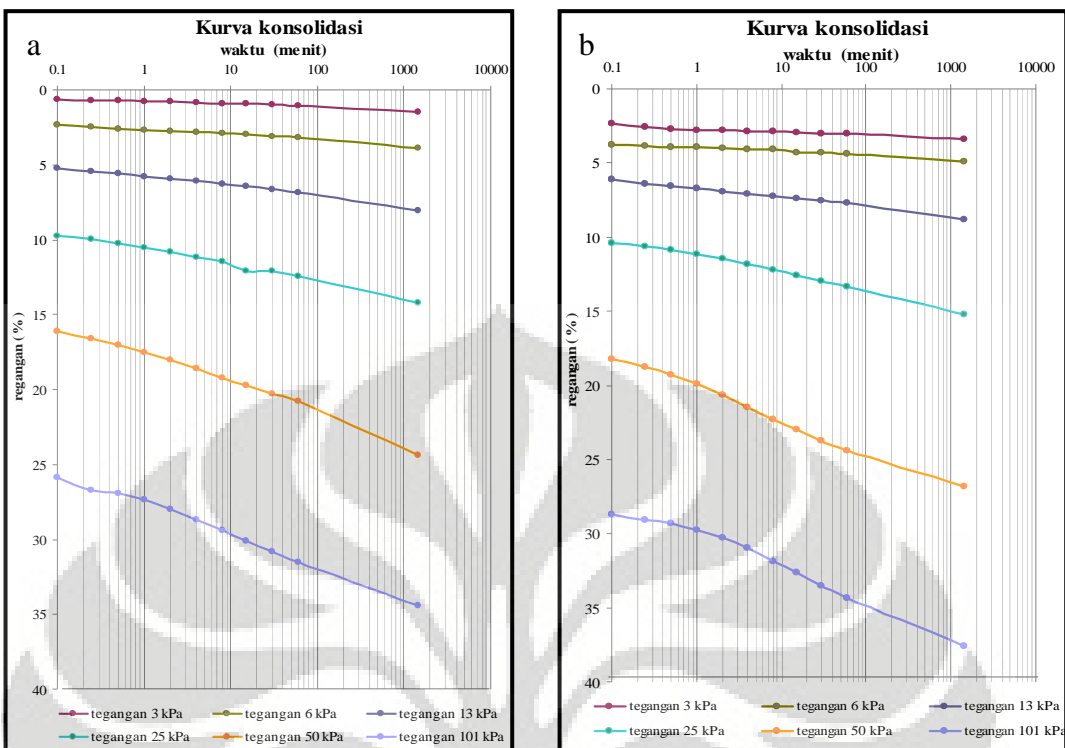
Pada gambar 4.8 dan gambar 4.9 perubahan tersebut telah terlihat pada tegangan 50 kPa. Yang terjadi pada menit-menit awal dan pada menit-menit selanjutnya kecepatan pemampatan berubah secara linier. Sehingga dapat ditentukan batas antara pemampatan primer dan pemampatan sekunder.

#### ***IV.2.2.3 Regangan dan kurva konsolidasi (regangan terhadap log waktu) pada kadar air 180 %***

Sama dengan kondisi diatas, regangan pada kondisi kadar air 180% juga mengalami hal yang sama yaitu pada kondisi siklus pembasahan dan pengeringan setelah dipadatkan regangan yang terjadi akibat pemberian beban lebih besar dibandingkan dengan kondisi tanpa siklus. Sedangkan bentuk kurva yang dihasilkan juga tidak berbeda yaitu relatif landai untuk pembebahan (tegangan) kecil dan terus meningkat seiring dengan meningkatnya pembebahan.

Tabel IV.6 Regangan akhir tanah gambut pada kadar air pemedatan 180 %

| Tegangan (kPa) | Regangan, $\varepsilon$ ( % ) |                |                |
|----------------|-------------------------------|----------------|----------------|
|                | Tanpa Siklus                  | Siklus -24 jam | Siklus- 72 jam |
| 1              | 0.41                          | 1.09           | 1.04           |
| 3              | 1.49                          | 3.43           | 2.95           |
| 6              | 3.92                          | 4.86           | 5.34           |
| 13             | 8.09                          | 8.78           | 11.21          |
| 25             | 14.21                         | 15.24          | 17.39          |
| 51             | 24.37                         | 26.80          | 29.23          |
| 101            | 34.41                         | 37.55          | 38.69          |



- Gambar 4.11 Kurva konsolidasi (regangan terhadap log waktu) dengan kadar air 180 % kondisi tanpa siklus setelah dipadatkan periode pembebanan 24 jam.
- Gambar 4.12 Kurva konsolidasi (regangan terhadap log waktu) dengan kadar air 180 % kondisi siklus pembasahan dan pengeringan setelah dipadatkan periode pembebanan 24 jam.
- Gambar 4.13 Kurva konsolidasi (regangan terhadap log waktu) dengan kadar air 180 % kondisi siklus pembasahan dan pengeringan setelah dipadatkan periode pembebanan 72 jam.

### **IV.3 PERILAKU KOMPRESIBILITAS (KURVA KOMPRESI)**

Kompresibilitas tanah gambut dapat diketahui dengan melihat dan mempelajari perilaku dari kurva angka pori terhadap tegangan. Dari kurva tersebut, didapat nilai *Compression Index* ( $C_c$ ) yang merupakan kemiringan dari bagian linier kurva asli (*virgin curve*) pada tahap kompresi.

Sifat mudah termampatkan pada tanah gambut dapat diketahui dari kurva kompresi. Bentuk kurva kompresi yang dihasilkan dari contoh tanah gambut Duri-Riau pada kondisi yang berbeda yaitu kondisi tanpa siklus dan kondisi siklus pembasahan dan pengeringan setelah dipadatkan dengan kadar air pemandatan 140 %, 160 % dan 180 % mempunyai bentuk kurva yang sama, yang merupakan garis lengkung yang cembung.

#### **IV.3.1 Kurva Kompresi Tanah Gambut desa Duri-Riau Pada Kondisi Kadar Air Pemandatan 140% .**

Pada tabel IV.7 kadar air 140 % dapat dilihat bahwa semakin besar pembebanan (tekanan) yang diberikan maka terjadi penurunan angka pori (angka pori semakin kecil), hal ini disebabkan karena ruang pori semakin mengecil sejalan dengan penambahan beban atau tegangan. Hal ini dapat dinyatakan bahwa untuk pembebanan yang lebih besar akan mengakibatkan perubahan angka pori yang lebih besar. Dan pada saat dilakukan pengambilan beban (unloading) maka angka pori akan kembali naik. Besarnya tegangan yang diberikan akan mempengaruhi besarnya perubahan angka pori. Semakin besar tegangan yang diberikan maka angka pori juga akan semakin mengecil. Perubahan angka pori yang dihasilkan siklus lebih besar dibandingkan dengan tanpa siklus tetapi perbedaan perubahan angka pori yang terjadi tidak terlalu signifikan.

Nilai  $C_c$  yang dihasilkan antara dua kondisi yang berbeda yaitu kondisi tanpa siklus dan kondisi siklus pembasahan dan pengeringan setelah dipadatkan periode pembebanan 24 jam, maka nilai  $C_c$  yang dihasilkan dari kondisi siklus lebih besar dibandingkan kondisi tanpa siklus, ini disebabkan oleh naiknya kadar air (penambahan air) pada saat tanah di lakukan perendaman beberapa hari, sehingga rongga-rongga yang kosong pada saat belum terendam akan terisi oleh air.

Pada pengujian yang telah dilakukan penambahan air tersebut rata-rata berkisar 7,5 % dari berat tanah awal, kemudian dilakukan pengeringan dan tanah mengalami pengurangan air rata-rata berkisar 3,8 %, tetapi pengurangan ini tidak terlalu signifikan. sehingga rongga-rongga yang telah terisi air sebahagian tetap dalam keadaan jenuh. Pada saat dilakukannya uji konsolidasi tanah yang mengalami siklus pembasahan dan pengeringan akan memiliki sifat kompresibilitas yang tinggi atau lebih mudah termampatkan.

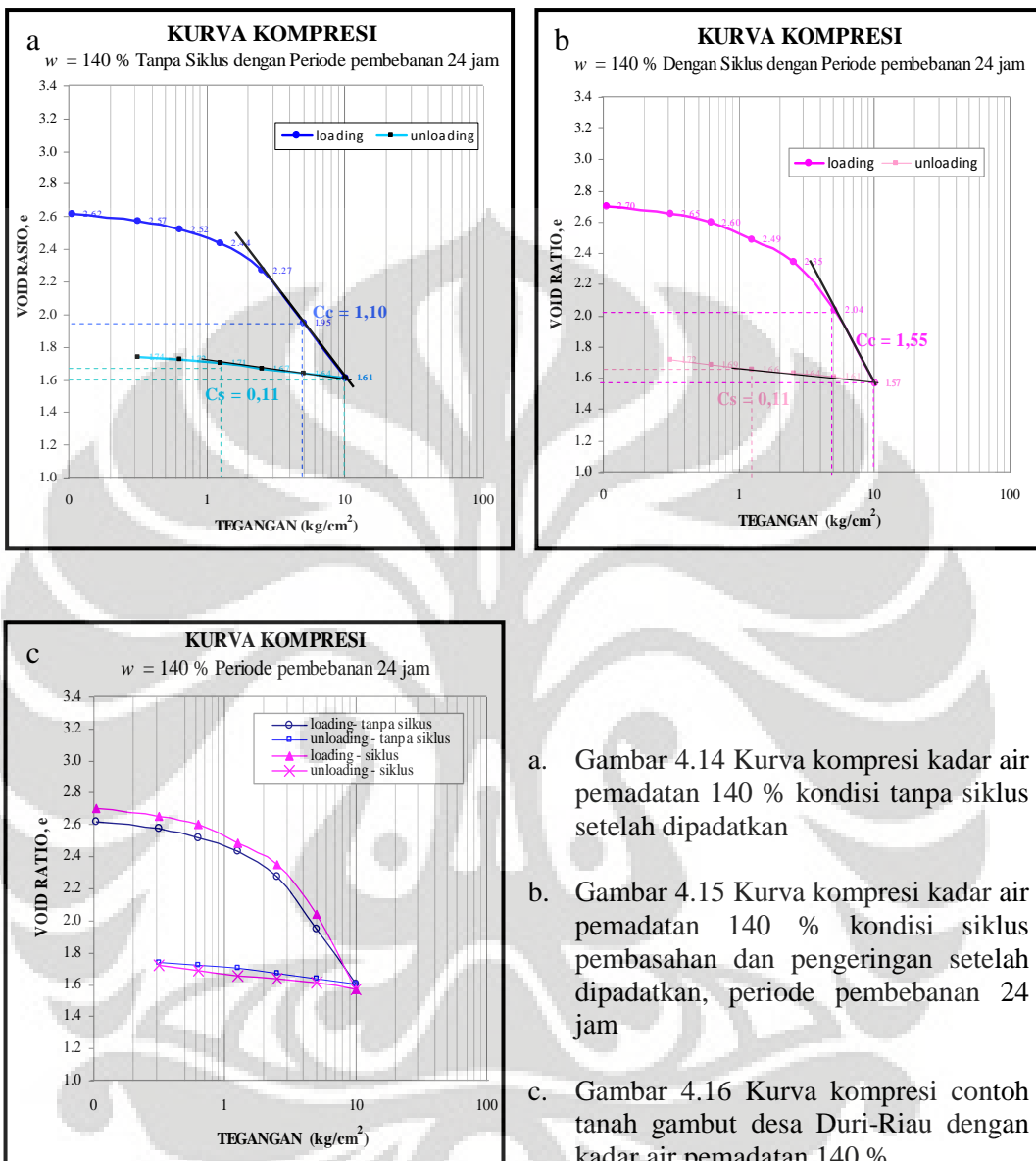
Tabel IV.7 Angka pori akhir tanah gambut pada kadar air pemandatan 140 %

| Tegangan<br>(kPa) | e ( angka pori )       |            |               |            |
|-------------------|------------------------|------------|---------------|------------|
|                   | Tanpa Siklus<br>24 jam | $\Delta e$ | Siklus 24 jam | $\Delta e$ |
| 0                 | 2.655                  | 0.000      | 2.737         | 0.000      |
| 1                 | 2.616                  | 0.039      | 2.702         | 0.035      |
| 3                 | 2.574                  | 0.042      | 2.653         | 0.050      |
| 6                 | 2.523                  | 0.051      | 2.604         | 0.049      |
| 13                | 2.435                  | 0.088      | 2.488         | 0.116      |
| 25                | 2.272                  | 0.163      | 2.350         | 0.138      |
| 51                | 1.948                  | 0.324      | 2.040         | 0.310      |
| 101               | 1.608                  | 0.340      | 1.572         | 0.468      |
| 51                | 1.640                  | 0.031      | 1.612         | 0.040      |
| 25                | 1.670                  | 0.030      | 1.636         | 0.024      |
| 13                | 1.706                  | 0.036      | 1.655         | 0.019      |
| 6                 | 1.723                  | 0.018      | 1.686         | 0.031      |
| 3                 | 1.742                  | 0.019      | 1.722         | 0.036      |

Kadar air awal pada kondisi tanpa siklus sebelum dilakukannya pemandatan adalah 144 % dan setelah dilakukannya pemandatan kadar air turun menjadi 141 %. Pada kondisi siklus pembasahan dan pengeringan setelah dipadatkan pada periode pembebahan 24 jam dilakukan perendaman selama 6 hari dan pengeringan 4 hari dengan dilakukannya siklus ini maka kadar air awal 143 % naik menjadi 164%.

Dari gambar 4.14 kurva kompresi tanah gambut kadar air pemandatan 140% untuk kondisi tanpa siklus setelah dipadatkan nilai Cc yang dihasilkan adalah 1,10. kondisi siklus pembasahan dan pengeringan setelah dipadatkan pada periode pembebahan 24 jam (gambar 4.15) adalah 1,55. Indek *swelling* yang

dihasilkan akibat dari penurunan beban pada kondisi tanpa dan dengan siklus pada periode waktu pembebanan 24 jam adalah 0,11.



- a. Gambar 4.14 Kurva kompresi kadar air pemasatan 140 % kondisi tanpa siklus setelah dipadatkan
- b. Gambar 4.15 Kurva kompresi kadar air pemasatan 140 % kondisi siklus pembasahan dan pengeringan setelah dipadatkan, periode pembebanan 24 jam
- c. Gambar 4.16 Kurva kompresi contoh tanah gambut desa Duri-Riau dengan kadar air pemasatan 140 %

Nilai C<sub>c</sub> (Indek kompresi) yang diperoleh untuk kondisi siklus pembasahan dan pengeringan setelah dipadatkan lebih besar dibandingkan dengan nilai C<sub>c</sub> pada kondisi tanpa siklus. Hal ini dapat terjadi karena contoh tanah (siklus) tersebut terendam air selama beberapa hari, sehingga rongga-rongga tanah yang telah terpadatkan kembali terisi oleh air dan kondisi tersebut menyebabkan tanah lebih mudah termampatkan. Walaupun terjadi perbedaan nilai C<sub>c</sub> yang dihasilkan untuk dua kondisi di atas, perbedaan tersebut tidak signifikan sehingga dapat

dinyatakan bahwa proses siklus pembasahan dan pengeringan yang merupakan simulasi yang dilakukan dilaboratorium untuk keadaan hujan dan setelah hujan dilapangan tidak terlalu mempengaruhi nilai pemampatan pada tanah gambut.

#### **IV.3.2 Kurva Kompresi Tanah Gambut Duri-Riau Pada Kadar Air Pemadatan 160%**

Untuk kondisi kadar air 160 % perubahan angka pori terhadap tegangan dapat dilihat pada tabel IV.8 dimana pada tegangan yang kecil perubahan angka pori juga akan kecil, seiring dengan pemambahan beban maka perubahan angka pori semakin meningkat. Penurunan angka pori cukup signifikan pada tegangan 51 kPa dan 101 kPa baik pada kondisi tanpa dan dengan siklus. Pada variasi siklus pembasahan-pengeringan – pembasahan kembali penurunan angka pori pada tegangan 51 dan 101 kPa cukup besar dibandingkan dengan dua kondisi lainnya. Dan jika dilihat dari kenaikan angka pori akibat penurunan beban maka kenaikan yang dihasilkan tidak besar.

Tabel IV.8 Angka pori akhir tanah gambut pada kadar air pemadatan 160 % periode pembebanan 24 jam

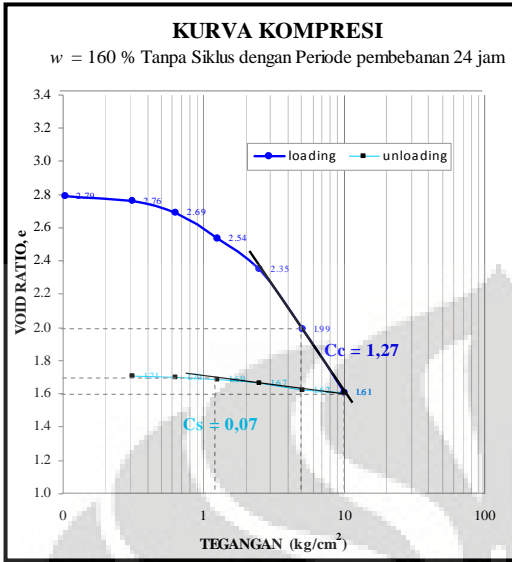
| Pressure<br>(Kpa) | Void Ratio ( e )          |            |                    |            |                              |            |
|-------------------|---------------------------|------------|--------------------|------------|------------------------------|------------|
|                   | Tanpa<br>siklus<br>24 jam | $\Delta e$ | Siklus - 24<br>jam | $\Delta e$ | Siklus<br>(B-K-B)*<br>24 jam | $\Delta e$ |
| 0                 | 2.80                      | 0.000      | 2.99               | 0.000      | 2.90                         | 0.000      |
| 1                 | 2.79                      | 0.003      | 2.98               | 0.013      | 2.86                         | 0.033      |
| 3                 | 2.76                      | 0.032      | 2.91               | 0.064      | 2.81                         | 0.057      |
| 6                 | 2.69                      | 0.070      | 2.82               | 0.090      | 2.72                         | 0.092      |
| 13                | 2.54                      | 0.155      | 2.67               | 0.158      | 2.56                         | 0.158      |
| 25                | 2.35                      | 0.182      | 2.35               | 0.313      | 2.33                         | 0.232      |
| 51                | 1.99                      | 0.364      | 1.97               | 0.380      | 1.92                         | 0.402      |
| 101               | 1.61                      | 0.382      | 1.50               | 0.477      | 1.48                         | 0.442      |
| 51                | 1.62                      | 0.016      | 1.52               | 0.029      | 1.51                         | 0.028      |
| 25                | 1.67                      | 0.042      | 1.55               | 0.025      | 1.55                         | 0.037      |
| 13                | 1.69                      | 0.024      | 1.58               | 0.028      | 1.57                         | 0.027      |
| 6                 | 1.70                      | 0.010      | 1.60               | 0.020      | 1.60                         | 0.027      |
| 3                 | 1.71                      | 0.010      | 1.63               | 0.030      | 1.62                         | 0.020      |

\*Basah - Kering - Basah

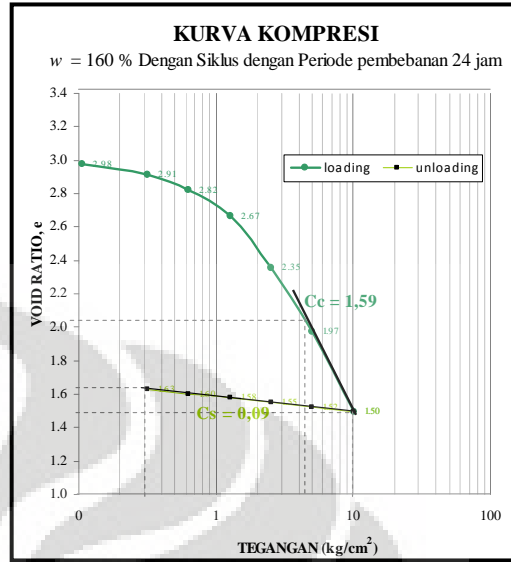
Pada proses siklus pembasahan dan pengeringan pada periode waktu pembebasan 24 jam tanah yang telah dipadatkan, direndam selama 6 hari dan dikering udara selama 7 hari, proses ini menyebabkan kenaikan kadar air dari 161% menjadi 166%, untuk kondisi siklus pembasahan – pengeringan – pembasahan kembali, kenaikan kadar air sangat besar yaitu 193% kenaikan ini cukup signifikan dari kadar air mula-mula 161 %, rata-rata penambahan kadar air akibat siklus adalah 177%. Penambahan beban (loading) antara 1 kPa hingga 101 kPa memberikan penurunan angka pori sekitar 42% untuk kondisi tanpa siklus dan pengembangan yang terjadi akibat unloading adalah 6%, sedangkan untuk kondisi siklus pembasahan dan pengeringan angka pori turun rata-rata 49% pada penurunan beban (unloading) dari 101 kPa hingga 3 kPa meningkatkan angka pori sekitar 9,2%.

Dari gambar 4.17 kurva kompresi tanah gambut kadar air pemedatan 160% dapat terlihat kondisi tanpa siklus setelah dipadatkan nilai  $C_c$  adalah 1,27. kondisi siklus pembasahan dan pengeringan setelah dipadatkan pada periode pembebasan 24 jam (gambar 4.18) adalah 1,59, kondisi siklus pembasahan- pengeringan – pembasahan setelah dipadatkan pada periode pembebasan 24 jam (gambar 4.19) nilai  $C_c$  yang dihasilkan adalah 1,47. Indek pengembangan ( $C_s$ ) yang hasilkan dari penurunan beban adalah 0,07 pada kondisi tanpa siklus, 0,09 untuk kondisi dengan siklus periode waktu pembebasan 24 jam. Perbedaan Indek pengembangan yang terjadi untuk tiga kondisi diatas juga tidak terlalu besar.

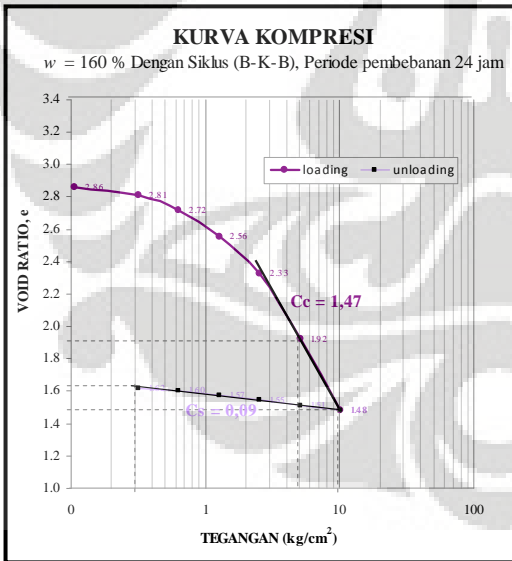
Persentase pengembangan pada saat unloading yang dihasilkan tanah untuk kondisi tanpa siklus sebesar 6,01 % sedangkan untuk kondisi siklus sebesar 9,16% dari tinggi tanah awal.



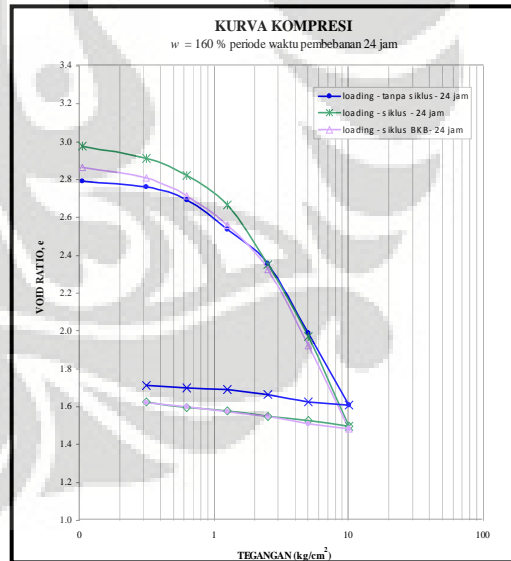
Gambar 4.17 Kurva kompresi kadar air pematatan 160% kondisi tanpa siklus setelah dipadatkan



Gambar 4.18 Kurva kompresi kadar air pematatan 160% kondisi siklus pembasahan dan pengeringan setelah dipadatkan, periode pembebatan 24 jam



Gambar 4.19 Kurva kompresi kadar air pematatan 160% kondisi siklus pembasahan - pengeringan – pembasahan kembali setelah dipadatkan, periode pembebatan 24 jam



Gambar 4.20 Kurva kompresi contoh tanah gambut desa Duri Riau dengan kadar air pematatan 160%

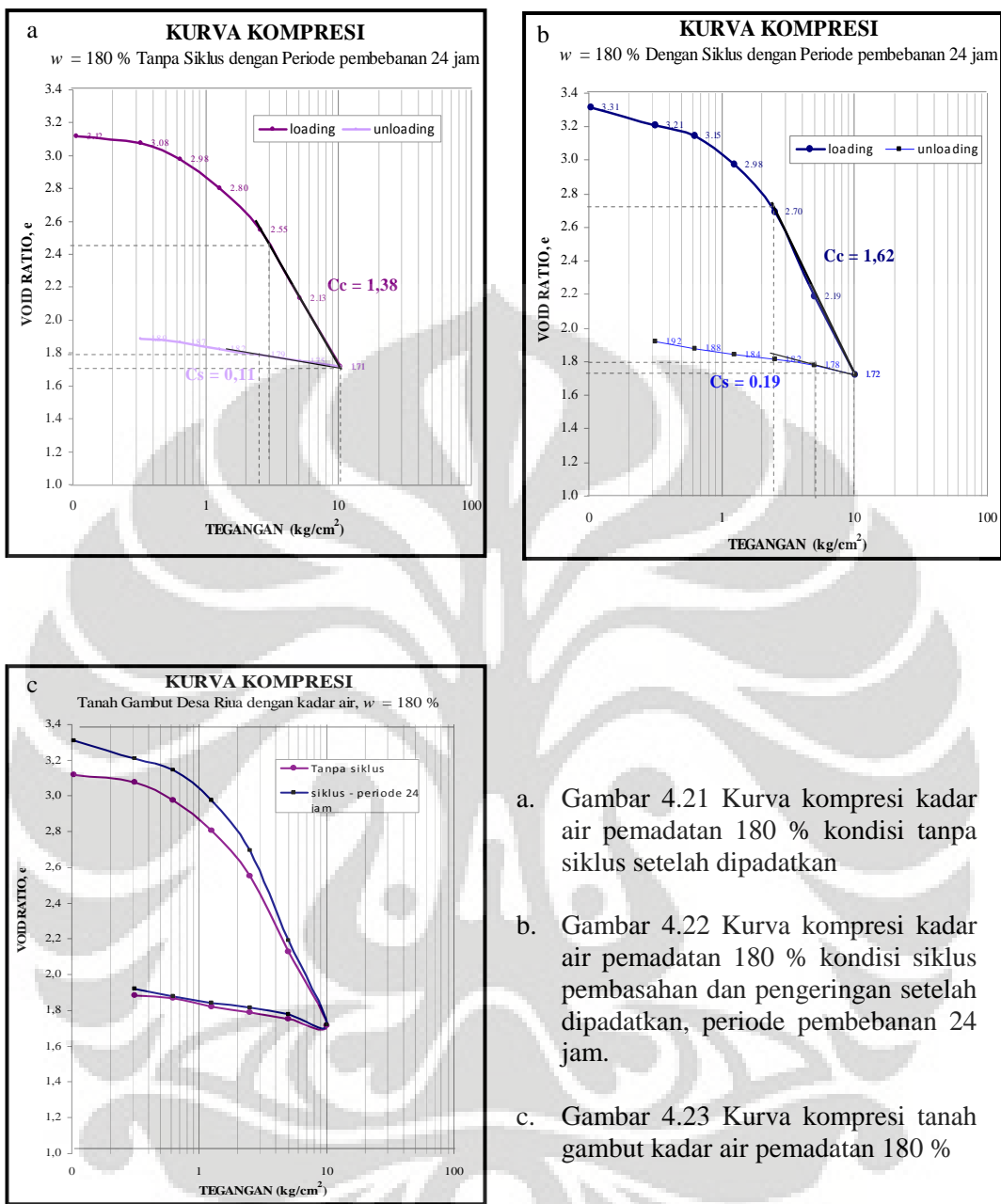
### IV.3.3 Kurva Kompresi Tanah Gambut Duri-Riau Pada Kadar Air Pemadatan 180%

Kondisi awal sebelum dilakukannya kompresi akan sangat mempengaruhi dari kompresibilitas yang akan terjadi. Kondisi siklus yang dilakukan pada tanah akan menyebabkan adanya penambahan kadar air sehingga berpengaruh terhadap pemampatan tanah.

Tabel IV.9 Angka pori akhir tanah gambut pada kadar air pemadatan 180 %

| Pressure<br>(kPa) | (kg/cm <sup>2</sup> ) | Void Ratio ( e )       |      |                  |      |
|-------------------|-----------------------|------------------------|------|------------------|------|
|                   |                       | Tanpa siklus<br>24 jam | Δe   | Siklus 24<br>jam | Δe   |
| 0,0               | 0,0                   | 3,14                   | 0,00 | 3,36             | 0,00 |
| 1,0               | 0,1                   | 3,12                   | 0,02 | 3,31             | 0,05 |
| 3                 | 0,32                  | 3,08                   | 0,04 | 3,21             | 0,10 |
| 6                 | 0,63                  | 2,98                   | 0,10 | 3,15             | 0,06 |
| 13                | 1,26                  | 2,80                   | 0,17 | 2,98             | 0,17 |
| 25                | 2,52                  | 2,55                   | 0,25 | 2,70             | 0,28 |
| 50                | 5,04                  | 2,13                   | 0,42 | 2,19             | 0,50 |
| 101               | 10,08                 | 1,71                   | 0,42 | 1,72             | 0,47 |
| 50                | 5,04                  | 1,75                   | 0,04 | 1,78             | 0,06 |
| 25                | 2,52                  | 1,79                   | 0,04 | 1,82             | 0,04 |
| 13                | 1,26                  | 1,82                   | 0,03 | 1,84             | 0,03 |
| 6                 | 0,63                  | 1,87                   | 0,05 | 1,88             | 0,03 |
| 3                 | 0,32                  | 1,89                   | 0,02 | 1,92             | 0,05 |

Nilai C<sub>c</sub> yang dihasilkan pada kondisi tanpa siklus untuk kadar air pemadatan 180 % adalah 1,38, untuk kondisi dengan siklus pembasahan dan pengeringan setelah dipadatkan dengan periode pembebahan 24 jam adalah 1,62. Sedangkan nilai C<sub>s</sub> untuk kondisi tanpa siklus adalah 0,11 untuk kondisi siklus nilai C<sub>s</sub> yang dihasilkan akibat penurunan beban (unloading) adalah 0,19 pada periode 24 jam.



- a. Gambar 4.21 Kurva kompresi kadar air pematatan 180 % kondisi tanpa siklus setelah dipadatkan
- b. Gambar 4.22 Kurva kompresi kadar air pematatan 180 % kondisi siklus pembasahan dan pengeringan setelah dipadatkan, periode pembebahan 24 jam.
- c. Gambar 4.23 Kurva kompresi tanah gambut kadar air pematatan 180 %

Periode pembebahan mempunyai pengaruh terhadap bentuk kemiringan kurva kompresi. Pada gambar 4.23 terlihat bahwa besarnya perbedaan perubahan angka pori pada kondisi tanpa siklus dan kondisi siklus pada periode pembebahan 24 jam tidak terlalu signifikan.

#### **IV.4 PERILAKU KOMPRESIBILITAS (KURVA KOMPRESI) TANAH GAMBUT DURI RIAU PADA PERIODE PEMBEBANAN 72 JAM**

Periode waktu pembebahan 72 jam dilakukan untuk melihat perilaku kurva konsolidasi sekunder. Kompresi sekunder diperkirakan terjadi akibat penyesuaian kembali partikel-partikel tanah secara perlahan-lahan menjadi susunan yang lebih stabil menyusul adanya gangguan struktural yang disebabkan oleh penurunan angka pori.

Pada kondisi periode waktu pembebahan 72 jam, Nilai Cc yang dihasilkan merupakan kemiringan linier dari kurva kompresi dimana angka pori yang digunakan adalah angka pori yang terjadi pada akhir konsolidasi primer atau pada batas  $a_{100}$  pada kurva konsolidasi akibat pembebahan. Batas konsolidasi primer dapat dilihat pada lampiran.

##### **IV.4.1 Kurva Kompresi Pada Periode Waktu Pembelahan 72 Jam Kondisi Kadar Air 140 %**

Sama dengan kondisi siklus pada periode waktu 24 jam, kenaikan kadar air juga terjadi pada kondisi siklus pada periode pembelahan 72 jam dengan dilakukannya siklus pembasahan pengeringan selama 6 hari, kadar air 142 % naik menjadi 159 %.

Pada tabel IV.10 dibawah ini dapat dilihat bahwa perubahan angka pori terus meningkat seiring dengan meningkatnya pembebahan. Dan sebaliknya angka pori yang terjadi semakin kecil. Dengan meningkatnya pembebahan maka ruang pori yang ada didalam tanah akan semakin termampatkan.

Tabel IV.10 Angka pori akhir konsolidasi primer pada kadar air pemandatan 140 %

| Tegangan (Kpa) | Angka Pori ( e ) | $\Delta e$ |
|----------------|------------------|------------|
| 0              | 2.618            | 0.000      |
| 1              | 2.591            | 0.026      |
| 3              | 2.561            | 0.030      |
| 6              | 2.503            | 0.058      |
| 13             | 2.354            | 0.149      |
| 25             | 2.141            | 0.213      |
| 50             | 1.843            | 0.297      |
| 101            | 1.445            | 0.398      |

Dari kemiringan kurva kompresi (gambar 4.24) didapatkan nilai indek kompresi untuk kondisi siklus pembasahan dan pengeringan periode pembebangan 72 jam pada kadar air 140% sebesar 1,32. Jika dibandingkan nilai Cc pada kondisi siklus pada periode pembebangan 24 jam dan 72 jam, untuk nilai Cc pada periode pembebangan 72 jam lebih kecil dari pada nilai Cc pada periode pembasahan 24 jam. Karena lamanya pembebangan juga mempengaruhi angka pori. Dimana pada siklus 24 jam pemampatan yang terjadi telah cukup berarti, ruang pori yang ada juga telah termampatkan dengan sempurna. Sehingga pada saat periode pembebangan di tambahkan laju pemampatan menjadi lebih rendah sehingga menghasilkan nilai Cc yang kecil.

Sedangkan nilai indek *swelling* pada kondisi ini tidak dapat terlihat pada kurva kompresi karena indek *swelling* menggunakan angka pori yang terdapat pada akhir pembebangan.

#### **IV.4.2 Kurva Kompresi Pada Periode Waktu Pembekalan 72 Jam Kondisi Kadar Air 160 %**

Pada kondisi siklus untuk periode waktu pembekalan 72 jam juga terjadi kenaikan kadar air sebesar 171% dari 159%. Angka pori yang dihasilkan dari kurva konsolidasi dapat dilihat pada tabel IV.11 dibawah ini. Dan pada tabel IV.11 tersebut dapat dilihat bahwa perubahan angka pori juga meningkat seiring dengan meningkatnya pembekalan.

Tabel IV.11 Angka pori akhir konsolidasi primer pada kadar air pemandatan 160 %

| Tegangan (Kpa) | Angka Pori ( e ) | $\Delta e$ |
|----------------|------------------|------------|
| 0              | 2.625            | 0.000      |
| 1              | 2.598            | 0.026      |
| 3              | 2.543            | 0.055      |
| 6              | 2.489            | 0.054      |
| 13             | 2.383            | 0.105      |
| 25             | 2.173            | 0.211      |
| 51             | 1.845            | 0.328      |
| 101            | 1.417            | 0.428      |

Besarnya nilai indek kompresi berhubungan dengan kompresibilitas (kemampuan pemampatan) dari tanah gambut. Semakin besar nilai indek kompresi, berarti tanah gambut tersebut lebih kompresibel. Nilai  $C_c$  untuk kondisi ini adalah 1,42 dapat dilihat dari kurva kompresi (gambar 4.25). dibandingkan dengan kondisi sebelumnya yaitu pada kondisi siklus pada periode pembebanan 72 jam kadar air 140%, nilai  $C_c$  yang dihasilkan lebih besar. Hal ini juga berhubungan dengan peningkatan kadar air pada contoh tanah. Dengan meningkatnya kadar air maka kerapatan tanah semakin berkurang sehingga tanah akan lebih bersifat mudah termampatkan, sehingga nilai  $C_c$  pun semakin meningkat.

#### **IV.4.3 Kurva Kompresi Pada Periode Waktu Pembebanan 72 Jam Kondisi Kadar Air 180 %**

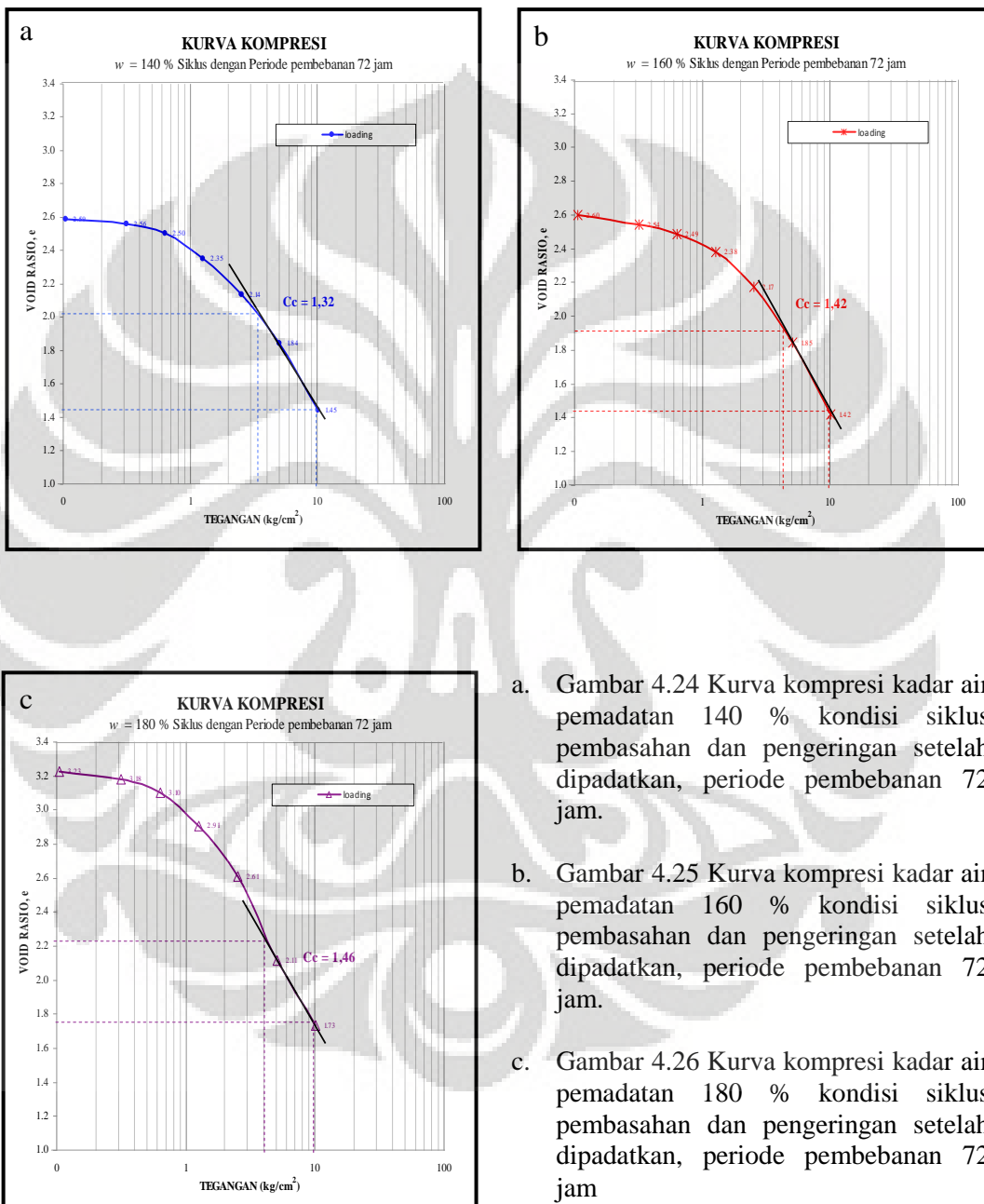
Pada kadar air yang cukup besar 180%, rongga-rongga tanah telah cukup terisi air, sehingga pada saat proses siklus pembasahan penambahan air pada kondisi ini tidak terlalu besar jika dibandingkan dengan dua kondisi sebelumnya. Penambahan air hanya berkisar 5%. Dari 180% menjadi 185,62% .

Dari tabel IV.12 dihasilkan perubahan angka pori yang cukup besar pada pembebanan 51 kPa, dan pada 101 kPa perubahan angka pori lebih kecil. Hal ini disebabkan pada pembebanan 51 kPa pori-pori tanah yang termampatkan telah cukup, sehingga pada saat penambahan beban penurunan angka pori tidak terlalu besar.

Tabel IV.12 Angka pori akhir konsolidasi primer pada kadar air pematatan 180 %

| Tegangan (Kpa) | Angka pori ( e ) | $\Delta e$ |
|----------------|------------------|------------|
| 0              | 3.272            | 0.000      |
| 1              | 3.228            | 0.044      |
| 3              | 3.184            | 0.044      |
| 6              | 3.103            | 0.081      |
| 13             | 2.907            | 0.197      |
| 25             | 2.612            | 0.295      |
| 51             | 2.113            | 0.498      |
| 101            | 1.732            | 0.381      |

Dari kurva kompresi (gambar 4.26), terlihat bahwa nilai  $C_c$  yang dihasilkan sebesar 1,46 dan nilai ini tidak jauh berbeda jika dibandingkan dengan nilai  $C_c$  yang dihasilkan dari kondisi siklus periode pembebahan 72 jam pada kadar air 160%.



- Gambar 4.24 Kurva kompresi kadar air pematatan 140 % kondisi siklus pembasahan dan pengeringan setelah dipadatkan, periode pembebahan 72 jam.
- Gambar 4.25 Kurva kompresi kadar air pematatan 160 % kondisi siklus pembasahan dan pengeringan setelah dipadatkan, periode pembebahan 72 jam.
- Gambar 4.26 Kurva kompresi kadar air pematatan 180 % kondisi siklus pembasahan dan pengeringan setelah dipadatkan, periode pembebahan 72 jam

## **IV.5 PERILAKU KOMPRESIBILITAS (KURVA KOMPRESI) TANAH GAMBUT DURI RIAU PADA VARIASI KADAR AIR**

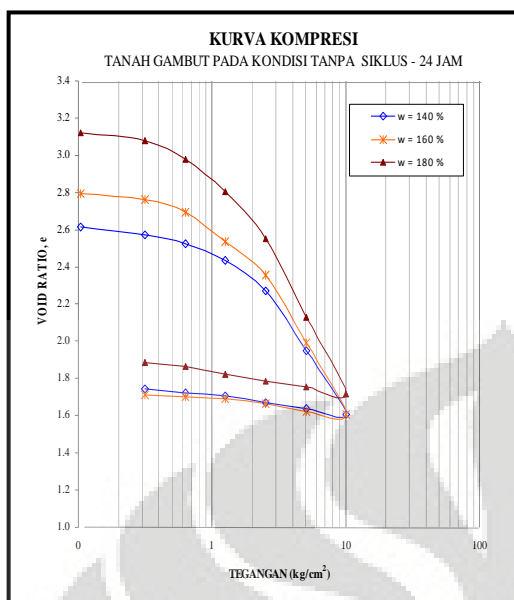
Dari hasil pengujian kompresibilitas tanah gambut dengan variasi kadar air 140 %, 160 % dan 180 % dari tabel IV.13 dapat dinyatakan bahwa nilai Cc pada kondisi siklus lebih besar dari pada kondisi tanpa siklus, sedangkan jika ditinjau pada kondisi siklus variasi waktu pembebanannya maka nilai Cc pada periode 24 jam lebih besar dari pada 72 jam. Dan dapat dilihat juga nilai Cc sebanding dengan kenaikan kadar air. Pada kadar air yang lebih besar maka nilai Cc yang dihasilkan juga semakin besar, karena tanah yang mengandung kadar air yang tinggi menyebabkan kerapatan kering saat dipadatkan kecil sehingga pada saat dikonsolidasi maka penurunan yang terjadi akan meningkat sehingga tanah memiliki sifat yang lebih mudah termampatkan. Untuk indek *swelling* (pengembangan) dapat dilihat pada tabel IV.14 dan kurva kompresibilitas untuk semua kondisi akan diberikan pada gambar 4.27 dan 4.28

Tabel IV.13 Indek kompresi (Cc) tanah gambut pada variasi kadar air

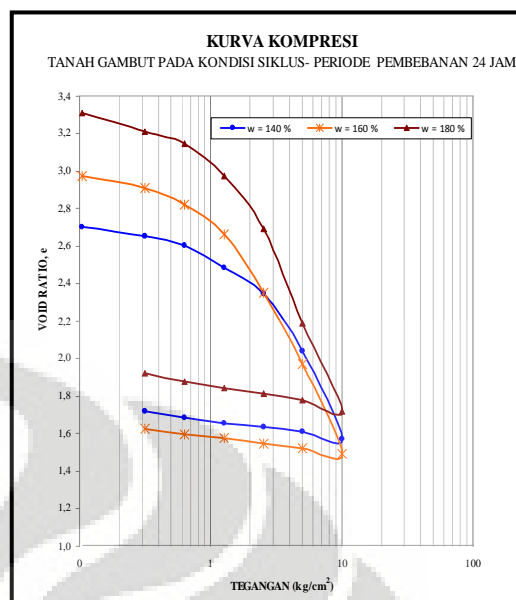
| Kadar Air (%) | Indek Kompresi (Cc) |               |                 |
|---------------|---------------------|---------------|-----------------|
|               | Tanpa Siklus 24 jam | Siklus 24 jam | Siklus - 72 jam |
| 140           | 1,1                 | 1,55          | 1,32            |
| 160           | 1,27                | 1,59          | 1,42            |
| 180           | 1,38                | 1,62          | 1,44            |

Tabel IV.14 Indek *swelling* (Cs) tanah gambut pada variasi kadar air

| Kadar Air (%) | Indek <i>Swelling</i> (Cs) |               |
|---------------|----------------------------|---------------|
|               | Tanpa Siklus 24 jam        | Siklus 24 jam |
| 140           | 0,11                       | 0,11          |
| 160           | 0,07                       | 0,09          |
| 180           | 0,10                       | 0,19          |



Gambar 4.27 kurva kompresi pada variasi perbedaan kadar air – kondisi tanpa siklus



Gambar 4.28 kurva kompresi pada variasi perbedaan kadar air – kondisi siklus siklus 24 jam



---

**BAB V**  
**PENUTUP**

---

## **BAB V**

### **PENUTUP**

#### **V.1 KESIMPULAN**

Berdasarkan hasil penelitian uji kompresibilitas dengan menggunakan alat *Oedometer* diameter benda uji 6,35 cm pada tanah gambut desa Duri-Riau, dapat diketahui perilaku kompresibilitas tanah gambut pada kondisi tanpa dan dengan siklus pembasahan dan pengeringan setelah dipadatkan serta dengan variasi periode waktu pembebahan 24 jam dan 72 jam pada kadar air 140%, 160% dan 180% adalah sebagai berikut :

1. Pada semua kadar air pemedatan, perilaku penurunan yang terjadi pada kondisi siklus lebih besar daripada penurunan tanpa siklus, karena pada kondisi siklus terjadi penambahan air pori sehingga proses pengeluaran air pori akan lebih besar.
2. Tanah yang memiliki kadar air yang tinggi akan menyebabkan kerapatan kering yang dihasilkan pada saat dipadatkan kecil sehingga memiliki sifat kompresibilitas yang tinggi, hal ini ditunjukkan dari penurunan yang terjadi baik pada kondisi siklus maupun tanpa siklus.
3. Pada semua kadar air pemedatan dan semua kondisi siklus maupun tanpa siklus kurva konsolidasi yang dihasilkan dari penurunan dan regangan memiliki bentuk yang sama yaitu pada pembebahan kecil (3 kPa hingga 6 kPa) kurva yang dihasilkan relatif landai, sehingga sulit memisahkan antara konsolidasi primer dan sekunder. Seiring dengan peningkatan pembebahan penurunan yang terjadi meningkat, yang ditandai dengan semakin tajamnya kemiringan kurva konsolidasi.
4. Dengan periode pembebahan 24 jam, nilai indek kompersi ( $C_c$ ) pada kondisi kondisi siklus pembasahan dan pengeringan setelah dipadatkan untuk semua kadar air pemedatan berkisar antara 1,55 hingga 1,62 dimana nilai tersebut

- lebih besar dari nilai  $C_c$  tanpa siklus yaitu 1,11 hingga 1,38. Hal ini disebabkan karena penambahan air yang cukup besar pada proses siklus pembasahan, sehingga rongga-rongga yang kosong akan terisi oleh air. Tanah yang mengalami siklus akan memiliki sifat kompresibilitas yang tinggi.
5. Perbandingan hasil uji konsolidasi antara periode waktu pembebanan 24 jam dan 72 jam menunjukkan bahwa, semakin lama waktu pembebanan maka ruang pori didalam tanah semakin termampatkan, sehingga penurunan yang terjadi semakin besar. Dan dengan periode pembebanan 72 jam memungkinkan untuk memahami perilaku konsolidasi sekunder pada tanah gambut yang telah dipadatkan, dimana pada pembebanan kecil (3 kPa hingga 13 kPa) kemiringan kurva konsolidasi sekunder konstan, sebaliknya pada pembebanan besar (51 kPa dan 101 kPa) kemiringan kurva konsolidasi sekunder tidak selalu konstan, dimana ada kecenderungan perubahan kemiringan kurva. Hal ini menunjukkan bahwa walaupun telah dilakukannya pemasatan pada tanah gambut dengan pembebanan yang lebih lama, maka penurunan kurva sekunder akan terus terjadi.
  6. Nilai  $C_c$  pada kondisi siklus periode waktu pembebanan 72 jam untuk semua kadar air pemasatan berkisar antara 1,32 hingga 1,44. Nilai  $C_c$  yang dihasilkan ini relatif kecil dari pada nilai  $C_c$  pada periode pembebanan 24 jam, walaupun demikian perbedaan nilai  $C_c$  yang dihasilkan tidak signifikan.

## V.2 SARAN

1. Perlunya penyediaan tempat khusus untuk penghamparan contoh tanah gambut sehingga proses penghamparan contoh tanah gambut tidak terpengaruh oleh hujan
2. Saat dilakukannya penghamparan contoh tanah sebaiknya dilakukan pengecekan terhadap kadar air, agar kadar air rencana yang diharapkan tidak terlewati.
3. Pembacaan dial penurunan untuk tiap penambahan beban (loading) pada uji konsolidasi tanah gambut sebaiknya dilakukan lebih dari 60 menit.

4. Pada pengujian konsolidasi sebaiknya digunakan jumlah contoh tanah minimal dua buah, sehingga dapat diketahui dan dikoreksi apabila terjadi penyimpangan terhadap hasil pengujian.
5. Perlu adanya penelitian lebih lanjut mengenai perilaku kompresibilitas tanah gambut akibat siklus pembasahan dan pengeringan setelah dipadatkan, terutama perilaku kompresi sekunder.



## **DAFTAR PUSTAKA**

- Ahmad, Mauli. *Pengaruh Konsolidasi Berlebihan (OCR 4, 6, 8) Terhadap Lintasan Tegangan Pada Tanah Gambut Kondisi Consolidated Undrained.* Skripsi. Depok 2000.
- Asyiah E, Nurvita. *Studi Karakteristik Gambut Akibat Uji Konsolidasi Dengan Menggunakan Aditif Semen.* skripsi Depok 2006.
- Bowles, Joseph E.. *Sifat-Sifat Fisis dan Geoteknis Tanah.* Edisi Kedua. trans. Johan K. Hanim. Jakarta:Erlangga. 1989.
- Craig, R.F. *Mekanika Tanah.* Edisi Keempat. trans. Budi Susilo S. Jakarta:Erlangga.1994.
- Dirgantara, I Gede Jaya. *Studi Perilaku Konsolidasi Tanah Gambut Duri dan Tampan.* Skripsi. Depok 1996.
- Hadijah, Siti. *Perilaku Kepadatan Tanah Gambut Akibat Proses Pengeringan dan Pembasahan Kembali.*Skripsi. Depok 2006.
- Soepandji, Budi Susilo. *Konsolidasi Monodimensi Tanah Gambut Sumatera.* Jurnal Teknologi 1996.
- Soepandji, Budi Susilo; Damrizal Damoerin; Olivia, *Studi Karakteristik Pemampatan Tanah Gambut Pontianak Akibat Pembebanan dengan Pengaliran Vertikal Menggunakan Sel Rowe.* Jurnal Teknologi 1997.

Wardana, W Tri. *Studi Karakteristik Konsolidasi Gambut akibat Uji Konsolidasi Dipercepat dengan Menggunakan Sel Rowe*. Skripsi. Depok 1997.

Waruwu, *Konsolidasi Tanah Gambut Lampung*. Tesis. Yogyakarta 2002.





---

## LAMPIRAN

---



**LAMPIRAN 1**  
**HASIL UJI KOMPRESI TANAH GAMBUT  $W = 140\%$**

---

**Hasil Uji Kompresi Tanah Gambut Kadar Air 140 % Pada Kondisi Tanpa  
Siklus Periode Waktu Pembebanan 24 Jam**

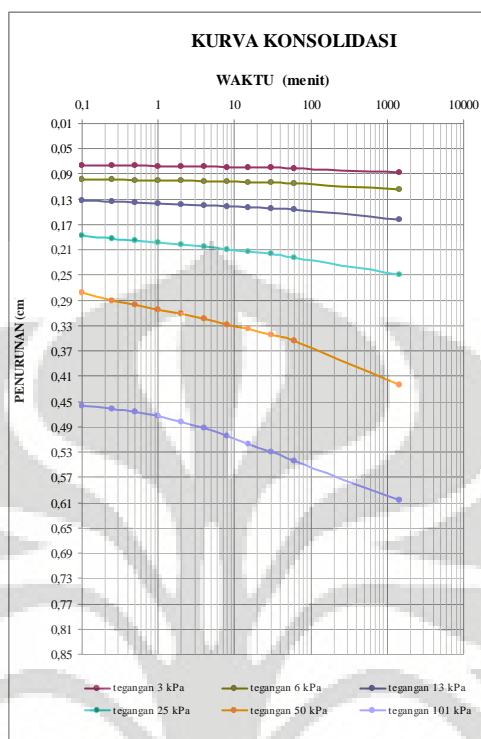
Tabel 1 Pembacaan Penurunan Uji Konsolidasi

| HEIGHT         |               | Kalibrasi alat $10^{-3}$ mm |        |        |        |        |        |        |
|----------------|---------------|-----------------------------|--------|--------|--------|--------|--------|--------|
| LOADING (Kg)   |               | 0,333                       | 1      | 2      | 4      | 8      | 16     | 32     |
| PRESSURE (kPa) |               | 1                           | 3      | 6      | 13     | 25     | 51     | 101    |
| time           | $\sqrt{time}$ | Penurunan (cm)              |        |        |        |        |        |        |
| 0              | 0,00          | 0,0444                      | 0,0652 | 0,0876 | 0,1151 | 0,1622 | 0,2498 | 0,4236 |
| 0,1            | 0,32          |                             | 0,0760 | 0,0981 | 0,1322 | 0,1878 | 0,2780 | 0,4564 |
| 0,25           | 0,50          |                             | 0,0766 | 0,0990 | 0,1339 | 0,1920 | 0,2910 | 0,4618 |
| 0,5            | 0,71          |                             | 0,0771 | 0,0996 | 0,1352 | 0,1956 | 0,2969 | 0,4670 |
| 1              | 1,00          |                             | 0,0775 | 0,1002 | 0,1365 | 0,1986 | 0,3042 | 0,4735 |
| 2              | 1,41          |                             | 0,0780 | 0,1009 | 0,1379 | 0,2022 | 0,3110 | 0,4821 |
| 4              | 2,00          |                             | 0,0785 | 0,1016 | 0,1393 | 0,2056 | 0,3194 | 0,4926 |
| 8              | 2,83          |                             | 0,0790 | 0,1022 | 0,1410 | 0,2094 | 0,3278 | 0,5045 |
| 15             | 3,87          |                             | 0,0795 | 0,1031 | 0,1426 | 0,2130 | 0,3356 | 0,5164 |
| 30             | 5,48          |                             | 0,0802 | 0,1041 | 0,1446 | 0,2154 | 0,3443 | 0,5301 |
| 60             | 7,75          |                             | 0,0810 | 0,1052 | 0,1469 | 0,2223 | 0,3534 | 0,5442 |
| 1440           | 37,95         | 0,0652                      | 0,0876 | 0,1151 | 0,1622 | 0,2498 | 0,4236 | 0,6057 |
| UNLOADING      |               | 0                           | 0,5337 | 0,5440 | 0,5534 | 0,5726 | 0,5889 | 0,6057 |

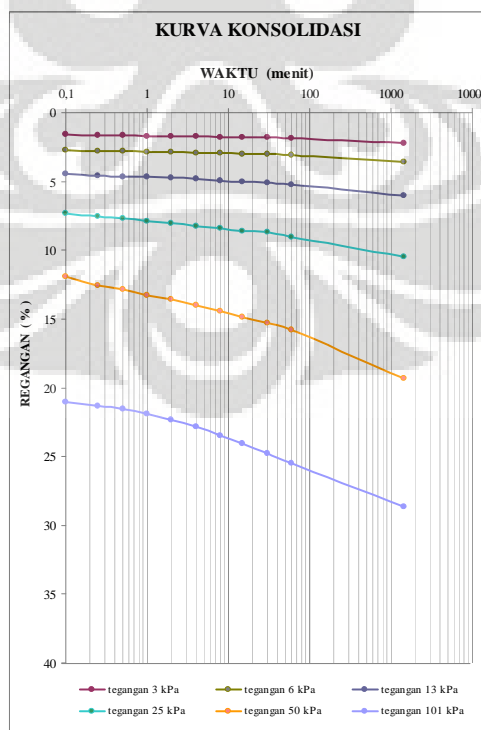
Tabel 2 Analisa Regangan

| LOADING (Kg)   |               | 0,333        | 1       | 2       | 4       | 8       | 16      | 32      |
|----------------|---------------|--------------|---------|---------|---------|---------|---------|---------|
| PRESSURE (kPa) |               | 1            | 3       | 6       | 13      | 25      | 51      | 101     |
| time           | $\sqrt{time}$ | regangan (%) |         |         |         |         |         |         |
| 0              | 0,00          | 0,0000       | 1,0612  | 2,2041  | 3,6071  | 6,0102  | 10,4796 | 19,3469 |
| 0,1            | 0,32          |              | 1,6122  | 2,7398  | 4,4796  | 7,3163  | 11,9184 | 21,0204 |
| 0,25           | 0,50          |              | 1,6429  | 2,7857  | 4,5663  | 7,5306  | 12,5816 | 21,2959 |
| 0,5            | 0,71          |              | 1,6684  | 2,8163  | 4,6327  | 7,7143  | 12,8827 | 21,5612 |
| 1              | 1,00          |              | 1,6888  | 2,8469  | 4,6990  | 7,8673  | 13,2551 | 21,8929 |
| 2              | 1,41          |              | 1,7143  | 2,8827  | 4,7704  | 8,0510  | 13,6020 | 22,3316 |
| 4              | 2,00          |              | 1,7372  | 2,9184  | 4,8418  | 8,2245  | 14,0306 | 22,8673 |
| 8              | 2,83          |              | 1,7653  | 2,9464  | 4,9286  | 8,4158  | 14,4592 | 23,4745 |
| 15             | 3,87          |              | 1,7908  | 2,9949  | 5,0102  | 8,6020  | 14,8546 | 24,0816 |
| 30             | 5,48          |              | 1,8265  | 3,0434  | 5,1122  | 8,7245  | 15,3010 | 24,7806 |
| 60             | 7,75          |              | 1,8673  | 3,1020  | 5,2296  | 9,0740  | 15,7653 | 25,5000 |
| 1440           | 37,95         | 1,0612       | 2,2041  | 3,6071  | 6,0102  | 10,4796 | 19,3469 | 28,6378 |
| UNLOADING      |               |              | 24,9617 | 25,4898 | 25,9694 | 26,9490 | 27,7781 | 28,6378 |

Gambar 1 kurva konsolidasi (penurunan Vs waktu)  
Kadar Air 140% Pada Kondisi Tanpa Siklus



Gambar 2 kurva konsolidasi (regangan Vs waktu)  
Kadar Air 140% Pada Kondisi Tanpa Siklus



## Pengolahan data konsolidasi

Tabel 3 Kadar air uji konsolidasi kondisi tanpa siklus

|                       |          |
|-----------------------|----------|
| kadar air awal        | 143,57 % |
| setelah dipadatkan    | 140,99 % |
| setelah dikonsolidasi | 86,733 % |

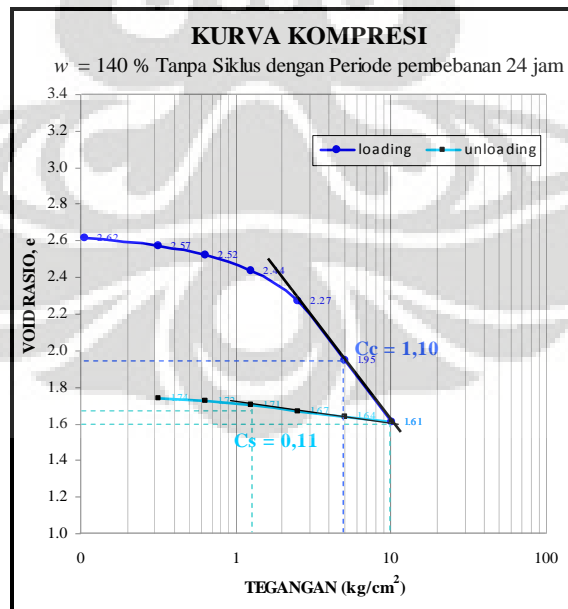
### Dimensi Ring :

|   |   |                        |
|---|---|------------------------|
| Diameter  | = | 6,35 cm                |
| Luasan, A   | = | 31,682 cm <sup>2</sup> |
| Tinggi Ring, Ht   | = | 1,96 cm                |
| Tinggi Awal tanah , Hi                                    | = | 1,96 cm                |
| spesific gravity of soil, Gs                              | = | 1,459                  |
| berat ring + tanah  | = | 122,3 gram             |
| berat ring  | = | 62,50 gram             |
| berat tanah basah, Wt                                     | = | 59,75 gram             |
| computed dry weight of soil,<br>W's                       | = | 24,79                  |
| berat tanah kering oven, <sup>a</sup> Ws                  | = | 30,15 gram             |
| <u>Computed Ht. of soilids<sup>b</sup></u>                |   |                        |
| Ho = W's / Gs * A   | = | 0,536                  |
| initial Ht. of voids                                      |   |                        |
| Hv = Hi - Ho  | = | 1,424                  |
| <u>Initial degree of saturation</u>                       |   |                        |
| Si = (Wt - Ws)/(Hi - Ho) * A                              | = | 0,656                  |
| Initial void ratio e <sub>o</sub> = Hv / Ho               | = | 2,655                  |
| <u>final test data (obtained at and of load testing )</u> |   |                        |
| initial dial reading                                      |   | 0,0652                 |
| final dial reading  |   | 0,53365                |
| change in sample, ht                                      |   | 0,46845                |
| final ht. of void, H <sub>vf</sub>                        |   | 0,955                  |
| final void ratio, ef = H <sub>vf</sub> / H <sub>o</sub>   |   | 1,781                  |

Tabel 4 Analisa Angka Pori

| Pressure<br>(kPa) | def. dial reading at<br>end of load, cm | change sample<br>ht, H,cm | change in void<br>ratio, $e = H / H_0$ | inst void ratio<br>$e$ |
|-------------------|---|---------------------------|--|------------------------|
| 0                 | 0,0444                                  | 0,0000                    | 0,0000                                 | 2,6547                 |
| 1                 | 0,0652                                  | 0,0208                    | 0,0388                                 | 2,6160                 |
| 3                 | 0,0876                                  | 0,0224                    | 0,0418                                 | 2,5742                 |
| 6                 | 0,1151                                  | 0,0275                    | 0,0513                                 | 2,5229                 |
| 13                | 0,1622                                  | 0,0471                    | 0,0878                                 | 2,4351                 |
| 25                | 0,2498                                  | 0,0876                    | 0,1633                                 | 2,2717                 |
| 51                | 0,4236                                  | 0,1738                    | 0,3241                                 | 1,9477                 |
| 101               | 0,6057                                  | 0,1821                    | 0,3396                                 | 1,6081                 |
|                   |   |                           |  |                        |
| 51                | 0,5889                                  | 0,0169                    | 0,0314                                 | 1,6395                 |
| 25                | 0,5726                                  | 0,0163                    | 0,0303                                 | 1,6698                 |
| 13                | 0,5534                                  | 0,0192                    | 0,0358                                 | 1,7056                 |
| 6                 | 0,5440                                  | 0,0094                    | 0,0175                                 | 1,7232                 |
| 3                 | 0,5337                                  | 0,0104                    | 0,0193                                 | 1,7425                 |

Gambar 3 Kurva kompresi kadar air pemandatan 140 % kondisi tanpa siklus dengan periode pembebangan 24 jam



#### 1.4 Hasil Uji Kompresi Tanah Gambut Kadar Air 140 % Pada Kondisi Siklus Pembasahan Dan Pengeringan Dengan Periode Waktu Pembebaan 24 Jam

Ket: Siklus perendaman 6 hari, Siklus pengeringan 6 hari

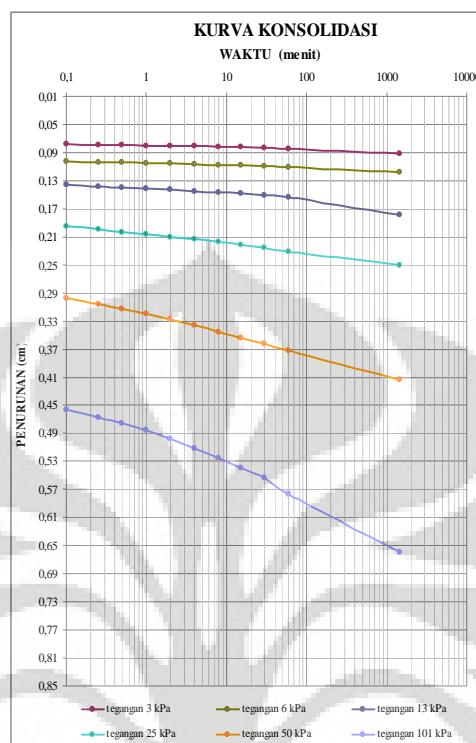
Tabel 5 Pembacaan Penurunan Uji Konsolidasi

| HEIGHT         |                      | kalibrasi alat $10^{-3}$ mm |        |        |        |        |        |        |
|----------------|----------------------|-----------------------------|--------|--------|--------|--------|--------|--------|
| LOADING (Kg)   |                      | 0,333                       | 1      | 2      | 4      | 8      | 16     | 32     |
| PRESSURE (kPa) |                      | 1                           | 3      | 6      | 13     | 25     | 51     | 101    |
| time           | $\sqrt{\text{time}}$ | penurunan (cm)              |        |        |        |        |        |        |
| 0              | 0,00                 | 0,0480                      | 0,0662 | 0,0922 | 0,1178 | 0,1787 | 0,2509 | 0,4137 |
| 0,1            | 0,32                 |                             | 0,0778 | 0,1025 | 0,1360 | 0,1950 | 0,2980 | 0,4560 |
| 0,25           | 0,50                 |                             | 0,0789 | 0,1036 | 0,1380 | 0,1995 | 0,3060 | 0,4670 |
| 0,5            | 0,71                 |                             | 0,0792 | 0,1045 | 0,1398 | 0,2030 | 0,3122 | 0,4755 |
| 1              | 1,00                 |                             | 0,0799 | 0,1050 | 0,1415 | 0,2062 | 0,3196 | 0,4852 |
| 2              | 1,41                 |                             | 0,0805 | 0,1059 | 0,1431 | 0,2100 | 0,3278 | 0,4976 |
| 4              | 2,00                 |                             | 0,0810 | 0,1067 | 0,1449 | 0,2136 | 0,3365 | 0,5115 |
| 8              | 2,83                 |                             | 0,0815 | 0,1078 | 0,1468 | 0,2177 | 0,3454 | 0,5259 |
| 15             | 3,87                 |                             | 0,0822 | 0,1084 | 0,1486 | 0,2215 | 0,3536 | 0,5389 |
| 30             | 5,48                 |                             | 0,0830 | 0,1095 | 0,1509 | 0,2260 | 0,3628 | 0,5530 |
| 60             | 7,75                 |                             | 0,0840 | 0,1108 | 0,1532 | 0,2312 | 0,3721 | 0,5765 |
| 1440           | 37,95                | 0,0662                      | 0,0922 | 0,1178 | 0,1787 | 0,2509 | 0,4137 | 0,6590 |
| UNLOADING      |                      | 0                           | 0,5801 | 0,5989 | 0,6154 | 0,6254 | 0,6379 | 0,6590 |

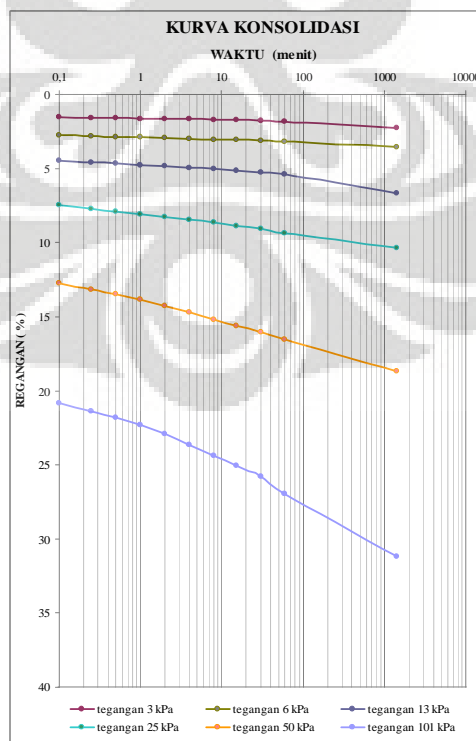
Tabel 6 Analisa Regangan

| LOADING (Kg)   |                      | 0,333          | 1       | 2       | 4       | 8       | 16      | 32      |
|----------------|----------------------|----------------|---------|---------|---------|---------|---------|---------|
| PRESSURE (kPa) |                      | 1              | 3       | 6       | 13      | 25      | 51      | 101     |
| time           | $\sqrt{\text{time}}$ | regangan ( % ) |         |         |         |         |         |         |
| 0              | 0,00                 | 0,0000         | 0,9286  | 2,2551  | 3,5612  | 6,6684  | 10,3520 | 18,6582 |
| 0,1            | 0,32                 |                | 1,5204  | 2,7806  | 4,4898  | 7,5000  | 12,7551 | 20,8163 |
| 0,25           | 0,50                 |                | 1,5765  | 2,8367  | 4,5918  | 7,7296  | 13,1633 | 21,3776 |
| 0,5            | 0,71                 |                | 1,5918  | 2,8827  | 4,6837  | 7,9082  | 13,4796 | 21,8112 |
| 1              | 1,00                 |                | 1,6250  | 2,9082  | 4,7704  | 8,0714  | 13,8571 | 22,3061 |
| 2              | 1,41                 |                | 1,6582  | 2,9541  | 4,8520  | 8,2653  | 14,2755 | 22,9388 |
| 4              | 2,00                 |                | 1,6837  | 2,9949  | 4,9439  | 8,4490  | 14,7194 | 23,6480 |
| 8              | 2,83                 |                | 1,7092  | 3,0510  | 5,0408  | 8,6582  | 15,1735 | 24,3827 |
| 15             | 3,87                 |                | 1,7449  | 3,0816  | 5,1327  | 8,8520  | 15,5918 | 25,0459 |
| 30             | 5,48                 |                | 1,7857  | 3,1378  | 5,2474  | 9,0816  | 16,0612 | 25,7653 |
| 60             | 7,75                 |                | 1,8367  | 3,2041  | 5,3648  | 9,3469  | 16,5357 | 26,9643 |
| 1440           | 37,95                | 0,9286         | 2,2551  | 3,5612  | 6,6684  | 10,3520 | 18,6582 | 31,1735 |
| UNLOADING      |                      |                | 27,1480 | 28,1071 | 28,9490 | 29,4592 | 30,0969 | 31,1735 |

Gambar 4 kurva konsolidasi (penurunan Vs waktu)  
Kadar Air 140% Pada Kondisi Siklus – 24 jam



Gambar 5 kurva konsolidasi (regangan Vs waktu)  
Kadar Air 140% Pada Kondisi Siklus – 24 jam



## Pengolahan data konsolidasi

Tabel 7 Kadar air uji konsolidasi kondisi tanpa siklus

|                             |          |
|-----------------------------|----------|
| kadar air awal              | 143,57 % |
| setelah dipadatkan + siklus | 158,77 % |
| setelah dikonsolidasi       | 84,8 %   |

### Dimensi Ring :

|  |   |                        |
|--|---|------------------------|
| Diameter                                   | = | 6,35 cm                |
| Luasan, A                                  | = | 31,682 cm <sup>2</sup> |
| Tinggi Ring, Ht                            | = | 1,96 cm                |
|  |   |                        |
| Tinggi Awal tanah , Hi                     | = | 1,96 cm                |
| spesific gravity of soil, Gs               | = | 1,459                  |
| berat ring + tanah                         | = | 125,3 gram             |
| berat ring                                 | = | 62,50 gram             |
| berat tanah basah, Wt                      | = | 62,75 gram             |
| computed dry weight of soil, W's           | = | 24,25                  |
| berat tanah kering oven, <sup>a</sup> Ws   | = | 31,25 gram             |
| <u>Computed Ht. of soilids<sup>b</sup></u> |   |                        |
| Ho = W's / Gs * A                          | = | 0,525                  |
| initial Ht. of voids                       |   |                        |
| Hv = Hi - Ho                               | = | 1,435                  |

### Initial degree of saturation

|   |   |       |
|---|---|-------|
| Si = (Wt - Ws)/(Hi - Ho) * A                | = | 0,693 |
| Initial void ratio e <sub>o</sub> = Hv / Ho | = | 2,737 |

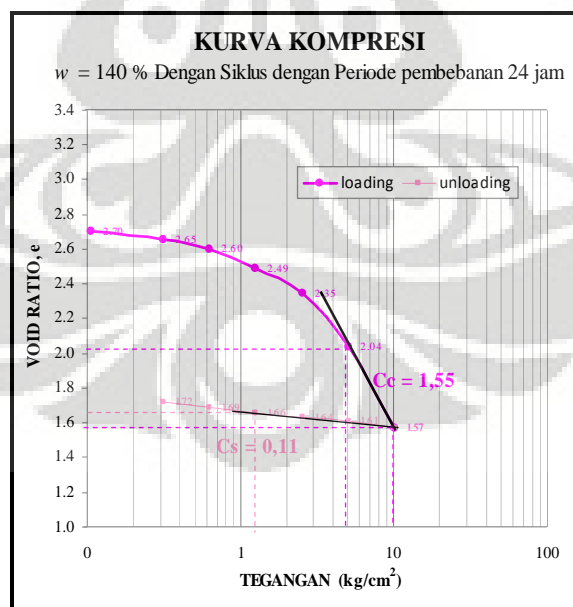
### final test data (obtained at and of load testing )

|   |        |
|---|--------|
| initial dial reading                                    | 0,0662 |
| final dial reading                                      | 0,5801 |
| change in sample, ht                                    | 0,5139 |
| final ht. of void, H <sub>vf</sub>                      | 0,922  |
| final void ratio, ef = H <sub>vf</sub> / H <sub>o</sub> | 1,757  |

Tabel 8 Analisa Angka Pori

| load<br>(kPa) | def. dial reading at<br>end of load, acm | change sample<br>ht., H,cm | change in void<br>ratio, $e = H / H_0$ | inst void ratio<br>$e$ |
|---------------|--|----------------------------|--|------------------------|
| 0             | 0,048                                    | 0,0000                     | 0,0000                                 | 2,7368                 |
| 1             | 0,0662                                   | 0,0182                     | 0,0347                                 | 2,7021                 |
| 3             | 0,0922                                   | 0,0260                     | 0,0496                                 | 2,6525                 |
| 6             | 0,1178                                   | 0,0256                     | 0,0488                                 | 2,6037                 |
| 13            | 0,1787                                   | 0,0609                     | 0,1161                                 | 2,4876                 |
| 25            | 0,2509                                   | 0,0722                     | 0,1377                                 | 2,3500                 |
| 51            | 0,4137                                   | 0,1628                     | 0,3104                                 | 2,0396                 |
| 101           | 0,659                                    | 0,2453                     | 0,4677                                 | 1,5719                 |
|               |  |                            |  |                        |
| 51            | 0,6379                                   | 0,0211                     | 0,0402                                 | 1,6121                 |
| 25            | 0,6254                                   | 0,0125                     | 0,0238                                 | 1,6360                 |
| 13            | 0,6154                                   | 0,0100                     | 0,0191                                 | 1,6550                 |
| 6             | 0,5989                                   | 0,0165                     | 0,0315                                 | 1,6865                 |
| 3             | 0,5801                                   | 0,0188                     | 0,0358                                 | 1,7223                 |

Gambar 6 Kurva kompresi kadar air pemandaman 140 % kondisi siklus – 24 jam setelah dipadatkan



## 1.5 Hasil Uji Kompresi Tanah Gambut Kadar Air 140 % Pada Kondisi Siklus Pembasahan Dan Pengeringan Dengan Periode Waktu Pembebaan 72 Jam

Ket: Siklus perendaman 6 hari,

Siklus pengeringan 4 hari

|                             |         |   |
|-----------------------------|---------|---|
| kadar air                   | 143,327 | % |
| setelah dipadatkan + siklus | 164,25  | % |
| setelah dikonsolidasi       | 95,8    | % |

Tabel 9 Pembacaan Penurunan Uji Konsolidasi

| HEIGHT         |               | kalibrasi alat $10^{-3}$ mm |        |        |        |        |        |        |
|----------------|---------------|-----------------------------|--------|--------|--------|--------|--------|--------|
| LOADING (Kg)   |               | 0,333                       | 1      | 2      | 4      | 8      | 16     | 32     |
| PRESSURE (kPa) |               | 1                           | 3      | 6      | 13     | 25     | 50     | 101    |
| time           | $\sqrt{time}$ | penurunan (cm)              |        |        |        |        |        |        |
| 0              | 0,00          | 0,0318                      | 0,0464 | 0,0670 | 0,1118 | 0,2250 | 0,3552 | 0,5377 |
| 0,1            | 0,32          |                             | 0,0523 | 0,0762 | 0,1262 | 0,2480 | 0,3626 | 0,5542 |
| 0,25           | 0,50          |                             | 0,0534 | 0,0778 | 0,1308 | 0,2504 | 0,3654 | 0,5688 |
| 0,5            | 0,71          |                             | 0,0548 | 0,0792 | 0,1322 | 0,2535 | 0,3682 | 0,5712 |
| 1              | 1,00          |                             | 0,0558 | 0,0808 | 0,1344 | 0,2555 | 0,3695 | 0,5764 |
| 2              | 1,41          |                             | 0,0562 | 0,0822 | 0,1372 | 0,2586 | 0,3722 | 0,5796 |
| 4              | 2,00          |                             | 0,0568 | 0,0840 | 0,1404 | 0,2628 | 0,3773 | 0,5850 |
| 8              | 2,83          |                             | 0,0573 | 0,0853 | 0,1439 | 0,2672 | 0,3842 | 0,5895 |
| 15             | 3,87          |                             | 0,0580 | 0,0868 | 0,1462 | 0,2718 | 0,3923 | 0,5938 |
| 30             | 5,48          |                             | 0,0589 | 0,0882 | 0,1499 | 0,2783 | 0,4165 | 0,6120 |
| 60             | 7,75          |                             | 0,0591 | 0,0901 | 0,1526 | 0,2828 | 0,4428 | 0,6379 |
| 1440           | 37,95         |                             | 0,0650 | 0,1024 | 0,1942 | 0,3352 | 0,4987 | 0,7244 |
| 2880           | 53,67         |                             | 0,0659 | 0,1078 | 0,2120 | 0,3493 | 0,5254 | 0,7322 |
| 4320           | 65,73         | 0,0464                      | 0,0670 | 0,1118 | 0,2250 | 0,3552 | 0,5377 | 0,7389 |
| UNLOADING      |               | 0,0000                      | 0,6892 | 0,6943 | 0,7080 | 0,7130 | 0,7282 | 0,7389 |

tabel 10 analisa regangan

| LOADING (Kg)   |                      | 0,333          | 1       | 2       | 4       | 8       | 16      | 32      |
|----------------|----------------------|----------------|---------|---------|---------|---------|---------|---------|
| PRESSURE (kPa) |                      | 1              | 3       | 6       | 13      | 25      | 50      | 101     |
| time           | $\sqrt{\text{time}}$ | regangan ( % ) |         |         |         |         |         |         |
| 0              | 0,00                 | 0,0000         | 0,7300  | 1,7600  | 3,9975  | 9,6600  | 16,1700 | 25,2950 |
| 0,1            | 0,32                 |                | 1,0250  | 2,2200  | 4,7200  | 10,8100 | 16,5400 | 26,1200 |
| 0,25           | 0,50                 |                | 1,0800  | 2,3000  | 4,9500  | 10,9300 | 16,6800 | 26,8500 |
| 0,5            | 0,71                 |                | 1,1500  | 2,3675  | 5,0200  | 11,0850 | 16,8200 | 26,9675 |
| 1              | 1,00                 |                | 1,1975  | 2,4500  | 5,1300  | 11,1850 | 16,8850 | 27,2300 |
| 2              | 1,41                 |                | 1,2175  | 2,5200  | 5,2700  | 11,3400 | 17,0200 | 27,3900 |
| 4              | 2,00                 |                | 1,2475  | 2,6100  | 5,4275  | 11,5500 | 17,2750 | 27,6600 |
| 8              | 2,83                 |                | 1,2750  | 2,6750  | 5,6025  | 11,7675 | 17,6175 | 27,8850 |
| 15             | 3,87                 |                | 1,3100  | 2,7475  | 5,7175  | 12,0000 | 18,0250 | 28,1000 |
| 30             | 5,48                 |                | 1,3525  | 2,8175  | 5,9050  | 12,3250 | 19,2350 | 29,0100 |
| 60             | 7,75                 |                | 1,3650  | 2,9150  | 6,0400  | 12,5500 | 20,5500 | 30,3050 |
| 1440           | 37,95                |                | 1,6575  | 3,5275  | 8,1200  | 15,1700 | 23,3450 | 34,6298 |
| 2880           | 53,67                |                | 1,7050  | 3,8020  | 9,0100  | 15,8750 | 24,6800 | 35,0200 |
| 4320           | 65,73                | 0,7300         | 1,7600  | 3,9975  | 9,6600  | 16,1700 | 25,2950 | 35,3550 |
| UNLOADING      |                      |                | 32,8700 | 33,1250 | 33,8100 | 34,0600 | 34,8200 | 35,3550 |

### Pengolahan Data Konsolidasi

#### Dimensi Ring :

|  |   |                        |
|--|---|------------------------|
| Diameter                                 | = | 6,36 cm                |
| Luasan, A                                | = | 31,782 cm <sup>2</sup> |
| Tinggi Ring, Ht                          | = | 2 cm                   |
| Tinggi Awal tanah , Hi                   | = | 2 cm                   |
| spesific gravity of soil, Gs             | = | 1,459                  |
| berat ring + tanah                       | = | 128,1 gram             |
| berat ring                               | = | 60,35 gram             |
| berat tanah basah, Wt                    | = | 67,75 gram             |
| computed dry weight of soil, W's         | = | 25,64                  |
| berat tanah kering oven, <sup>a</sup> Ws | = | 29,22 gram             |

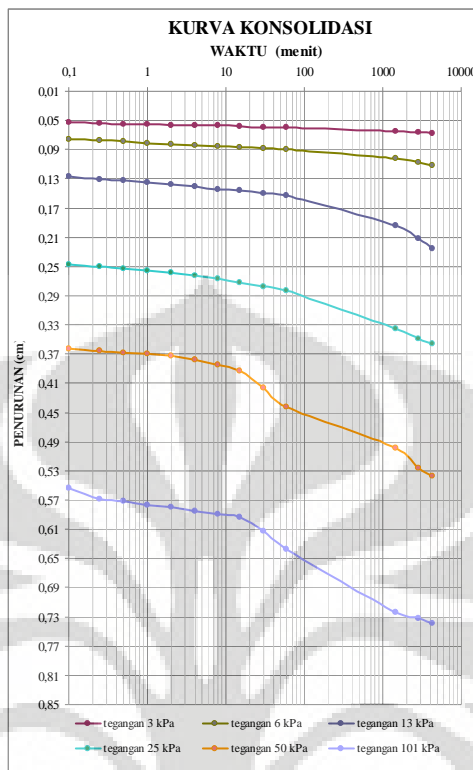
#### Computed Ht. of soilids<sup>b</sup>

$$\begin{aligned} \text{Ho} = \text{W's} / \text{Gs} * \text{A} &= 0,553 \\ \text{initial Ht. of voids} \\ \text{Hv} = \text{Hi} - \text{Ho} &= 1,447 \end{aligned}$$

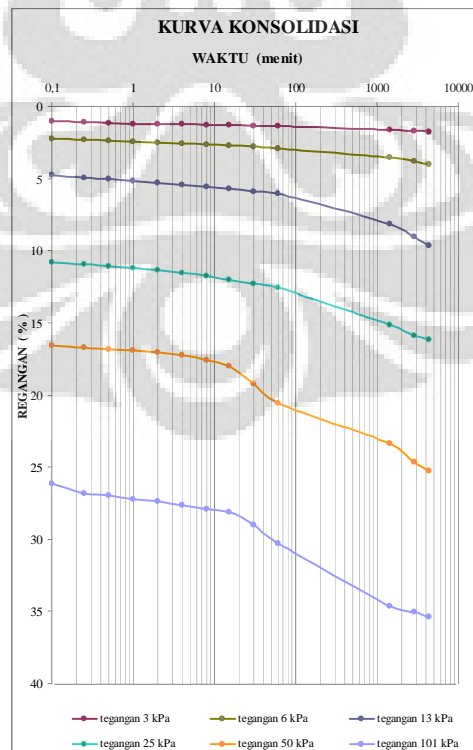
#### Initial degree of saturation

$$\begin{aligned} \text{Si} = (\text{Wt} - \text{Ws}) / (\text{Hi} - \text{Ho}) * \text{A} &= 0,838 \\ \text{Initial void ratio } e_0 = \text{Hv} / \text{Ho} &= 2,618 \end{aligned}$$

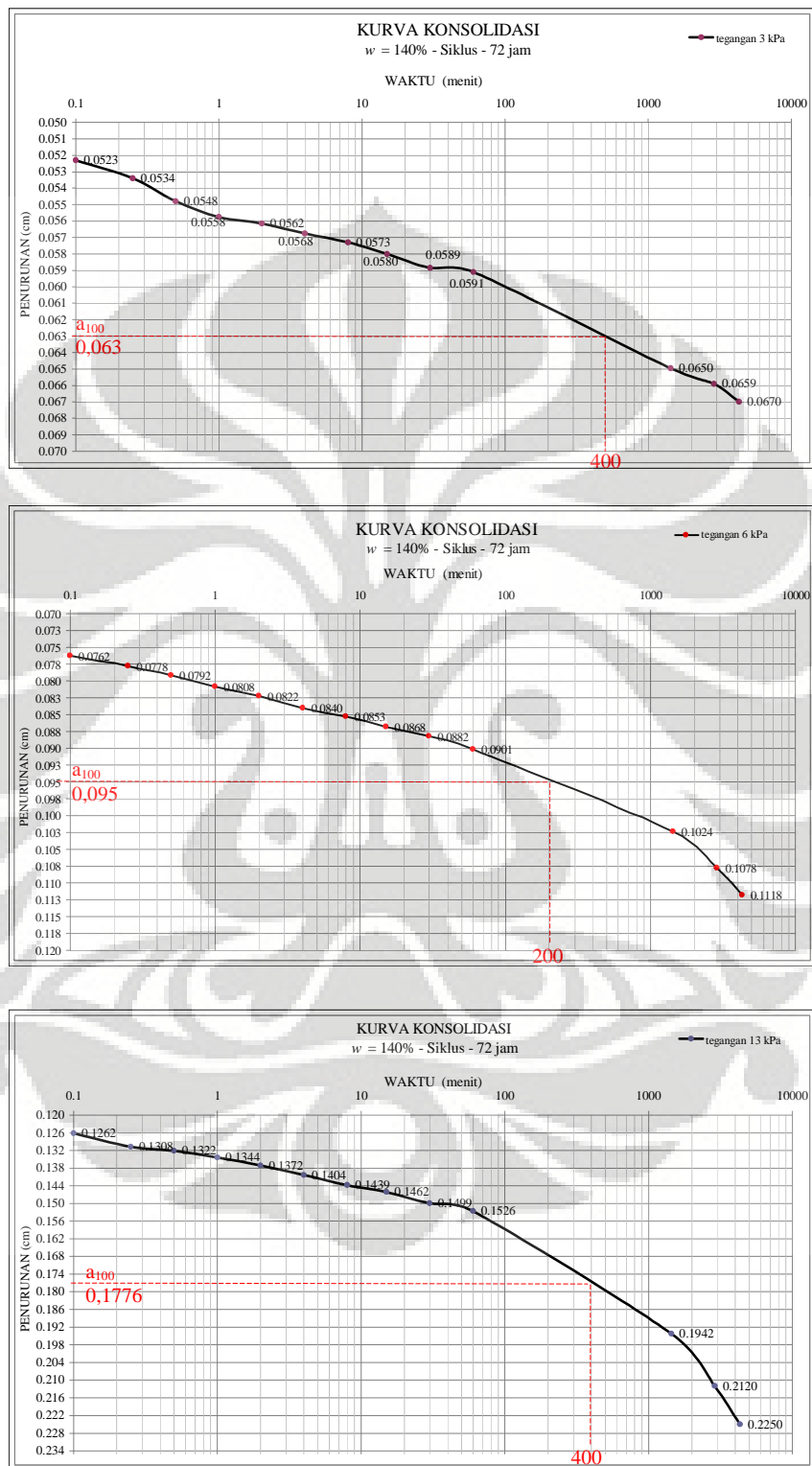
Gambar 7 kurva konsolidasi (penurunan Vs waktu)  
kadar Air 140% Pada Kondisi Siklus – 72 jam



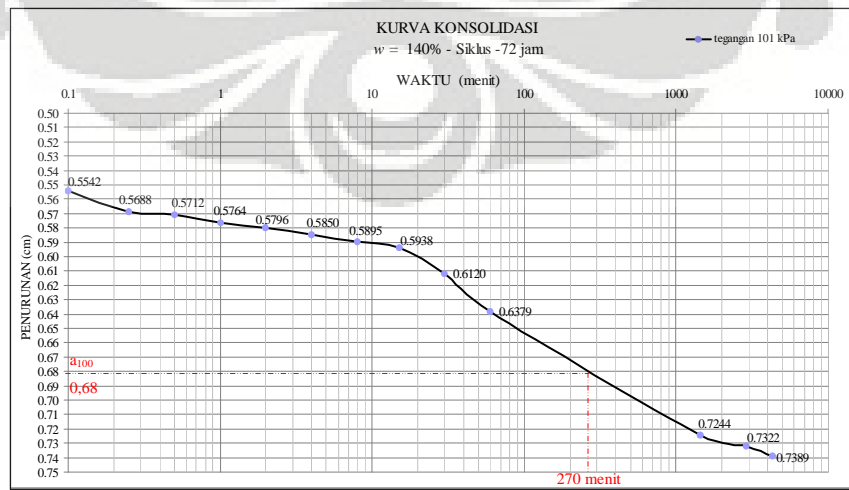
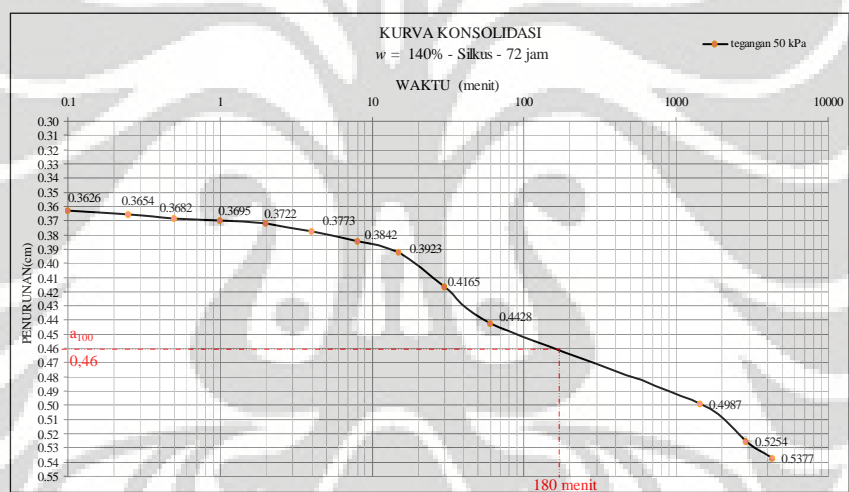
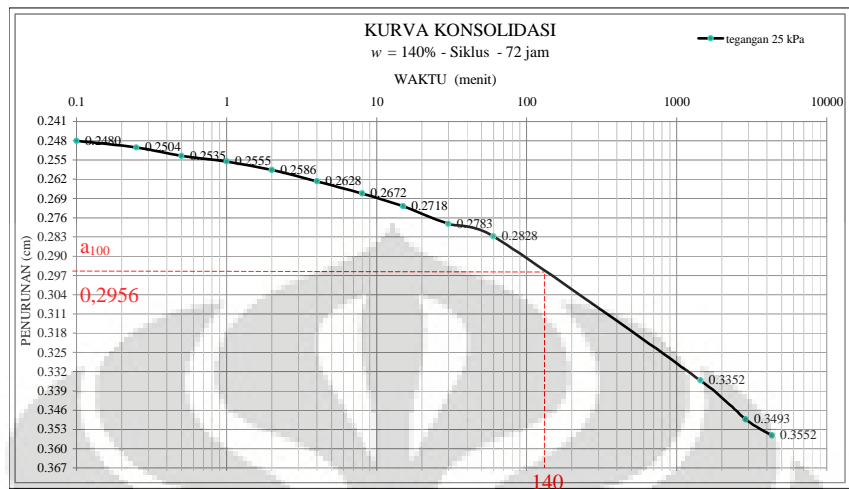
Gambar 8 kurva konsolidasi (regangan Vs waktu)  
kadar Air 140% Pada Kondisi Siklus – 72 jam



**Kurva Konsolidasi kadar Air 140% Pada Kondisi Siklus – 72 jam**  
**Menentukan  $a_{100}$  Tiap Pembebanan**



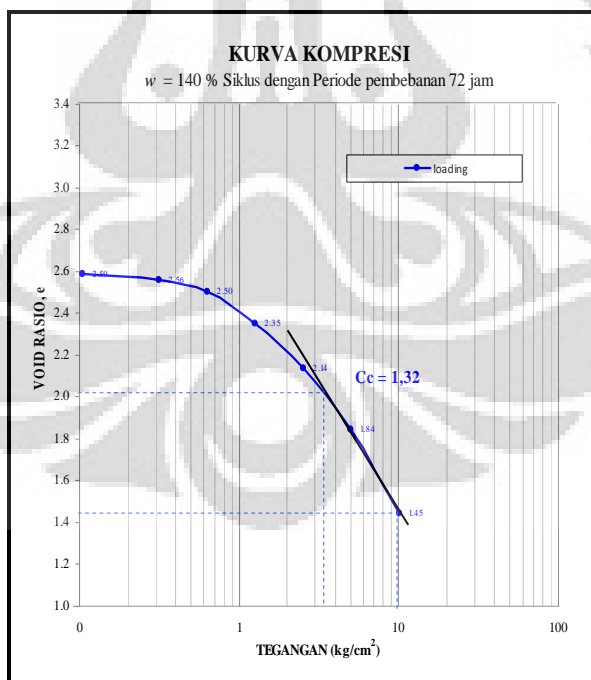
**Kurva Konsolidasi kadar Air 140% Pada Kondisi Siklus – 72 jam**  
**Menentukan  $a_{100}$  Tiap Pembebanan**



Tabel 11 Analisa Angka Pori pada akhir konsolidasi primer

| Pressure (kPa) | def. dial reading at end of primer consolidation, acm | change sample ht., H,cm | change in void ratio, $e = H / H_0$ | inst void ratio e |
|----------------|---|-------------------------|-------------------------------------|-------------------|
| 0              | 0,0318  | 0,0000                  | 0,0000                              | 2,6178            |
| 1              | 0,0464  | 0,0146                  | 0,0264                              | 2,5914            |
| 3              | 0,0630  | 0,0166                  | 0,0300                              | 2,5614            |
| 6              | 0,0950  | 0,0320                  | 0,0579                              | 2,5035            |
| 13             | 0,1776  | 0,0826                  | 0,1494                              | 2,3541            |
| 25             | 0,2956  | 0,1180                  | 0,2135                              | 2,1406            |
| 50             | 0,4600  | 0,1644                  | 0,2974                              | 1,8432            |
| 101            | 0,6800  | 0,2200                  | 0,3980                              | 1,4453            |

Gambar 9 Kurva kompresi kadar air pemandatan 140 % kondisi siklus – 72 jam setelah dipadatkan





**LAMPIRAN 2**  
**HASIL UJI KOMPRESI TANAH GAMBUT  $W = 160\%$**

---

---

## 2.1 Hasil Uji Kompresi Tanah Gambut Kadar Air 160 % Pada Kondisi Tanpa Siklus Periode Waktu Pembebaan 24 jam

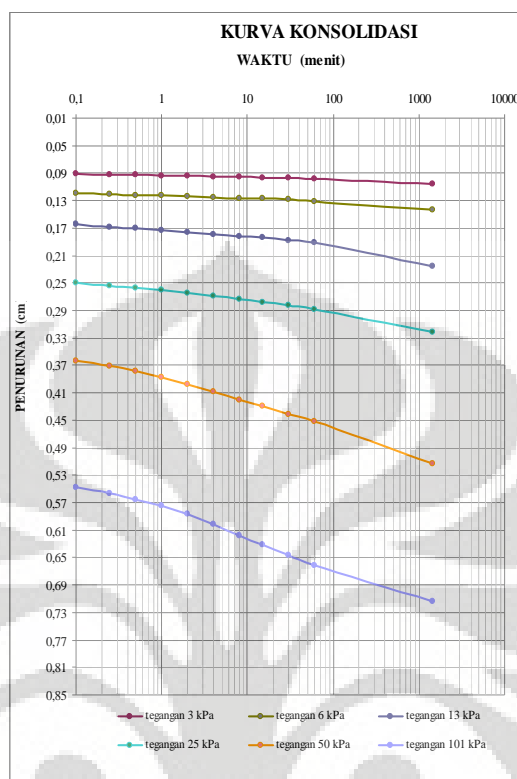
Tabel 12 Pembacaan Penurunan Uji Konsolidasi

| HEIGHT         |               | kalibrasi alat $10^{-3}$ mm |        |        |        |        |        |        |
|----------------|---------------|-----------------------------|--------|--------|--------|--------|--------|--------|
| LOADING (Kg)   |               | 0,333                       | 1      | 2      | 4      | 8      | 16     | 32     |
| PRESSURE (kPa) |               | 1                           | 3      | 6      | 13     | 25     | 50     | 101    |
| time           | $\sqrt{time}$ | penurunan (cm)              |        |        |        |        |        |        |
| 0              | 0,00          | 0,0880                      | 0,0894 | 0,1060 | 0,1430 | 0,2249 | 0,3210 | 0,5126 |
| 0,1            | 0,32          |                             | 0,0908 | 0,1190 | 0,1645 | 0,2500 | 0,3630 | 0,5480 |
| 0,25           | 0,50          |                             | 0,0920 | 0,1205 | 0,1680 | 0,2538 | 0,3710 | 0,5570 |
| 0,5            | 0,71          |                             | 0,0927 | 0,1217 | 0,1705 | 0,2570 | 0,3790 | 0,5650 |
| 1              | 1,00          |                             | 0,0932 | 0,1228 | 0,1730 | 0,2608 | 0,3878 | 0,5750 |
| 2              | 1,41          |                             | 0,0940 | 0,1239 | 0,1760 | 0,2650 | 0,3975 | 0,5865 |
| 4              | 2,00          |                             | 0,0948 | 0,1250 | 0,1788 | 0,2692 | 0,4085 | 0,6020 |
| 8              | 2,83          |                             | 0,0953 | 0,1262 | 0,1815 | 0,2738 | 0,4196 | 0,6172 |
| 15             | 3,87          |                             | 0,0961 | 0,1274 | 0,1842 | 0,2781 | 0,4298 | 0,6314 |
| 30             | 5,48          |                             | 0,0970 | 0,1290 | 0,1875 | 0,2832 | 0,4410 | 0,6467 |
| 60             | 7,75          |                             | 0,0982 | 0,1308 | 0,1910 | 0,2890 | 0,4520 | 0,6610 |
| 1440           | 37,95         | 0,0894                      | 0,1060 | 0,1430 | 0,2249 | 0,3210 | 0,5126 | 0,7140 |
| UNLOADING      |               | 0                           | 0,6598 | 0,6653 | 0,6708 | 0,6836 | 0,7055 | 0,7140 |

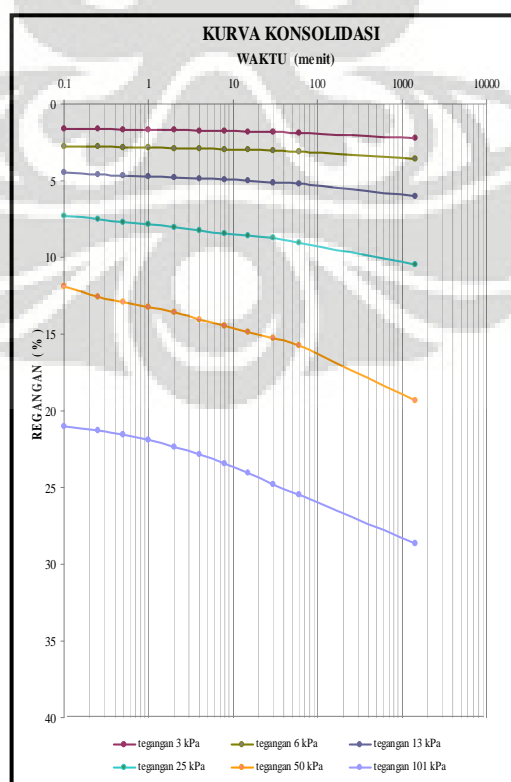
Tabel 13 Analisa Regangan

| LOADING (Kg)   |               | 0,333          | 1      | 2      | 4      | 8      | 16     | 32     |
|----------------|---------------|----------------|--------|--------|--------|--------|--------|--------|
| PRESSURE (kPa) |               | 1              | 3      | 6      | 13     | 25     | 50     | 101    |
| time           | $\sqrt{time}$ | regangan ( % ) |        |        |        |        |        |        |
| 0              | 0,00          | 0,000          | 0,070  | 0,900  | 2,750  | 6,845  | 11,650 | 21,230 |
| 0,1            | 0,32          |                | 0,140  | 1,550  | 3,825  | 8,100  | 13,750 | 23,000 |
| 0,25           | 0,50          |                | 0,200  | 1,625  | 4,000  | 8,290  | 14,150 | 23,450 |
| 0,5            | 0,71          |                | 0,235  | 1,685  | 4,125  | 8,450  | 14,550 | 23,850 |
| 1              | 1,00          |                | 0,260  | 1,740  | 4,250  | 8,640  | 14,990 | 24,350 |
| 2              | 1,41          |                | 0,300  | 1,795  | 4,400  | 8,850  | 15,475 | 24,925 |
| 4              | 2,00          |                | 0,340  | 1,850  | 4,540  | 9,058  | 16,025 | 25,700 |
| 8              | 2,83          |                | 0,363  | 1,910  | 4,675  | 9,290  | 16,580 | 26,460 |
| 15             | 3,87          |                | 0,405  | 1,970  | 4,810  | 9,505  | 17,090 | 27,170 |
| 30             | 5,48          |                | 0,450  | 2,050  | 4,975  | 9,760  | 17,650 | 27,935 |
| 60             | 7,75          |                | 0,510  | 2,140  | 5,150  | 10,050 | 18,200 | 28,650 |
| 1440           | 37,95         | 0,070          | 0,900  | 2,750  | 6,845  | 11,650 | 21,230 | 31,300 |
| UNLOADING      |               |                | 28,590 | 28,865 | 29,141 | 29,780 | 30,875 | 31,300 |

Gambar 10 kurva konsolidasi (penurunan Vs waktu)  
Kadar Air 160% Pada Kondisi Tanpa Siklus



Gambar 11 kurva konsolidasi (regangan Vs waktu)  
Kadar Air 160% Pada Kondisi Tanpa Siklus



## Pengolahan data konsolidasi

Tabel 14 Kadar air uji konsolidasi kondisi tanpa siklus – 24 jam

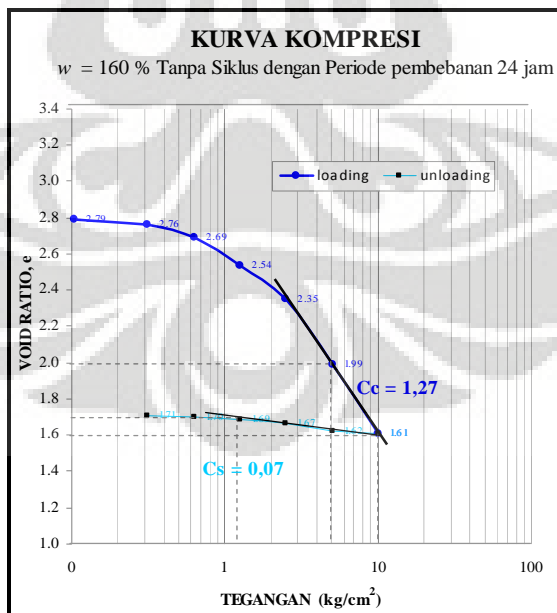
|                       |          |
|-----------------------|----------|
| kadar air awal        | 161,98 % |
| setelah dipadatkan    | 161,29 % |
| setelah dikonsolidasi | 131,96 % |

|   |   |                        |
|---|---|------------------------|
| Diameter  | = | 6,355 cm               |
| Luasan, A   | = | 31,732 cm <sup>2</sup> |
| Tinggi Ring, Ht   | = | 2 cm                   |
| Tinggi Awal tanah , Hi                                    | = | 2 cm                   |
| spesific gravity of soil, Gs                              | = | 1,459                  |
| berat ring + tanah  | = | 122,5 gram             |
| berat ring  | = | 58,75 gram             |
| berat tanah basah, Wt                                     | = | 63,75 gram             |
| computed dry weight of soil, W's                          | = | 24,40                  |
| berat tanah kering oven, <sup>a</sup> Ws                  | = | 24,25 gram             |
| <u>Computed Ht. of soilids<sup>b</sup></u>                |   |                        |
| Ho = W's / Gs * A   | = | 0,527                  |
| initial Ht. of voids                                      |   |                        |
| Hv = Hi - Ho  | = | 1,473                  |
| <u>Initial degree of saturation</u>                       |   |                        |
| Si = (Wt - Ws)/(Hi - Ho) * A                              | = | 0,845                  |
| Initial void ratio e <sub>o</sub> = Hv / Ho               | = | 2,796                  |
| <u>final test data (obtained at and of load testing )</u> |   |                        |
| initial dial reading                                      |   | 0,0894                 |
| final dial reading  |   | 0,6598                 |
| change in sample, ht                                      |   | 0,5704                 |
| final ht. of void, H <sub>vf</sub>                        |   | 0,903                  |
| final void ratio, ef = H <sub>vf</sub> / H <sub>o</sub>   |   | 1,713                  |

Tabel 15 Analisa Angka Pori Pada Akhir Pembebanan

| Load (kPa) | def. dial reading at end of load, cm | change sample ht., H,cm | change in void ratio, $e = H / H_0$ | inst void ratio e |
|------------|--------------------------------------|-------------------------|-------------------------------------|-------------------|
| 0          | 0,0880                               | 0,0000                  | 0,0000                              | 2,7958            |
| 1          | 0,0894                               | 0,0014                  | 0,0027                              | 2,7931            |
| 3          | 0,1060                               | 0,0166                  | 0,0315                              | 2,7616            |
| 6          | 0,1430                               | 0,0370                  | 0,0702                              | 2,6914            |
| 13         | 0,2249                               | 0,0819                  | 0,1554                              | 2,5359            |
| 25         | 0,3210                               | 0,0961                  | 0,1824                              | 2,3536            |
| 51         | 0,5126                               | 0,1916                  | 0,3636                              | 1,9899            |
| 101        | 0,7140                               | 0,2014                  | 0,3822                              | 1,6077            |
|            |                                      |                         |                                     |                   |
| 51         | 0,7055                               | 0,0085                  | 0,0161                              | 1,6238            |
| 25         | 0,6836                               | 0,0219                  | 0,0416                              | 1,6654            |
| 13         | 0,6708                               | 0,0128                  | 0,0243                              | 1,6896            |
| 6          | 0,6653                               | 0,0055                  | 0,0105                              | 1,7001            |
| 3          | 0,6598                               | 0,0055                  | 0,0104                              | 1,7106            |

Gambar 12 Kurva kompresi kadar air pemedatan 160 % kondisi tanpa siklus setelah dipadatkan



## 2.2 Hasil Uji Kompresi Tanah Gambut Kadar Air 160 % Pada Kondisi Siklus Pembasahan Dan Pengeringan Dengan Periode Waktu Pembebaan 24 Jam

Ket: Siklus perendaman 6 hari, Siklus pengeringan 7 hari

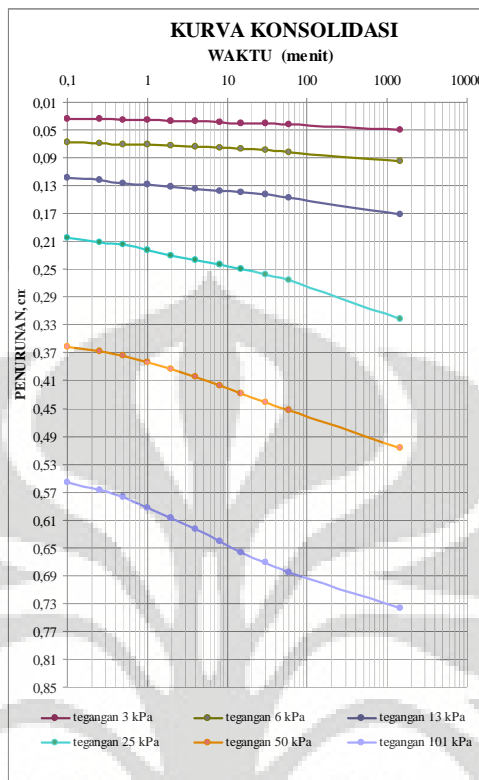
Tabel 16 Pembacaan Penurunan Uji Konsolidasi

| HEIGHT         |               | kalibrasi alat $10^{-3}$ mm |        |        |        |        |        |        |
|----------------|---------------|-----------------------------|--------|--------|--------|--------|--------|--------|
| LOADING (Kg)   |               | 0,333                       | 1      | 2      | 4      | 8      | 16     | 32     |
| PRESSURE (kPa) |               | 1                           | 3      | 6      | 13     | 25     | 50     | 101    |
| time           | $\sqrt{time}$ | penurunan (cm)              |        |        |        |        |        |        |
| 0              | 0,00          | 0,0130                      | 0,0194 | 0,0505 | 0,0942 | 0,1706 | 0,3222 | 0,5060 |
| 0,1            | 0,32          |                             | 0,0335 | 0,0670 | 0,1190 | 0,2050 | 0,3614 | 0,5560 |
| 0,25           | 0,50          |                             | 0,0345 | 0,0688 | 0,1225 | 0,2110 | 0,3681 | 0,5680 |
| 0,5            | 0,71          |                             | 0,0352 | 0,0700 | 0,1260 | 0,2150 | 0,3748 | 0,5768 |
| 1              | 1,00          |                             | 0,0360 | 0,0713 | 0,1285 | 0,2225 | 0,3830 | 0,5927 |
| 2              | 1,41          |                             | 0,0368 | 0,0726 | 0,1312 | 0,2300 | 0,3930 | 0,6072 |
| 4              | 2,00          |                             | 0,0375 | 0,0740 | 0,1350 | 0,2365 | 0,4046 | 0,6240 |
| 8              | 2,83          |                             | 0,0385 | 0,0759 | 0,1380 | 0,2433 | 0,4165 | 0,6402 |
| 15             | 3,87          |                             | 0,0396 | 0,0775 | 0,1398 | 0,2498 | 0,4277 | 0,6560 |
| 30             | 5,48          |                             | 0,0407 | 0,0792 | 0,1432 | 0,2570 | 0,4408 | 0,6710 |
| 60             | 7,75          |                             | 0,0420 | 0,0816 | 0,1472 | 0,2650 | 0,4518 | 0,6854 |
| 1440           | 37,95         | 0,0194                      | 0,0505 | 0,0942 | 0,1706 | 0,3222 | 0,5060 | 0,7370 |
| UNLOADING      |               | 0                           | 0,6732 | 0,6875 | 0,6973 | 0,7108 | 0,7229 | 0,7370 |

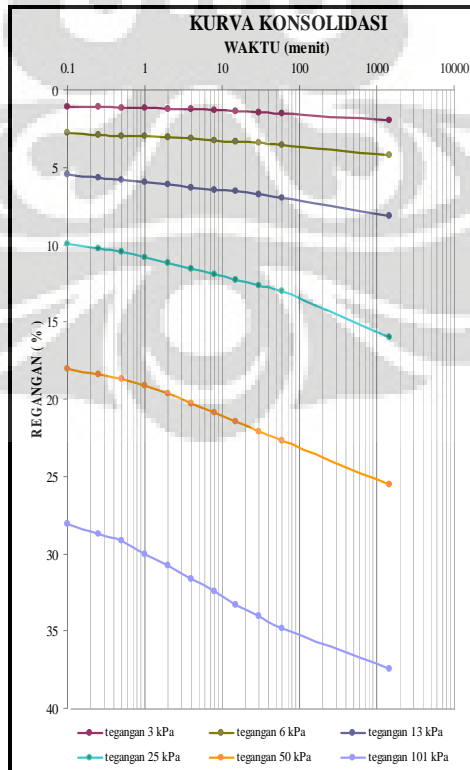
Tabel 17 Analisa Regangan

| LOADING (Kg)   |               | 0,333          | 1      | 2      | 4      | 8      | 16     | 32     |
|----------------|---------------|----------------|--------|--------|--------|--------|--------|--------|
| PRESSURE (kPa) |               | 1              | 3      | 6      | 13     | 25     | 50     | 101    |
| time           | $\sqrt{time}$ | regangan ( % ) |        |        |        |        |        |        |
| 0              | 0,00          | 0,000          | 0,331  | 1,941  | 4,203  | 8,157  | 16,004 | 25,518 |
| 0,1            | 0,32          |                | 1,061  | 2,795  | 5,487  | 9,938  | 18,033 | 28,106 |
| 0,25           | 0,50          |                | 1,113  | 2,888  | 5,668  | 10,248 | 18,380 | 28,727 |
| 0,5            | 0,71          |                | 1,149  | 2,950  | 5,849  | 10,455 | 18,727 | 29,182 |
| 1              | 1,00          |                | 1,190  | 3,018  | 5,978  | 10,844 | 19,151 | 30,005 |
| 2              | 1,41          |                | 1,232  | 3,085  | 6,118  | 11,232 | 19,669 | 30,756 |
| 4              | 2,00          |                | 1,268  | 3,157  | 6,315  | 11,568 | 20,269 | 31,625 |
| 8              | 2,83          |                | 1,320  | 3,256  | 6,470  | 11,920 | 20,885 | 32,464 |
| 15             | 3,87          |                | 1,377  | 3,339  | 6,563  | 12,257 | 21,465 | 33,282 |
| 30             | 5,48          |                | 1,434  | 3,427  | 6,739  | 12,629 | 22,143 | 34,058 |
| 60             | 7,75          |                | 1,501  | 3,551  | 6,946  | 13,043 | 22,712 | 34,803 |
| 1440           | 37,95         | 0,331          | 1,941  | 4,203  | 8,157  | 16,004 | 25,518 | 37,474 |
| UNLOADING      |               |                | 34,172 | 34,912 | 35,419 | 36,118 | 36,744 | 37,474 |

Gambar 13 kurva konsolidasi (penurunan Vs waktu)  
Kadar Air 160% Pada Kondisi Siklus – 24 jam



Gambar 14 kurva konsolidasi (regangan Vs waktu)  
Kadar Air 160% Pada Kondisi Siklus – 24 jam



## Pengolahan data konsolidasi

Tabel 18 Kadar air uji konsolidasi kondisi siklus – 24 jam

|                             |          |
|-----------------------------|----------|
| kadar air awal              | 160,59 % |
| setelah dipadatkan + siklus | 165,69 % |
| setelah dikonsolidasi       | 135,6 %  |

Dimensi Ring :

|  |   |                        |
|--|---|------------------------|
| Diameter                                 | = | 6,352 cm               |
| Luasan, A                                | = | 31,702 cm <sup>2</sup> |
| Tinggi Ring, Ht                          | = | 1,932 cm               |
| Tinggi Awal tanah , Hi                   | = | 1,932 cm               |
| spesific gravity of soil, Gs             | = | 1,459                  |
| berat ring + tanah                       | = | 122,0 gram             |
| berat ring                               | = | 62,50 gram             |
| berat tanah basah, Wt                    | = | 59,50 gram             |
| computed dry weight of soil, W's         | = | 22,39                  |
| berat tanah kering oven, <sup>a</sup> Ws | = | 22,50 gram             |

Computed Ht. of soilids<sup>b</sup>

$$Ho = W's / Gs * A \quad = \quad 0,484$$

initial Ht. of voids

$$Hv = Hi - Ho \quad = \quad 1,448$$

Initial degree of saturation

$$Si = (Wt - Ws) / (Hi - Ho) * A \quad = \quad 0,806$$

$$\text{Initial void ratio } e_o = Hv / Ho \quad = \quad 2,991$$

final test data (obtained at and of load testing )

$$\text{initial dial reading} \quad 0,0194$$

$$\text{final dial reading} \quad 0,6732$$

$$\text{change in sample, ht} \quad 0,6538$$

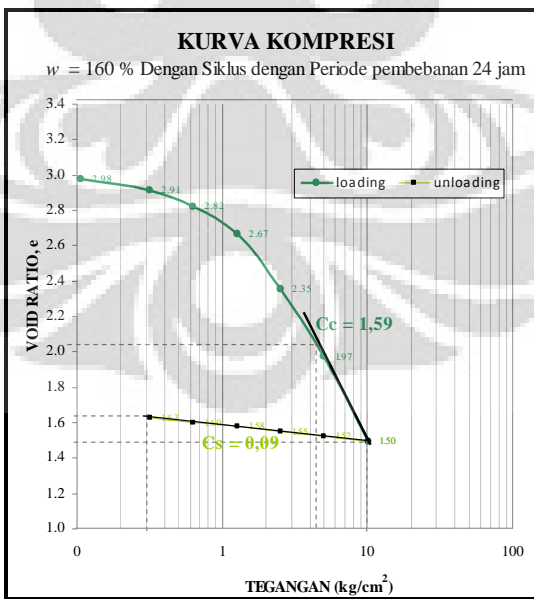
$$\text{final ht. of void, } H_{vf} \quad 0,794$$

$$\text{final void ratio, } ef = H_{vf} / H_o \quad 1,640$$

Tabel 19 Analisa Angka Pori Pada Akhir Pembebanan

| load<br>(kPa) | def. dial reading at<br>end of load, cm | change sample<br>ht., H,cm | change in void<br>ratio, e = H / Ho | inst void ratio e |
|---------------|---|----------------------------|-------------------------------------|-------------------|
| 0             | 0,013                                   | 0,000                      | 0,000                               | 2,991             |
| 1             | 0,0194                                  | 0,006                      | 0,013                               | 2,978             |
| 3             | 0,0505                                  | 0,031                      | 0,064                               | 2,914             |
| 6             | 0,0942                                  | 0,044                      | 0,090                               | 2,823             |
| 13            | 0,1706                                  | 0,076                      | 0,158                               | 2,665             |
| 25            | 0,3222                                  | 0,152                      | 0,313                               | 2,352             |
| 51            | 0,506                                   | 0,184                      | 0,380                               | 1,973             |
| 101           | 0,737                                   | 0,231                      | 0,477                               | 1,495             |
|               |   |                            |                                     |                   |
| 51            | 0,7229                                  | 0,014                      | 0,029                               | 1,525             |
| 25            | 0,7108                                  | 0,012                      | 0,025                               | 1,550             |
| 13            | 0,6973                                  | 0,014                      | 0,028                               | 1,577             |
| 6             | 0,6875                                  | 0,010                      | 0,020                               | 1,598             |
| 3             | 0,6732                                  | 0,014                      | 0,030                               | 1,627             |

Gambar 15 Kurva kompresi kadar air pemandatan 160 % kondisi siklus – 24 jam setelah dipadatkan



### 2.3 Hasil Uji Kompresi Tanah Gambut Kadar Air 160 % Pada Kondisi Siklus Pembasahan - Pengeringan – Pembasahan Dengan Periode Waktu Pembebanan 24 Jam

Ket Siklus : pembasahan 4 hari - pengeringan 5 hari – pembasahan 4 hari

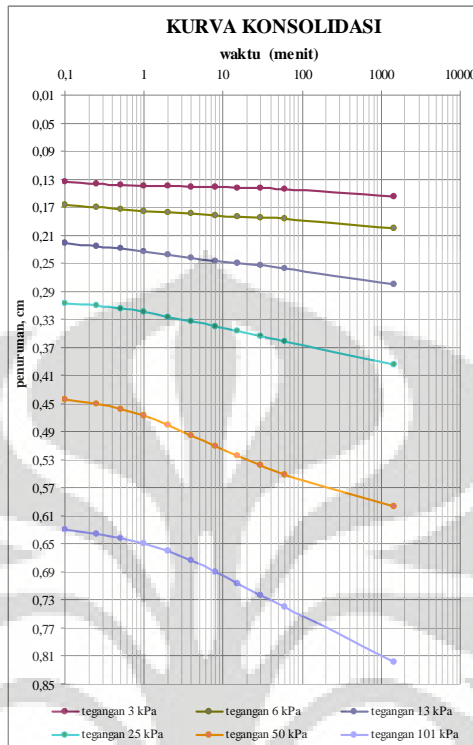
Tabel 20 Pembacaan Penurunan Uji Konsolidasi

| HEIGHT         |               | kalibrasi alat $10^{-3}$ mm |        |        |        |        |        |        |
|----------------|---------------|-----------------------------|--------|--------|--------|--------|--------|--------|
| LOADING (Kg)   |               | 0,333                       | 1      | 2      | 4      | 8      | 16     | 32     |
| PRESSURE (kPa) |               | 1                           | 3      | 6      | 13     | 25     | 51     | 102    |
| time           | $\sqrt{time}$ | penurunan (cm)              |        |        |        |        |        |        |
| 0              | 0,00          | 0,1098                      | 0,1262 | 0,1545 | 0,2003 | 0,2792 | 0,3952 | 0,5965 |
| 0,1            | 0,32          |                             | 0,1340 | 0,1670 | 0,2218 | 0,3065 | 0,4442 | 0,6305 |
| 0,25           | 0,50          |                             | 0,1362 | 0,1701 | 0,2253 | 0,3105 | 0,4500 | 0,6360 |
| 0,5            | 0,71          |                             | 0,1380 | 0,1726 | 0,2292 | 0,3144 | 0,4576 | 0,6418 |
| 1              | 1,00          |                             | 0,1394 | 0,1752 | 0,2338 | 0,3198 | 0,4675 | 0,6490 |
| 2              | 1,41          |                             | 0,1402 | 0,1774 | 0,2380 | 0,3262 | 0,4805 | 0,6602 |
| 4              | 2,00          |                             | 0,1410 | 0,1792 | 0,2422 | 0,3322 | 0,4952 | 0,6742 |
| 8              | 2,83          |                             | 0,1418 | 0,1812 | 0,2462 | 0,3405 | 0,5112 | 0,6908 |
| 15             | 3,87          |                             | 0,1422 | 0,1830 | 0,2498 | 0,3470 | 0,5240 | 0,7068 |
| 30             | 5,48          |                             | 0,1431 | 0,1849 | 0,2534 | 0,3540 | 0,5380 | 0,7237 |
| 60             | 7,75          |                             | 0,1440 | 0,1870 | 0,2574 | 0,3610 | 0,5509 | 0,7393 |
| 1440           | 37,95         | 0,1262                      | 0,1545 | 0,2003 | 0,2792 | 0,3952 | 0,5965 | 0,8177 |
| UNLOADING      |               | 0                           | 0,748  | 0,7581 | 0,7714 | 0,785  | 0,8037 | 0,8177 |

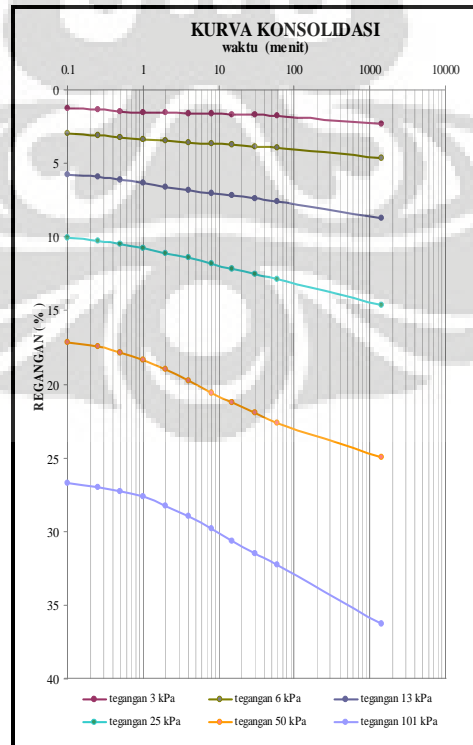
Tabel 21 Analisa Regangan

| LOADING (Kg)   |               | 0,333          | 1      | 2      | 4      | 8      | 16     | 32     |
|----------------|---------------|----------------|--------|--------|--------|--------|--------|--------|
| PRESSURE (kPa) |               | 1              | 3      | 6      | 13     | 25     | 51     | 102    |
| time           | $\sqrt{time}$ | Regangan ( % ) |        |        |        |        |        |        |
| 0              | 0,00          | 0,000          | 0,841  | 2,292  | 4,641  | 8,687  | 14,633 | 24,959 |
| 0,1            | 0,32          |                | 1,241  | 2,933  | 5,744  | 10,087 | 17,149 | 26,703 |
| 0,25           | 0,50          |                | 1,354  | 3,092  | 5,923  | 10,292 | 17,446 | 26,985 |
| 0,5            | 0,71          |                | 1,446  | 3,221  | 6,123  | 10,492 | 17,836 | 27,282 |
| 1              | 1,00          |                | 1,518  | 3,354  | 6,359  | 10,769 | 18,344 | 27,651 |
| 2              | 1,41          |                | 1,559  | 3,467  | 6,574  | 11,095 | 19,010 | 28,226 |
| 4              | 2,00          |                | 1,600  | 3,559  | 6,790  | 11,405 | 19,764 | 28,944 |
| 8              | 2,83          |                | 1,641  | 3,662  | 6,995  | 11,831 | 20,585 | 29,795 |
| 15             | 3,87          |                | 1,662  | 3,751  | 7,179  | 12,164 | 21,241 | 30,615 |
| 30             | 5,48          |                | 1,708  | 3,851  | 7,364  | 12,523 | 21,959 | 31,482 |
| 60             | 7,75          |                | 1,754  | 3,959  | 7,569  | 12,882 | 22,621 | 32,282 |
| 1440           | 37,95         | 0,841          | 2,292  | 4,641  | 8,687  | 14,633 | 24,959 | 36,303 |
| UNLOADING      |               |                | 32,728 | 33,246 | 33,928 | 34,626 | 35,585 | 36,303 |

Gambar 16 kurva konsolidasi (penurunan Vs waktu)  
Kadar Air 160% Pada Kondisi Siklus B K B – 24 jam



Gambar 17 kurva konsolidasi (regangan Vs waktu)  
Kadar Air 160% Pada Kondisi Siklus B K B – 24 jam



## Pengolahan data konsolidasi

Tabel 22 Kadar air uji konsolidasi kondisi siklus BKB– 24 jam

|                             |          |
|-----------------------------|----------|
| kadar air awal              | 160,59%  |
| setelah dipadatkan + siklus | 192,72 % |
| setelah dikonsolidasi       | 106,05 % |

### Dimensi Ring :

|  |   |        |                 |
|--|---|--------|-----------------|
| Diameter                                   | = | 6,33   | cm              |
| Luasan, A                                  | = | 31,483 | cm <sup>2</sup> |
| Tinggi Ring, Ht                            | = | 1,95   | cm              |
| Tinggi Awal tanah , Hi                     | = | 1,95   | cm              |
| spesific gravity of soil, Gs               | = | 1,459  |                 |
| berat ring + tanah                         | = | 122,5  | gram            |
| berat ring                                 | = | 55,20  | gram            |
| berat tanah basah, Wt                      | = | 67,30  | gram            |
| computed dry weight of soil, W's           | = | 22,99  |                 |
| berat tanah kering oven, <sup>a</sup> Ws   | = | 22,14  | gram            |
| <u>Computed Ht. of soilids<sup>b</sup></u> |   |        |                 |
| Ho = W's / Gs * A                          | = | 0,500  |                 |
| initial Ht. of voids                       |   |        |                 |
| Hv = Hi - Ho                               | = | 1,450  |                 |

### Initial degree of saturation

|   |   |       |
|---|---|-------|
| Si = (Wt - Ws)/(Hi - Ho) * A                | = | 0,990 |
| Initial void ratio e <sub>o</sub> = Hv / Ho | = | 2,896 |

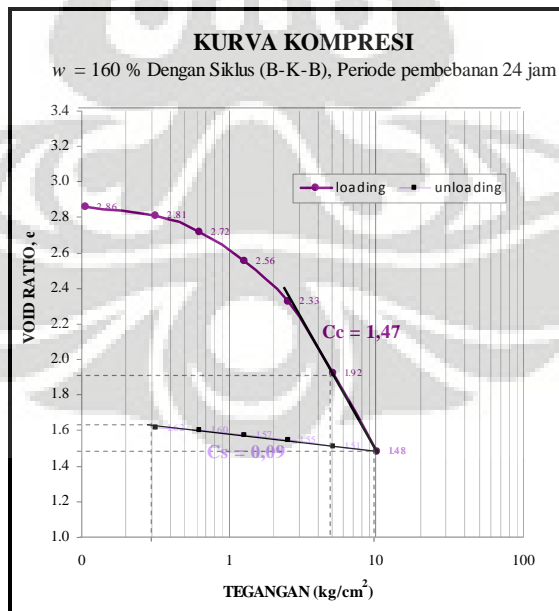
### final test data (obtained at and of load testing )

|   |        |
|---|--------|
| initial dial reading                                    | 0,1262 |
| final dial reading                                      | 0,748  |
| change in sample, ht                                    | 0,6218 |
| final ht. of void, H <sub>vf</sub>                      | 0,828  |
| final void ratio, ef = H <sub>vf</sub> / H <sub>o</sub> | 1,654  |

Tabel 23 Analisa angka pori pada akhir pembebangan

| load (kPa) | def. dial reading at end of load, cm | change sample ht., H,cm | change in void ratio, e = H / Ho | inst void ratio e |
|------------|--------------------------------------|-------------------------|----------------------------------|-------------------|
| 0          | 0,1098                               | 0,000                   | 0,000                            | 2,896             |
| 1          | 0,1262                               | 0,016                   | 0,033                            | 2,864             |
| 3          | 0,1545                               | 0,028                   | 0,057                            | 2,807             |
| 6          | 0,2003                               | 0,046                   | 0,092                            | 2,716             |
| 13         | 0,2792                               | 0,079                   | 0,158                            | 2,558             |
| 25         | 0,3952                               | 0,116                   | 0,232                            | 2,326             |
| 51         | 0,5965                               | 0,201                   | 0,402                            | 1,924             |
| 101        | 0,8177                               | 0,221                   | 0,442                            | 1,482             |
|            |                                      |                         |                                  |                   |
| 51         | 0,8037                               | 0,014                   | 0,028                            | 1,510             |
| 25         | 0,7850                               | 0,019                   | 0,037                            | 1,547             |
| 13         | 0,7714                               | 0,014                   | 0,027                            | 1,574             |
| 6          | 0,7581                               | 0,013                   | 0,027                            | 1,601             |
| 3          | 0,7480                               | 0,010                   | 0,020                            | 1,621             |

Gambar 18 Kurva kompresi kadar air pemandatan 160 % kondisi siklus – 24 jam setelah dipadatkan



## 2.4 Hasil Uji Kompresi Tanah Gambut Kadar Air 160 % Pada Kondisi Siklus Pembasahan Dan Pengeringan Dengan Periode Waktu Pembebaan 72 Jam

Ket: Siklus perendaman 5 hari,

Siklus pengeringan 4 hari

Tabel 24 Pembacaan Penurunan Uji Konsolidasi

| HEIGHT         |               | kalibrasi alat $10^{-3}$ mm |        |        |        |        |        |        |
|----------------|---------------|-----------------------------|--------|--------|--------|--------|--------|--------|
| LOADING (Kg)   |               | 0,333                       | 1      | 2      | 4      | 8      | 16     | 32     |
| PRESSURE (kPa) |               | 1                           | 3      | 6      | 13     | 25     | 51     | 101    |
| time           | $\sqrt{time}$ | penurunan (cm)              |        |        |        |        |        |        |
| 0              | 0,00          | 0,0318                      | 0,0600 | 0,0847 | 0,1208 | 0,1830 | 0,3158 | 0,5302 |
| 0,1            | 0,32          |                             | 0,0617 | 0,0920 | 0,1304 | 0,2040 | 0,3420 | 0,5570 |
| 0,25           | 0,50          |                             | 0,0695 | 0,0940 | 0,1354 | 0,2075 | 0,3464 | 0,5622 |
| 0,5            | 0,71          |                             | 0,0708 | 0,0954 | 0,1373 | 0,2105 | 0,3502 | 0,5660 |
| 1              | 1,00          |                             | 0,0715 | 0,0962 | 0,1405 | 0,2142 | 0,3548 | 0,5710 |
| 2              | 1,41          |                             | 0,0721 | 0,0973 | 0,1427 | 0,2188 | 0,3609 | 0,5777 |
| 4              | 2,00          |                             | 0,0729 | 0,0982 | 0,1450 | 0,2243 | 0,3690 | 0,5867 |
| 8              | 2,83          |                             | 0,0734 | 0,0992 | 0,1471 | 0,2308 | 0,3798 | 0,5990 |
| 15             | 3,87          |                             | 0,0741 | 0,1000 | 0,1491 | 0,2370 | 0,3910 | 0,6130 |
| 30             | 5,48          |                             | 0,0750 | 0,1012 | 0,1514 | 0,2440 | 0,4053 | 0,6308 |
| 60             | 7,75          |                             | 0,0759 | 0,1028 | 0,1542 | 0,2511 | 0,4210 | 0,6500 |
| 1440           | 37,95         |                             | 0,0790 | 0,1120 | 0,1713 | 0,2938 | 0,4920 | 0,7267 |
| 2880           | 53,67         |                             | 0,0819 | 0,1182 | 0,1768 | 0,3091 | 0,5168 | 0,7470 |
| 4320           | 65,73         | 0,0464                      | 0,0847 | 0,1208 | 0,1830 | 0,3158 | 0,5302 | 0,7640 |
| UNLOADING      |               | 0,0000                      | 0,6764 | 0,6864 | 0,7073 | 0,7270 | 0,7469 | 0,7640 |

Tabel 25 Kadar air uji konsolidasi kondisi siklus – 72 jam

|                             |          |
|-----------------------------|----------|
| kadar air awal              | 158,53%  |
| setelah dipadatkan + siklus | 171,43 % |
| setelah dikonsolidasi       | 107,89 % |

Tabel 26 Analisa Regangan

| HEIGHT         |                      | kalibrasi alat $10^{-3}$ mm |        |        |        |        |        |        |
|----------------|----------------------|-----------------------------|--------|--------|--------|--------|--------|--------|
| LOADING (Kg)   |                      | 0,333                       | 1      | 2      | 4      | 8      | 16     | 32     |
| PRESSURE (kPa) |                      | 1                           | 3      | 6      | 13     | 25     | 50     | 101    |
| time           | $\sqrt{\text{time}}$ | penurunan (cm)              |        |        |        |        |        |        |
| 0              | 0,00                 | 0,0318                      | 0,0464 | 0,0670 | 0,1118 | 0,2250 | 0,3552 | 0,5377 |
| 0,1            | 0,32                 |                             | 0,0523 | 0,0762 | 0,1262 | 0,2480 | 0,3626 | 0,5542 |
| 0,25           | 0,50                 |                             | 0,0534 | 0,0778 | 0,1308 | 0,2504 | 0,3654 | 0,5688 |
| 0,5            | 0,71                 |                             | 0,0548 | 0,0792 | 0,1322 | 0,2535 | 0,3682 | 0,5712 |
| 1              | 1,00                 |                             | 0,0558 | 0,0808 | 0,1344 | 0,2555 | 0,3695 | 0,5764 |
| 2              | 1,41                 |                             | 0,0562 | 0,0822 | 0,1372 | 0,2586 | 0,3722 | 0,5796 |
| 4              | 2,00                 |                             | 0,0568 | 0,0840 | 0,1404 | 0,2628 | 0,3773 | 0,5850 |
| 8              | 2,83                 |                             | 0,0573 | 0,0853 | 0,1439 | 0,2672 | 0,3842 | 0,5895 |
| 15             | 3,87                 |                             | 0,0580 | 0,0868 | 0,1462 | 0,2718 | 0,3923 | 0,5938 |
| 30             | 5,48                 |                             | 0,0589 | 0,0882 | 0,1499 | 0,2783 | 0,4165 | 0,6120 |
| 60             | 7,75                 |                             | 0,0591 | 0,0901 | 0,1526 | 0,2828 | 0,4428 | 0,6379 |
| 1440           | 37,95                |                             | 0,0650 | 0,1024 | 0,1942 | 0,3352 | 0,4987 | 0,7244 |
| 2880           | 53,67                |                             | 0,0659 | 0,1078 | 0,2120 | 0,3493 | 0,5254 | 0,7322 |
| 4320           | 65,73                | 0,0464                      | 0,0670 | 0,1118 | 0,2250 | 0,3552 | 0,5377 | 0,7389 |
| UNLOADING      |                      | 0,0000                      | 0,6892 | 0,6943 | 0,7080 | 0,7130 | 0,7282 | 0,7389 |

### Pengolahan Data Konsolidasi

#### Dimensi Ring :

|  |   |                      |
|--|---|----------------------|
| Diameter                                 | = | 6,335 cm             |
| Luasan, A                                | = | 31,532 $\text{cm}^2$ |
| Tinggi Ring, Ht                          | = | 2 cm                 |
| Tinggi Awal tanah , Hi                   | = | 2 cm                 |
| spesific gravity of soil, Gs             | = | 1,459                |
| berat ring + tanah                       | = | 129,3 gram           |
| berat ring                               | = | 60,39 gram           |
| berat tanah basah, Wt                    | = | 68,91 gram           |
| computed dry weight of soil, W's         | = | 25,39                |
| berat tanah kering oven, <sup>a</sup> Ws | = | 26,37 gram           |

#### Computed Ht. of soilids<sup>b</sup>

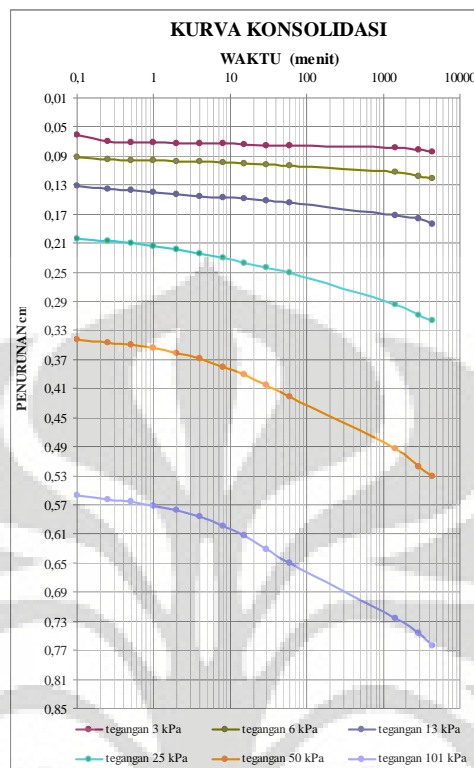
$$\begin{aligned} \text{Ho} = \text{W's} / \text{Gs} * \text{A} &= 0,552 \\ \text{initial Ht. of voids} \\ \text{Hv} = \text{Hi} - \text{Ho} &= 1,448 \end{aligned}$$

#### Initial degree of saturation

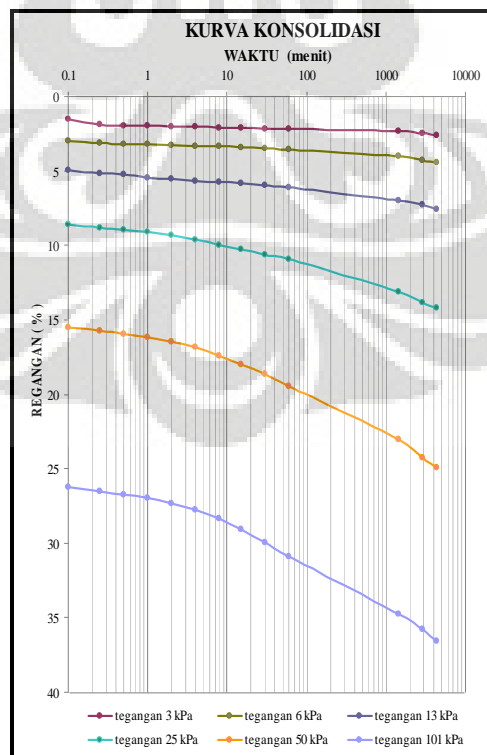
$$\text{Si} = (\text{Wt} - \text{Ws}) / (\text{Hi} - \text{Ho}) * \text{A} = 0,932$$

$$\text{Initial void ratio } e_o = \text{Hv} / \text{Ho} = 2,625$$

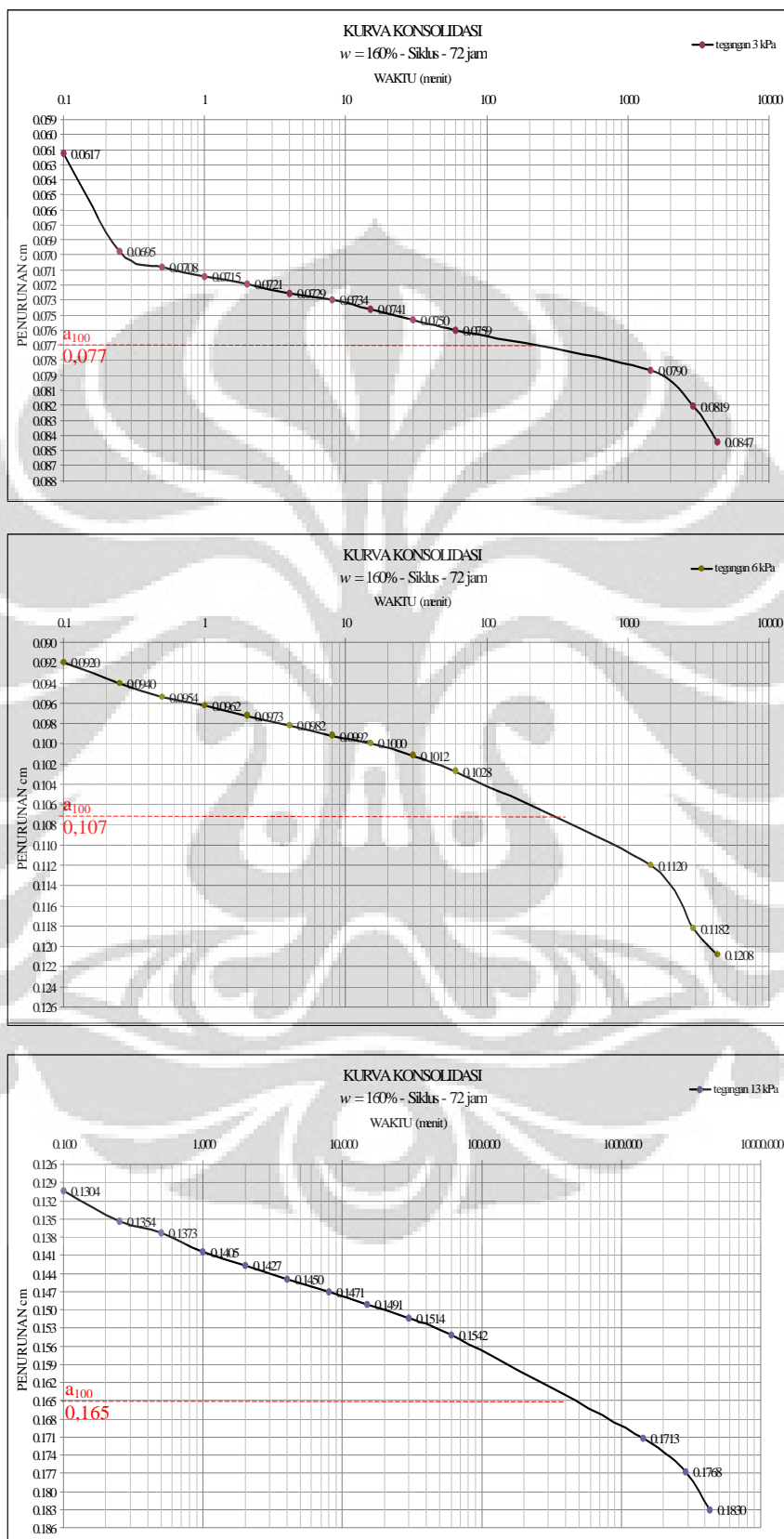
Gambar 19 kurva konsolidasi (penurunan Vs waktu)  
kadar Air 160% Pada Kondisi Siklus – 72 jam



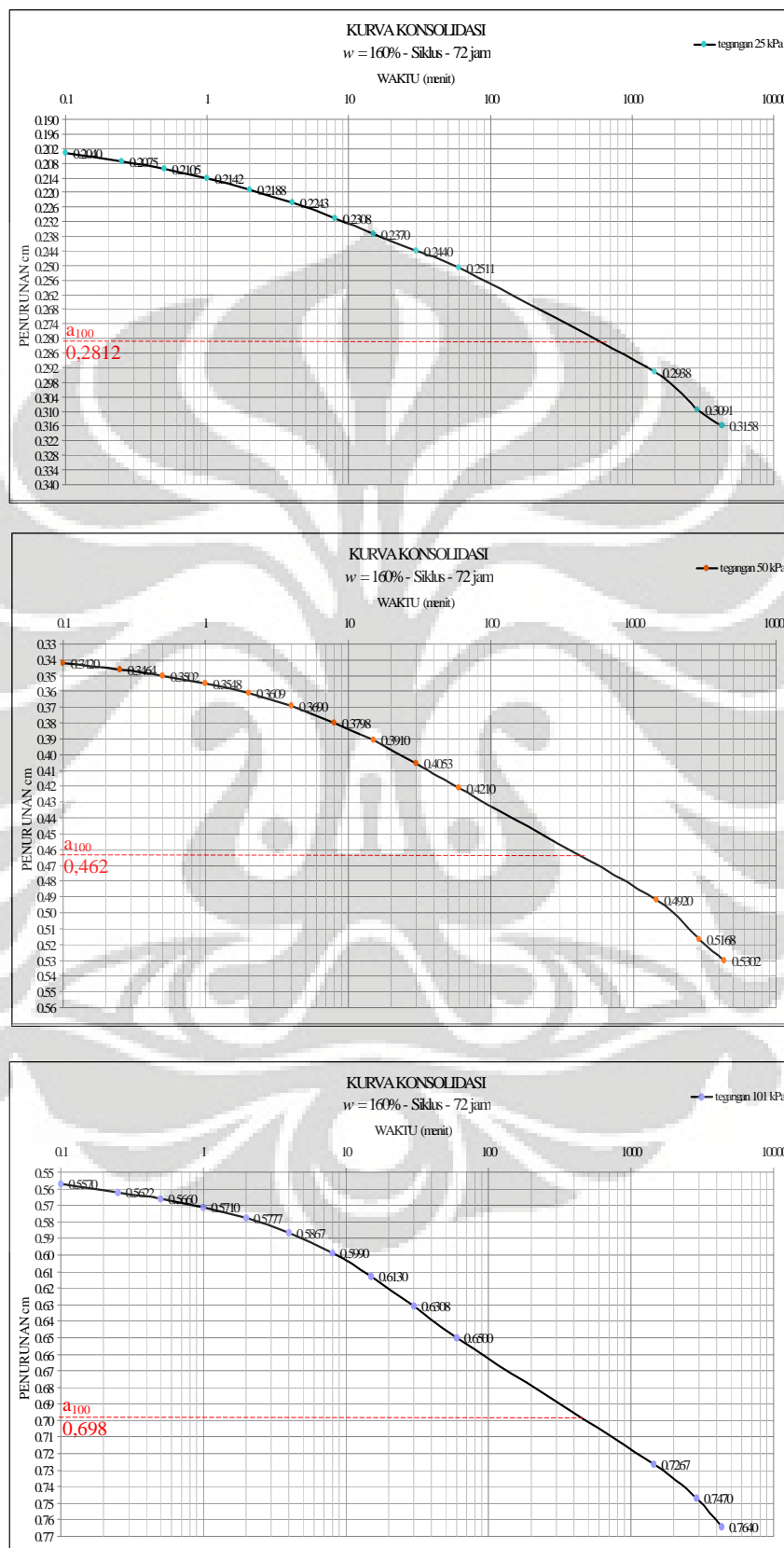
Gambar 20 kurva konsolidasi (regangan Vs waktu)  
kadar Air 160% Pada Kondisi Siklus – 72 jam



**Kurva Konsolidasi kadar Air 160% Pada Kondisi Siklus – 72 jam**  
**Menentukan  $a_{100}$  Tiap Pembebanan**



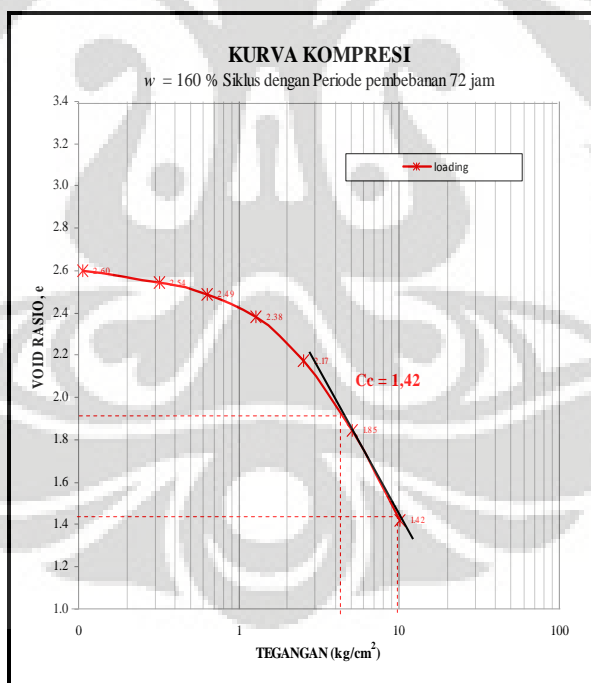
**Kurva Konsolidasi kadar Air 160% Pada Kondisi Siklus – 72 jam**  
**Menentukan  $a_{100}$  Tiap Pembebanan**



Tabel 27 Analisa angka pori pada akhir konsolidasi primer

| load (kPa) | def. dial reading at end of primer consolidation, cm | change sample ht., H,cm | change in void ratio, $e = H / H_0$ | inst void ratio e |
|------------|--|-------------------------|-------------------------------------|-------------------|
| 0          | 0,0318   | 0,000                   | 0,0000                              | 2,6249            |
| 1          | 0,0464   | 0,015                   | 0,0265                              | 2,5984            |
| 3          | 0,0770   | 0,031                   | 0,0555                              | 2,5430            |
| 6          | 0,1070   | 0,030                   | 0,0544                              | 2,4886            |
| 13         | 0,1650   | 0,058                   | 0,1051                              | 2,3835            |
| 25         | 0,2812   | 0,116                   | 0,2106                              | 2,1729            |
| 51         | 0,4620   | 0,181                   | 0,3277                              | 1,8452            |
| 101        | 0,6980   | 0,236                   | 0,4277                              | 1,4174            |

Gambar 21 Kurva kompresi kadar air pemandatan 160 % kondisi siklus – 72 jam setelah dipadatkan





**LAMPIRAN 3**  
**HASIL UJI KOMPRESI TANAH GAMPUT  $W = 180\%$**

---

### 3.1 Hasil Uji Kompresi Tanah Gambut Kadar Air 180 % Pada Kondisi Tanpa Siklus Periode Waktu Pembebaan 24 jam

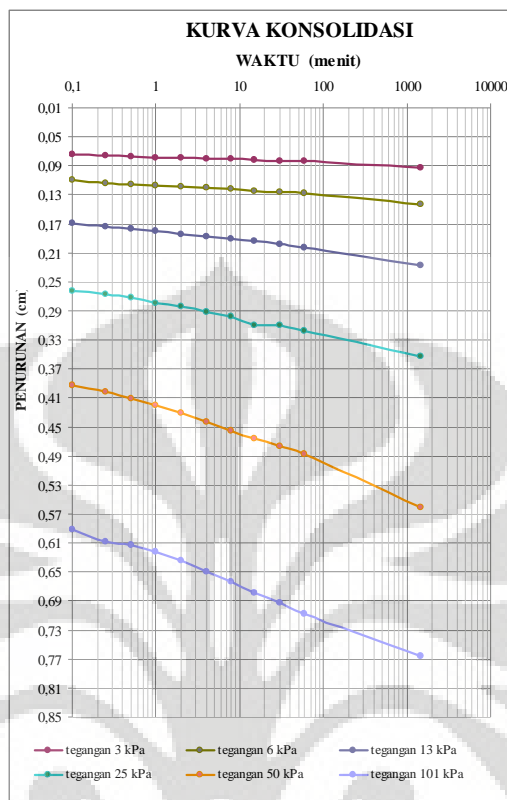
Tabel 28 Pembacaan Penurunan Uji Konsolidasi

| HEIGHT         |               | kalibrasi alat $10^{-3}$ mm |        |        |        |        |        |        |
|----------------|---------------|-----------------------------|--------|--------|--------|--------|--------|--------|
| LOADING (Kg)   |               | 0,333                       | 1      | 2      | 4      | 8      | 16     | 32     |
| PRESSURE (kPa) |               | 1                           | 3      | 6      | 13     | 26     | 51     | 103    |
| time           | $\sqrt{time}$ | penurunan (cm)              |        |        |        |        |        |        |
| 0              | 0,00          | 0,0626                      | 0,0710 | 0,0930 | 0,1427 | 0,2280 | 0,3532 | 0,5609 |
| 0,1            | 0,32          |                             | 0,0750 | 0,1100 | 0,1690 | 0,2620 | 0,3920 | 0,5909 |
| 0,25           | 0,50          |                             | 0,0765 | 0,1134 | 0,1740 | 0,2670 | 0,4020 | 0,6090 |
| 0,5            | 0,71          |                             | 0,0774 | 0,1155 | 0,1772 | 0,2720 | 0,4102 | 0,6132 |
| 1              | 1,00          |                             | 0,0782 | 0,1170 | 0,1804 | 0,2786 | 0,4204 | 0,6225 |
| 2              | 1,41          |                             | 0,0791 | 0,1186 | 0,1839 | 0,2835 | 0,4312 | 0,6348 |
| 4              | 2,00          |                             | 0,0800 | 0,1201 | 0,1870 | 0,2908 | 0,4430 | 0,6488 |
| 8              | 2,83          |                             | 0,0809 | 0,1219 | 0,1909 | 0,2970 | 0,4550 | 0,6640 |
| 15             | 3,87          |                             | 0,0818 | 0,1240 | 0,1940 | 0,3092 | 0,4657 | 0,6780 |
| 30             | 5,48          |                             | 0,0830 | 0,1258 | 0,1980 | 0,3100 | 0,4770 | 0,6929 |
| 60             | 7,75          |                             | 0,0841 | 0,1280 | 0,2028 | 0,3170 | 0,4880 | 0,7072 |
| 1440           | 37,95         | 0,0710                      | 0,0930 | 0,1427 | 0,2280 | 0,3532 | 0,5609 | 0,7662 |
| UNLOADING      |               | 0                           | 0,6814 | 0,6910 | 0,7140 | 0,7300 | 0,7479 | 0,7662 |

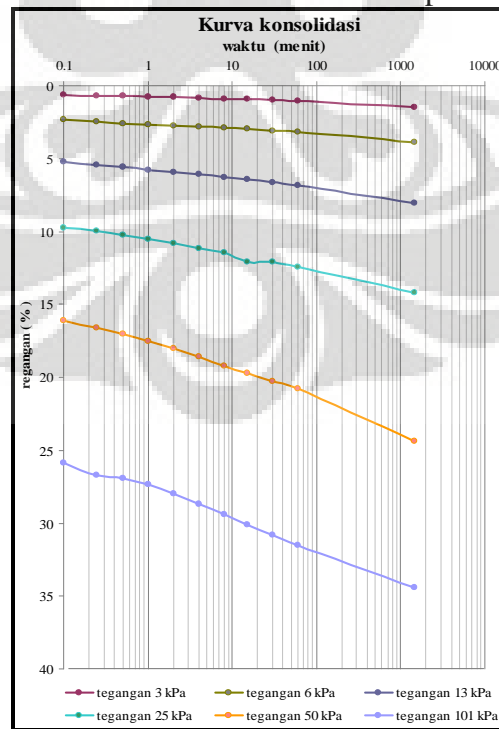
Tabel 29 Analisa Regangan

| LOADING (Kg)   |               | 0,333          | 1       | 2       | 4       | 8       | 16      | 32      |
|----------------|---------------|----------------|---------|---------|---------|---------|---------|---------|
| PRESSURE (kPa) |               | 1              | 3       | 6       | 13      | 26      | 51      | 103     |
| time           | $\sqrt{time}$ | regangan ( % ) |         |         |         |         |         |         |
| 0              | 0,00          | 0,0000         | 0,4108  | 1,4866  | 3,9169  | 8,0880  | 14,2103 | 24,3667 |
| 0,1            | 0,32          |                | 0,6064  | 2,3178  | 5,2029  | 9,7506  | 16,1076 | 25,8337 |
| 0,25           | 0,50          |                | 0,6797  | 2,4841  | 5,4474  | 9,9951  | 16,5966 | 26,7188 |
| 0,5            | 0,71          |                | 0,7237  | 2,5868  | 5,6039  | 10,2396 | 16,9976 | 26,9242 |
| 1              | 1,00          |                | 0,7628  | 2,6601  | 5,7604  | 10,5623 | 17,4963 | 27,3790 |
| 2              | 1,41          |                | 0,8068  | 2,7384  | 5,9315  | 10,8020 | 18,0244 | 27,9804 |
| 4              | 2,00          |                | 0,8509  | 2,8117  | 6,0831  | 11,1589 | 18,6015 | 28,6650 |
| 8              | 2,83          |                | 0,8949  | 2,8998  | 6,2714  | 11,4621 | 19,1883 | 29,4083 |
| 15             | 3,87          |                | 0,9389  | 3,0024  | 6,4254  | 12,0562 | 19,7115 | 30,0929 |
| 30             | 5,48          |                | 0,9976  | 3,0905  | 6,6210  | 12,0978 | 20,2641 | 30,8215 |
| 60             | 7,75          |                | 1,0513  | 3,1980  | 6,8557  | 12,4401 | 20,8020 | 31,5208 |
| 1440           | 37,95         | 0,4108         | 1,4866  | 3,9169  | 8,0880  | 14,2103 | 24,3667 | 34,4059 |
| UNLOADING      |               |                | 30,2592 | 30,7286 | 31,8533 | 32,6357 | 33,5110 | 34,4059 |

Gambar 22 kurva konsolidasi (penurunan Vs waktu)  
Kadar Air 180% Pada Kondisi Tanpa Siklus



Gambar 23 kurva konsolidasi (regangan Vs waktu)  
Kadar Air 180% Pada Kondisi Tanpa Siklus



## Pengolahan data konsolidasi

Tabel 30 Kadar air uji konsolidasi kondisi tanpa siklus – 24 jam

|                       |         |
|-----------------------|---------|
| kadar air awal        | 178,89% |
| setelah dipadatkan    | 177,43% |
| setelah dikonsolidasi | 108,4%  |

### Dimensi Ring :

|  |   |                        |
|--|---|------------------------|
| Diameter                                 | = | 6,3 cm                 |
| Luasan, A                                | = | 31,185 cm <sup>2</sup> |
| Tinggi Ring, Ht                          | = | 2,045 cm               |
|  |   |                        |
| Tinggi Awal tanah , Hi                   | = | 2,045 cm               |
| spesific gravity of soil, Gs             | = | 1,459                  |
| berat ring + tanah                       | = | 122,6 gram             |
| berat ring                               | = | 60,22 gram             |
| berat tanah basah, Wt                    | = | 62,39 gram             |
| computed dry weight of soil,<br>W's      | = | 22,48                  |
| berat tanah kering oven, <sup>a</sup> Ws | = | 29,47 gram             |

### Computed Ht. of soilids<sup>b</sup>

|                      |   |       |
|----------------------|---|-------|
| Ho = W's / Gs * A    | = | 0,494 |
| initial Ht. of voids | = |       |
| Hv = Hi - Ho         | = | 1,551 |

### Initial degree of saturation

|   |   |       |
|---|---|-------|
| Si = (Wt - Ws)/(Hi - Ho) * A                | = | 0,681 |
| Initial void ratio e <sub>o</sub> = Hv / Ho | = | 3,139 |

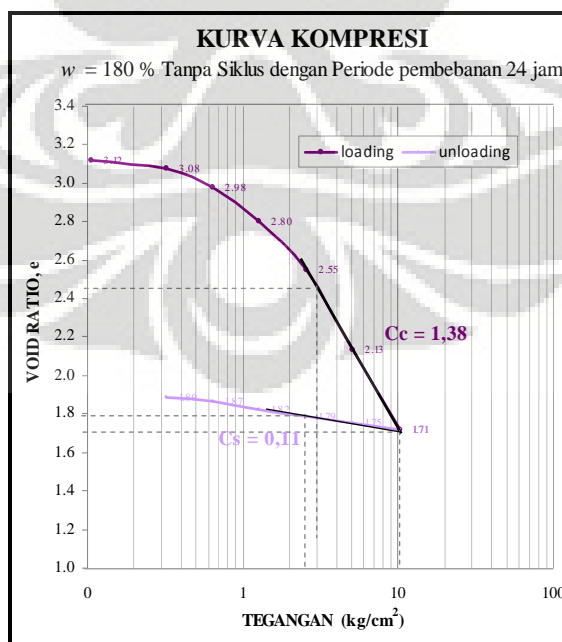
### final test data (obtained at and of load testing )

|   |   |        |
|---|---|--------|
| initial dial reading                                    | = | 0,071  |
| final dial reading                                      | = | 0,6814 |
| change in sample, ht                                    | = | 0,6104 |
| final ht. of void, H <sub>vf</sub>                      | = | 0,940  |
| final void ratio, ef = H <sub>vf</sub> / H <sub>o</sub> | = | 1,903  |

Tabel 31 Analisa Angka Pori Pada Akhir Pembebanan

| load (kPa) | def. dial reading at end of load, cm | change sample ht., H,cm | change in void ratio, $e = H / H_0$ | inst void ratio e |
|------------|--------------------------------------|-------------------------|-------------------------------------|-------------------|
| 0          | 0,0626                               | 0,0000                  | 0,0000                              | 3,1388            |
| 1          | 0,0710                               | 0,0084                  | 0,0170                              | 3,1218            |
| 3          | 0,0930                               | 0,0220                  | 0,0445                              | 3,0773            |
| 6          | 0,1427                               | 0,0497                  | 0,1006                              | 2,9767            |
| 13         | 0,2280                               | 0,0853                  | 0,1726                              | 2,8041            |
| 25         | 0,3532                               | 0,1252                  | 0,2534                              | 2,5507            |
| 51         | 0,5609                               | 0,2077                  | 0,4204                              | 2,1303            |
| 101        | 0,7662                               | 0,2053                  | 0,4155                              | 1,7148            |
|            |                                      |                         |                                     |                   |
| 51         | 0,7479                               | 0,0183                  | 0,0370                              | 1,7519            |
| 25         | 0,7300                               | 0,0179                  | 0,0362                              | 1,7881            |
| 13         | 0,7140                               | 0,0160                  | 0,0324                              | 1,8205            |
| 6          | 0,6910                               | 0,0230                  | 0,0465                              | 1,8670            |
| 3          | 0,6814                               | 0,0096                  | 0,0194                              | 1,8865            |

Gambar 24 Kurva kompresi kadar air pemandatan 180 % kondisi tanpa siklus setelah dipadatkan



### 3.2 Hasil Uji Kompresi Tanah Gambut Kadar Air 180 % Pada Kondisi Siklus Pembasahan Dan Pengeringan Dengan Periode Waktu Pembebaan 24 Jam

Ket: Siklus perendaman 5 hari, Siklus pengeringan 4 hari

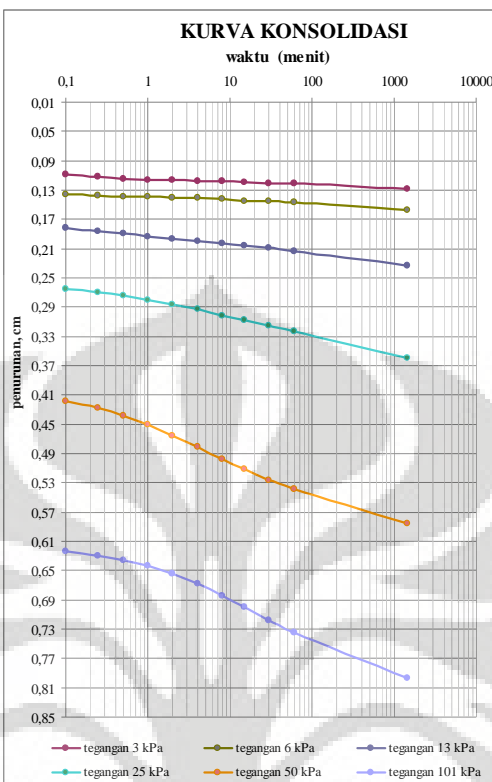
Tabel 32 Pembacaan Penurunan Uji Konsolidasi

| HEIGHT         |                      | kalibrasi alat $10^{-3}$ mm |        |        |        |        |        |        |
|----------------|----------------------|-----------------------------|--------|--------|--------|--------|--------|--------|
| LOADING (Kg)   |                      | 0,333                       | 1      | 2      | 4      | 8      | 16     | 32     |
| PRESSURE (kPa) |                      | 1                           | 3      | 6      | 13     | 25     | 50     | 101    |
| time           | $\sqrt{\text{time}}$ | penurunan (cm)              |        |        |        |        |        |        |
| 0              | 0,00                 | 0,0620                      | 0,0834 | 0,1290 | 0,1571 | 0,2336 | 0,3600 | 0,5859 |
| 0,1            | 0,32                 |                             | 0,1080 | 0,1360 | 0,1820 | 0,265  | 0,4180 | 0,6232 |
| 0,25           | 0,50                 |                             | 0,1120 | 0,1375 | 0,1867 | 0,2695 | 0,4280 | 0,6298 |
| 0,5            | 0,71                 |                             | 0,1150 | 0,1386 | 0,1900 | 0,274  | 0,4388 | 0,6354 |
| 1              | 1,00                 |                             | 0,1160 | 0,1392 | 0,1935 | 0,2798 | 0,4504 | 0,6432 |
| 2              | 1,41                 |                             | 0,1169 | 0,1400 | 0,1969 | 0,2861 | 0,4652 | 0,6540 |
| 4              | 2,00                 |                             | 0,1178 | 0,1409 | 0,2000 | 0,2932 | 0,4812 | 0,6680 |
| 8              | 2,83                 |                             | 0,1185 | 0,1418 | 0,2030 | 0,3009 | 0,4978 | 0,6848 |
| 15             | 3,87                 |                             | 0,1192 | 0,1453 | 0,2060 | 0,3078 | 0,5117 | 0,7002 |
| 30             | 5,48                 |                             | 0,1203 | 0,1458 | 0,2091 | 0,3152 | 0,5259 | 0,7172 |
| 60             | 7,75                 |                             | 0,1211 | 0,1470 | 0,2129 | 0,3223 | 0,5390 | 0,7338 |
| 1440           | 37,95                | 0,0834                      | 0,1290 | 0,1571 | 0,2336 | 0,36   | 0,5859 | 0,7962 |
| UNLOADING      |                      | 0                           | 0,7061 | 0,7263 | 0,7412 | 0,7538 | 0,7705 | 0,7962 |

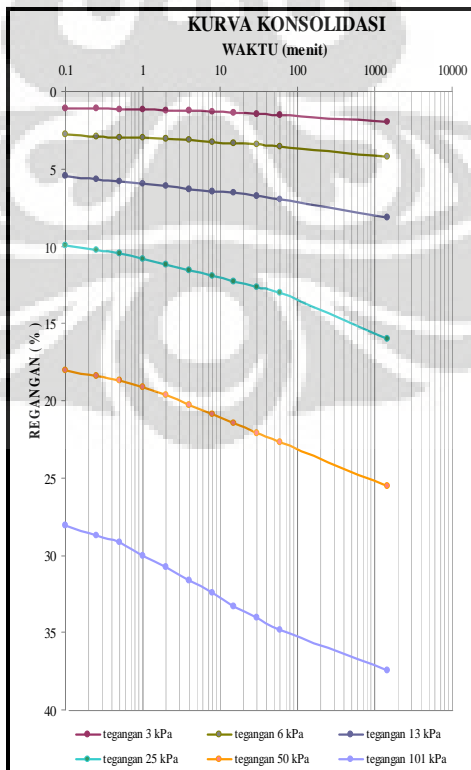
Tabel 33 Analisa Regangan

| LOADING (Kg)   |                      | 0,333          | 1       | 2       | 4       | 8       | 16      | 32      |
|----------------|----------------------|----------------|---------|---------|---------|---------|---------|---------|
| PRESSURE (kPa) |                      | 1              | 3       | 6       | 13      | 25      | 50      | 101     |
| time           | $\sqrt{\text{time}}$ | regangan ( % ) |         |         |         |         |         |         |
| 0              | 0,00                 | 0,0000         | 1,0946  | 3,4271  | 4,8645  | 8,7775  | 15,2430 | 26,7980 |
| 0,1            | 0,32                 |                | 2,3529  | 3,7852  | 6,1381  | 10,3836 | 18,2097 | 28,7059 |
| 0,25           | 0,50                 |                | 2,5575  | 3,8619  | 6,3785  | 10,6138 | 18,7212 | 29,0435 |
| 0,5            | 0,71                 |                | 2,7110  | 3,9182  | 6,5473  | 10,8440 | 19,2737 | 29,3299 |
| 1              | 1,00                 |                | 2,7621  | 3,9488  | 6,7263  | 11,1407 | 19,8670 | 29,7289 |
| 2              | 1,41                 |                | 2,8082  | 3,9898  | 6,9003  | 11,4629 | 20,6240 | 30,2813 |
| 4              | 2,00                 |                | 2,8542  | 4,0358  | 7,0588  | 11,8261 | 21,4425 | 30,9974 |
| 8              | 2,83                 |                | 2,8900  | 4,0818  | 7,2123  | 12,2199 | 22,2916 | 31,8568 |
| 15             | 3,87                 |                | 2,9258  | 4,2609  | 7,3657  | 12,5729 | 23,0026 | 32,6445 |
| 30             | 5,48                 |                | 2,9821  | 4,2864  | 7,5243  | 12,9514 | 23,7289 | 33,5115 |
| 60             | 7,75                 |                | 3,0230  | 4,3478  | 7,7187  | 13,3146 | 24,3964 | 34,3632 |
| 1440           | 37,95                | 1,0946         | 3,4271  | 4,8645  | 8,7775  | 15,2430 | 26,7980 | 37,5550 |
| UNLOADING      |                      |                | 32,9463 | 33,9795 | 34,7417 | 35,3862 | 36,2404 | 37,5550 |

Gambar 25 kurva konsolidasi (penurunan Vs waktu)  
Kadar Air 180% Pada Kondisi Siklus – 24 jam



Gambar 26 kurva konsolidasi (regangan Vs waktu)  
Kadar Air 180% Pada Kondisi Siklus – 24 jam



## Pengolahan data konsolidasi

Tabel 34 Kadar air uji konsolidasi kondisi siklus – 24 jam

|                             |         |
|-----------------------------|---------|
| kadar air awal              | 178,89% |
| setelah dipadatkan + siklus | 182,62% |
| setelah dikonsolidasi       | 124,28% |

Dimensi Ring :

|                                  |   |                        |
|----------------------------------|---|------------------------|
| Diameter                         | = | 6,356 cm               |
| Luasan, A                        | = | 31,742 cm <sup>2</sup> |
| Tinggi Ring, Ht                  | = | 1,955 cm               |
| Tinggi Awal tanah , Hi           | = | 1,955 cm               |
| spesific gravity of soil, Gs     | = | 1,459                  |
| berat ring + tanah               | = | 122,8 gram             |
| berat ring                       | = | 62,80 gram             |
| berat tanah basah, Wt            | = | 59,95 gram             |
| computed dry weight of soil, W's | = | 20,77                  |
| berat tanah kering oven, Ws      | = | 21,75 gram             |

Computed Ht. of solids

|                      |   |       |
|----------------------|---|-------|
| $Ho = W's / Gs * A$  | = | 0,448 |
| initial Ht. of voids | = |       |
| $Hv = Hi - Ho$       | = | 1,507 |

Initial degree of saturation

|                                    |   |       |
|------------------------------------|---|-------|
| $Si = (Wt - Ws) / (Hi - Ho) * A$   | = | 0,799 |
| Initial void ratio $e_o = Hv / Ho$ | = | 3,360 |

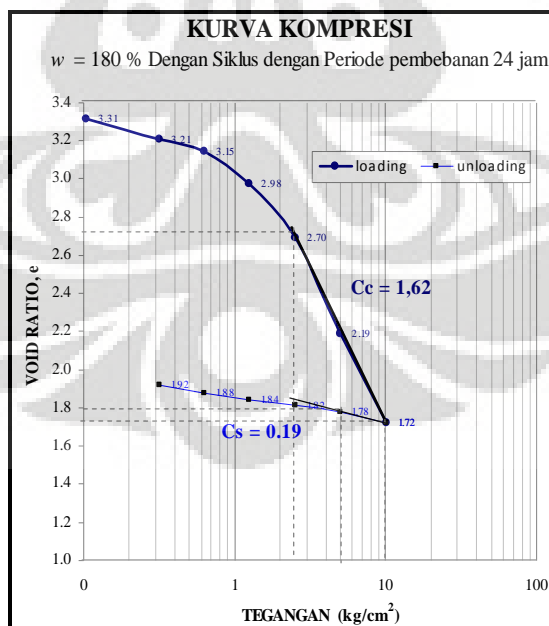
final test data (obtained at end of load testing)

|                                       |        |
|---------------------------------------|--------|
| initial dial reading                  | 0,0834 |
| final dial reading                    | 0,7061 |
| change in sample, ht                  | 0,6227 |
| final ht. of void, $H_{vf}$           | 0,884  |
| final void ratio, $ef = H_{vf} / H_o$ | 1,971  |

Tabel 35 Analisa Angka Pori Pada Akhir Pembebanan

| load<br>(kPa) | def. dial reading at<br>end of load, <sup>a</sup> cm | change sample<br>ht., H,cm | change in void<br>ratio, e = H / H <sub>0</sub> | inst void ratio<br>e |
|---------------|--|----------------------------|---|----------------------|
| 0             | 0,0620   | 0,0000                     | 0,0000  | 3,3596               |
| 1             | 0,0834   | 0,0214                     | 0,0477  | 3,3119               |
| 3             | 0,1290   | 0,0456                     | 0,1017  | 3,2102               |
| 6             | 0,1571   | 0,0281                     | 0,0627  | 3,1475               |
| 13            | 0,2336   | 0,0765                     | 0,1706  | 2,9769               |
| 25            | 0,3600   | 0,1264                     | 0,2819  | 2,6950               |
| 51            | 0,5859   | 0,2259                     | 0,5037  | 2,1913               |
| 101           | 0,7962   | 0,2103                     | 0,4690  | 1,7223               |
|               |  |                            |   |                      |
| 51            | 0,7705   | 0,0257                     | 0,0573  | 1,7796               |
| 25            | 0,7538   | 0,0167                     | 0,0372  | 1,8169               |
| 13            | 0,7412   | 0,0126                     | 0,0281  | 1,8450               |
| 6             | 0,7263   | 0,0149                     | 0,0332  | 1,8782               |
| 3             | 0,7061   | 0,0202                     | 0,0450  | 1,9233               |

Gambar 27 Kurva kompresi kadar air pemandatan 180 % kondisi siklus – 24 jam setelah dipadatkan



### 3.3 Hasil Uji Kompresi Tanah Gambut Kadar Air 180 % Pada Kondisi Siklus Pembasahan Dan Pengeringan Dengan Periode Waktu Pembebaan 72 Jam

Ket: Siklus perendaman 5 hari,

Siklus pengeringan 4 hari

Tabel 36 Pembacaan Penurunan Uji Konsolidasi

| HEIGHT         |               | kalibrasi alat $10^{-3}$ mm |       |       |       |       |       |       |
|----------------|---------------|-----------------------------|-------|-------|-------|-------|-------|-------|
| LOADING (Kg)   |               | 0,333                       | 1     | 2     | 4     | 8     | 16    | 32    |
| PRESSURE (kPa) |               | 1                           | 3     | 6     | 13    | 25    | 51    | 101   |
| time           | $\sqrt{time}$ | penurunan (cm)              |       |       |       |       |       |       |
| 0              | 0,00          | 0,037                       | 0,059 | 0,098 | 0,148 | 0,270 | 0,398 | 0,644 |
| 0,1            | 0,32          |                             | 0,061 | 0,099 | 0,166 | 0,272 | 0,458 | 0,662 |
| 0,25           | 0,50          |                             | 0,066 | 0,100 | 0,169 | 0,276 | 0,461 | 0,672 |
| 0,5            | 0,71          |                             | 0,067 | 0,102 | 0,171 | 0,278 | 0,464 | 0,687 |
| 1              | 1,00          |                             | 0,068 | 0,104 | 0,174 | 0,282 | 0,467 | 0,697 |
| 2              | 1,41          |                             | 0,069 | 0,106 | 0,177 | 0,286 | 0,472 | 0,716 |
| 4              | 2,00          |                             | 0,071 | 0,106 | 0,182 | 0,291 | 0,484 | 0,734 |
| 8              | 2,83          |                             | 0,073 | 0,108 | 0,186 | 0,297 | 0,497 | 0,746 |
| 15             | 3,87          |                             | 0,074 | 0,110 | 0,190 | 0,303 | 0,504 | 0,756 |
| 30             | 5,48          |                             | 0,074 | 0,113 | 0,195 | 0,315 | 0,518 | 0,768 |
| 60             | 7,75          |                             | 0,075 | 0,114 | 0,200 | 0,330 | 0,528 | 0,779 |
| 1440           | 37,95         |                             | 0,089 | 0,131 | 0,239 | 0,376 | 0,626 | 0,808 |
| 2880           | 53,67         |                             | 0,092 | 0,136 | 0,256 | 0,389 | 0,634 | 0,822 |
| 4320           | 65,73         | 0,059                       | 0,098 | 0,148 | 0,270 | 0,398 | 0,644 | 0,840 |
| UNLOADING      |               | 0,000                       | 0,776 | 0,786 | 0,796 | 0,815 | 0,827 | 0,840 |

Tabel 37 Kadar air uji konsolidasi kondisi siklus – 72 jam

|                             |          |
|-----------------------------|----------|
| kadar air awal              | 180,208% |
| setelah dipadatkan + siklus | 185,62 % |
| setelah dikonsolidasi       | 79,535 % |

Tabel 38 Analisa Regangan

| LOADING (Kg)   |                      | 0,333          | 1      | 2      | 4      | 8      | 16     | 32     |
|----------------|----------------------|----------------|--------|--------|--------|--------|--------|--------|
| PRESSURE (kPa) |                      | 1              | 3      | 6      | 13     | 25     | 51     | 101    |
| time           | $\sqrt{\text{time}}$ | regangan ( % ) |        |        |        |        |        |        |
| 0              | 0,00                 | 0,000          | 1,041  | 2,946  | 5,340  | 11,212 | 17,388 | 29,234 |
| 0,1            | 0,32                 |                | 1,152  | 2,983  | 6,217  | 11,325 | 20,299 | 30,130 |
| 0,25           | 0,50                 |                | 1,395  | 3,055  | 6,371  | 11,508 | 20,448 | 30,578 |
| 0,5            | 0,71                 |                | 1,451  | 3,142  | 6,458  | 11,624 | 20,586 | 31,332 |
| 1              | 1,00                 |                | 1,504  | 3,244  | 6,588  | 11,800 | 20,716 | 31,821 |
| 2              | 1,41                 |                | 1,561  | 3,322  | 6,757  | 11,981 | 20,983 | 32,706 |
| 4              | 2,00                 |                | 1,660  | 3,335  | 6,976  | 12,227 | 21,533 | 33,609 |
| 8              | 2,83                 |                | 1,712  | 3,409  | 7,181  | 12,525 | 22,161 | 34,166 |
| 15             | 3,87                 |                | 1,773  | 3,511  | 7,383  | 12,812 | 22,485 | 34,673 |
| 30             | 5,48                 |                | 1,802  | 3,648  | 7,611  | 13,394 | 23,203 | 35,231 |
| 60             | 7,75                 |                | 1,836  | 3,725  | 7,846  | 14,115 | 23,653 | 35,782 |
| 1440           | 37,95                |                | 2,492  | 4,540  | 9,745  | 16,318 | 28,405 | 37,163 |
| 2880           | 53,67                |                | 2,647  | 4,752  | 10,543 | 16,973 | 28,761 | 37,851 |
| 4320           | 65,73                | 1,041          | 2,946  | 5,340  | 11,212 | 17,388 | 29,234 | 38,691 |
| UNLOADING      |                      |                | 35,614 | 36,105 | 36,593 | 37,472 | 38,063 | 38,691 |

### Pengolahan Data Konsolidasi

#### Dimensi Ring :

|  |   |                        |
|--|---|------------------------|
| Diameter                                 | = | 6,345 cm               |
| Luasan, A                                | = | 31,632 cm <sup>2</sup> |
| Tinggi Ring, Ht                          | = | 2,075 cm               |
| Tinggi Awal tanah , Hi                   | = | 2,075 cm               |
| spesific gravity of soil, Gs             | = | 1,459                  |
| berat ring + tanah                       | = | 117,3 gram             |
| berat ring                               | = | 53,29 gram             |
| berat tanah basah, Wt                    | = | 64,03 gram             |
| computed dry weight of soil, W's         | = | 22,42                  |
| berat tanah kering oven, <sup>a</sup> Ws | = | 27,83 gram             |

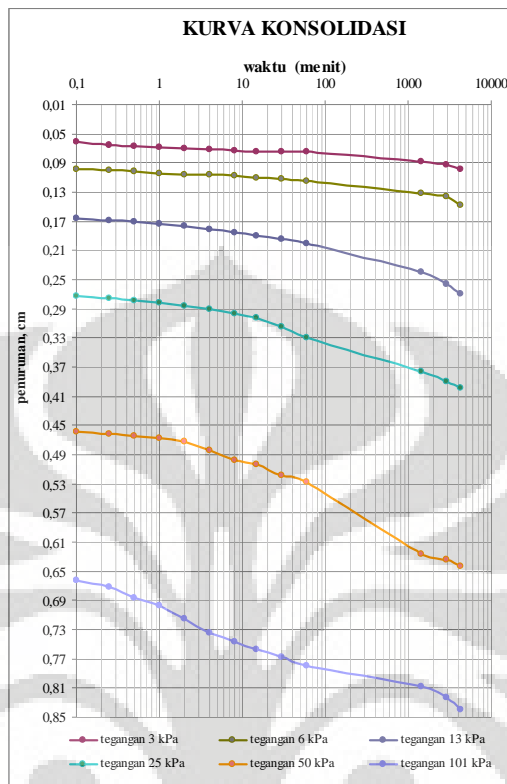
#### Computed Ht. of soilids<sup>b</sup>

|                      |   |       |
|----------------------|---|-------|
| Ho = W's / Gs * A    | = | 0,486 |
| initial Ht. of voids |   |       |
| Hv = Hi - Ho         | = | 1,589 |

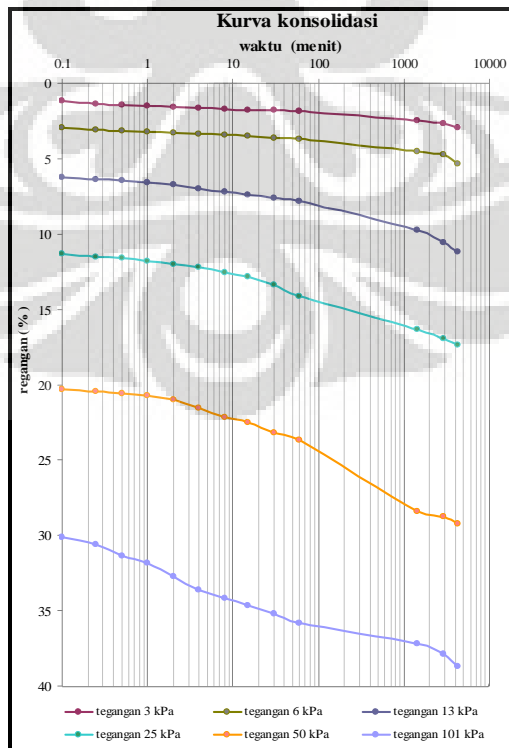
#### Initial degree of saturation

|   |   |       |
|---|---|-------|
| Si = (Wt - Ws)/(Hi - Ho) * A                | = | 0,720 |
| Initial void ratio e <sub>o</sub> = Hv / Ho | = | 3,272 |

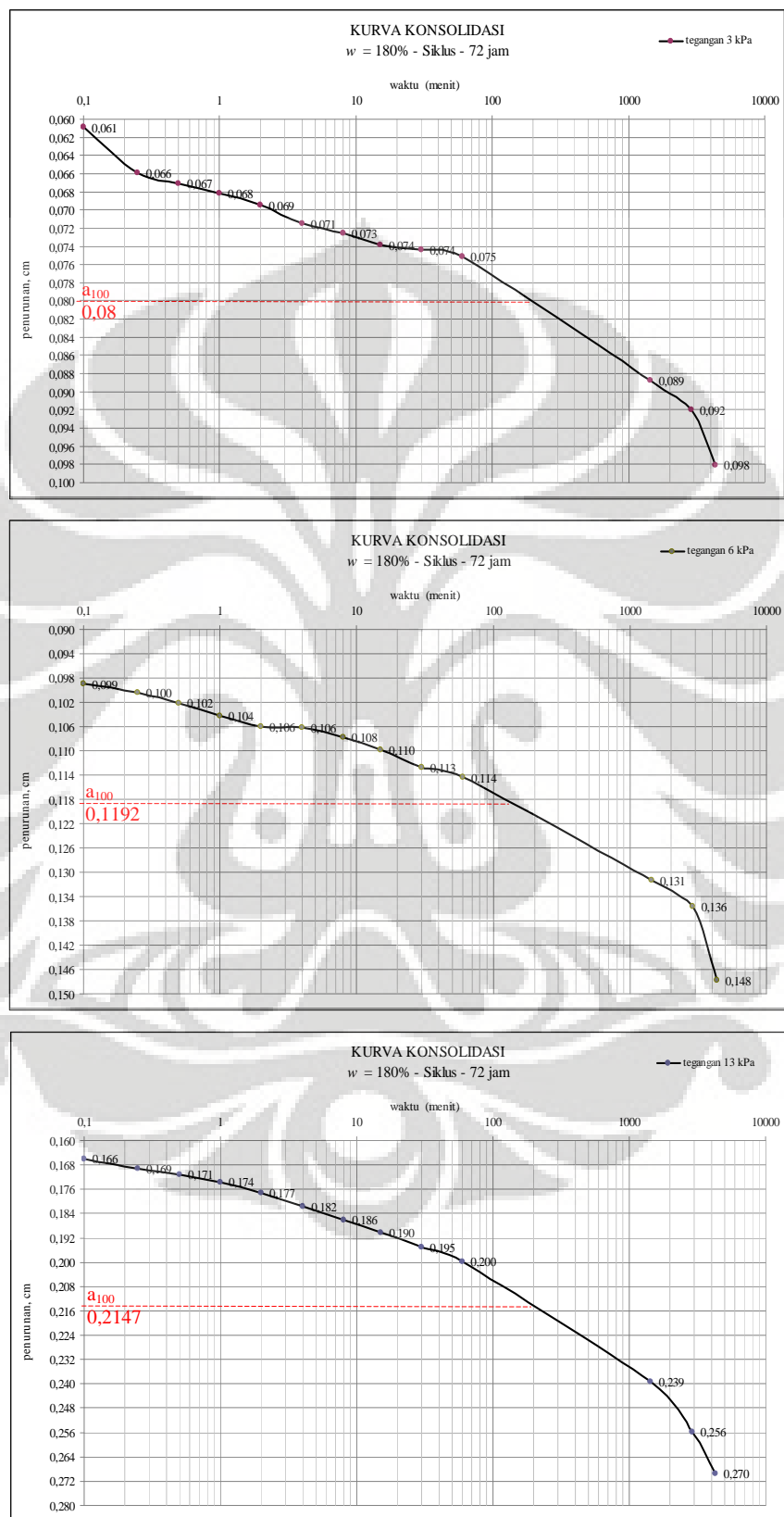
Gambar 28 kurva konsolidasi (penurunan Vs waktu)  
kadar Air 180% Pada Kondisi Siklus – 72 jam



Gambar 29 kurva konsolidasi (regangan Vs waktu)  
kadar Air 180% Pada Kondisi Siklus – 72 jam

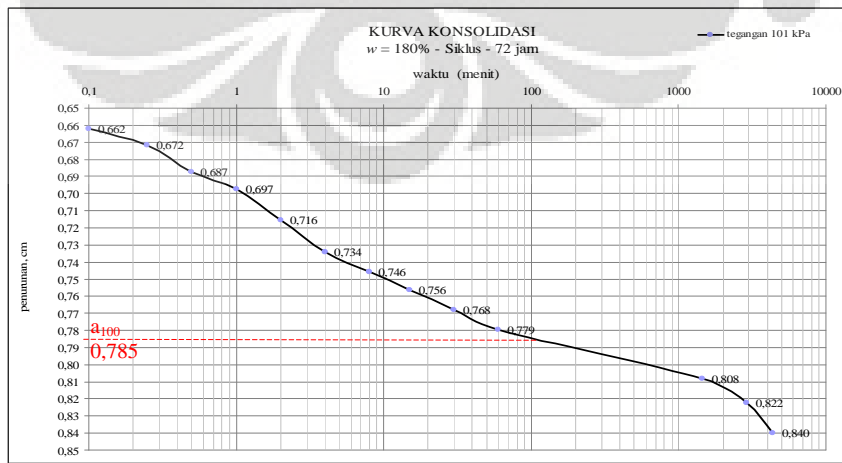
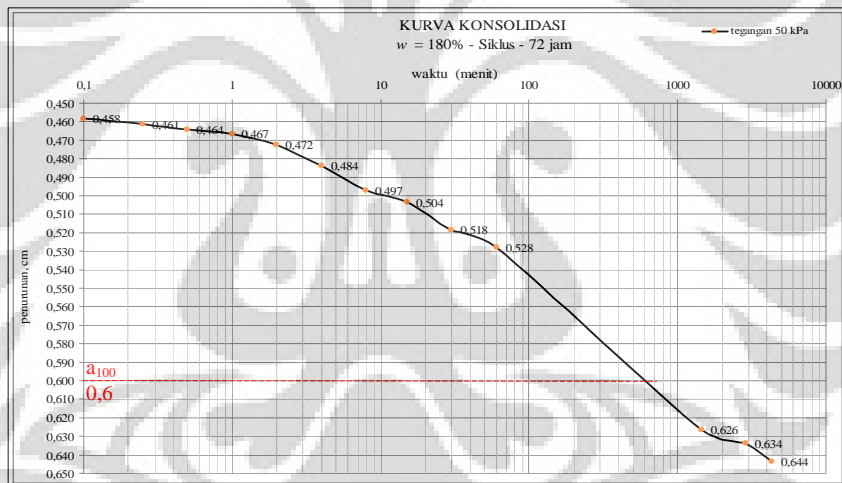
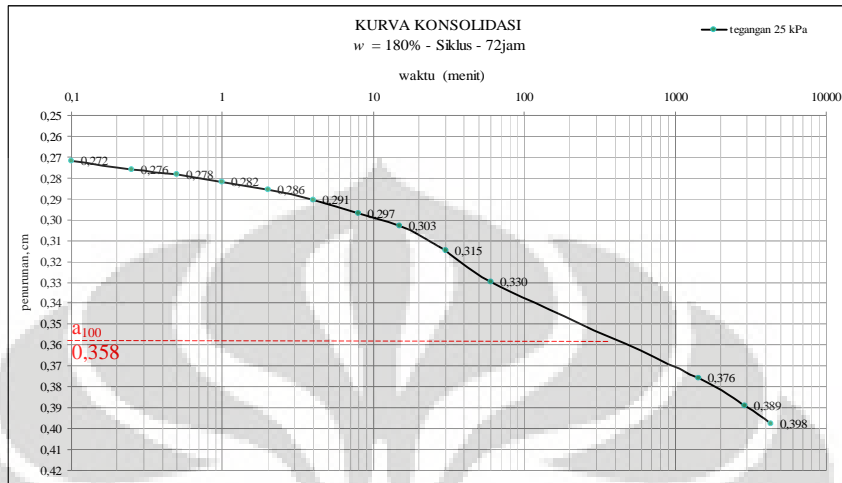


**Kurva Konsolidasi kadar Air 180% Pada Kondisi Siklus – 72 jam**  
**Menentukan  $a_{100}$  Tiap Pembebanan**



## Kurva Konsolidasi kadar Air 180% Pada Kondisi Siklus – 72 jam

Menentukan  $a_{100}$  Tiap Pembebanan



Tabel 39 Analisa angka pori pada akhir konsolidasi primer

| load (kPa) | dial reading at end of primer consolidation, <sup>a</sup> cm | change sample ht., H,cm | change in void ratio, e = H / Ho | inst void ratio e |
|------------|--|-------------------------|----------------------------------|-------------------|
| 0          | 0,0370   | 0,0000                  | 0,0000                           | 3,2725            |
| 1          | 0,0586   | 0,0216                  | 0,0445                           | 3,2280            |
| 3          | 0,0800   | 0,0214                  | 0,0441                           | 3,1839            |
| 6          | 0,1192   | 0,0392                  | 0,0807                           | 3,1032            |
| 13         | 0,2147   | 0,0955                  | 0,1966                           | 2,9066            |
| 25         | 0,3580   | 0,1433                  | 0,2951                           | 2,6115            |
| 51         | 0,6000   | 0,2420                  | 0,4983                           | 2,1132            |
| 101        | 0,7850   | 0,1850                  | 0,3809                           | 1,7323            |

Gambar 30 Kurva kompresi kadar air pemandatan 180 % kondisi siklus – 72 jam setelah dipadatkan

